



TUGAS AKHIR - RC14-1510

PERENCANAAN JARINGAN DRAINASE SUB SISTEM KALI KEPITING DAN KALI KENJERAN SURABAYA

RIDWAN SAUQI
NRP. 3111 100 104

Dosen Pembimbing
Dr. Techn. Umboro Lasminto, S.T., M.Sc.

JURUSAN TEKNIK SIPIL
Fakultas Teknik Sipil dan Perencanaan
Institut Teknologi Sepuluh Nopember
Surabaya 2016



FINAL PROJECT - RC14-1510

DRAINAGE NETWORK PLANNING OF KEPITING RIVER AND KENJERAN RIVER SUB SYSTEM SURABAYA

RIDWAN SAUQI
NRP. 3111 100 104

Supervisor
Dr. Techn. Umboro Lasminto, S.T., M.Sc.

CIVIL ENGINEERING DEPARTMENT
Faculty of Civil Engineering and Planning
Institut Teknologi Sepuluh Nopember
Surabaya 2016

**PERENCANAAN JARINGAN DRAINASE SUB
SISTEM KALI KEPITING DAN KALI KENJERAN
SURABAYA**

TUGAS AKHIR

Diajukan Untuk Memenuhi Salah Satu Syarat
Memperoleh Gelar Sarjana Teknik

pad

Bidang Studi Hidroteknik

Program Studi S-1 Jurusan Teknik Sipil
Fakultas Teknik Sipil Dan Perencanaan
Institut Teknologi Sepuluh Nopember

Oleh :

RIDWAN SAUQI

NRP. 3111100104

Disetujui oleh Dosen Pembimbing Tugas Akhir:

Dr. Techn. Umboro Lasminto, S.T., M.Sc.
NIP. 197212021998021001



**SURABAYA
JANUARI, 2016**

PERENCANAAN JARINGAN DRAINASE SUB SISTEM KALI KEPITING DAN KALI KENJERAN SURABAYA

Nama Mahasiswa

: Ridwan Sauqi

NRP

: 3111 100 104

Jurusan

: Teknik Sipil FTSP – ITS

Dosen Pembimbing

**: Dr. Techn. Umboro Lasminto, S.T.,
M.Sc.**

Abstrak

Permasalahan banjir Kota Surabaya sampai saat ini belum dapat ditangani secara menyeluruh. Terkait dengan permasalahan tersebut, Pemerintah Kota Surabaya menetapkan bahwa setiap adanya pembangunan harus diikuti dengan penyelesaian banjir di wilayah sekitarnya (PERDA Kota Surabaya Nomor 3 Tahun 2007 tentang Rencana Tata Ruang Wilayah Kota Surabaya). Berdasarkan pengamatan yang didapat pada tahun 2010, banjir yang terluas di Surabaya Timur adalah daerah Mulyorejo ± 368 Ha dengan kedalamannya 15-30 cm. Tahun 2011 sampai 2013 turun menjadi 0-15 cm. Sepanjang Jalan Raya Kenjeran dan di beberapa kawasan lainnya pada tahun 2013 genangan banjir berkisar antara 30-50 cm. Semua kawasan genangan tersebut berada pada DAS Kali Kepiting dan Kali Kenjeran. Oleh karena itu, diperlukan perencanaan sistem drainase pada sub sistem Kali Kenjeran dan Kali Kepiting. Pada Tugas Akhir ini akan dilakukan perencanaan sistem drainase Kota Surabaya khususnya pada DAS Kali Kepiting dan Kali Kenjeran. Perencanaan yang akan dilakukan antara lain perencanaan ulang saluran drainase dan sistem pembuangan pada muara Kali Kepiting dan Kali Kenjeran. Perencanaan dilakukan dengan menggunakan program bantu HEC-HMS dan HEC-RAS. HEC-HMS digunakan untuk analisa hidrologi sedangkan HEC-RAS untuk analisa hidrolika. Berdasarkan hasil analisa didapatkan dimensi saluran yang cukup variatif. Saluran tersier direncanakan dengan precast U-Ditch

dengan dimensi berkisar antara 60 x 100 cm hingga 250 x 250 cm. Saluran sekunder direncanakan hanya satu tipe dimensi yang menggunakan U-Ditch, yaitu 300 x 250 cm, sedangkan dua tipe dimensi lainnya berbentuk persegi menggunakan perkuatan sheet pile dengan dimensi 400 x 250 cm dan 500 x 250 cm. Saluran primer direncanakan berbentuk persegi dengan perkuatan sheet pile. Dimensi Saluran Kali Kepiting adalah 18 x 2,5 m dan Kali Kenjeran sebesar 12 x 2,5 m, padahal lebar eksisting untuk Kali Kepiting sebesar 16 m dan Kali Kenjeran sebesar 10 m. Hal ini menunjukkan bahwa lebar kedua saluran eksisting tidak dapat memenuhi kebutuhan debit banjir. Saat kondisi air laut pasang terjadi luapan di muara kedua saluran primer yang menyebabkan adanya backwater. Kurangnya lebar eksisting kedua saluran dan adanya backwater mengakibatkan terjadinya banjir. Oleh karena itu, direncanakan pembuatan kolam tampung / boezem dengan luas 200.000 m² sedalam 2,5 m dilengkapi dengan 4 unit pompa ($Q_{pompa} = 2,5 \text{ m}^3/\text{s}$) serta 4 buah pintu air (300 x 250 cm).

Kata kunci : Drainase, HEC-HMS, HEC-RAS, Kali Kenjeran, Kali Kepiting.

DRAINAGE NETWORK PLANNING OF KEPITING RIVER AND KENJERAN RIVER SUB SYSTEM SURABAYA

Student Name

: Ridwan Sauqi

NRP

: 3111 100 104

Department

: Teknik Sipil FTSP – ITS

Supervisor

: Dr. Techn. Umboro Lasminto, S.T., M.Sc.

Abstract

Flooding problems in Surabaya has yet to be handled thoroughly. Related to these problems, The Government of Surabaya stipulated that any presence of constructions should be followed by solution of flooding problems around the area (Region Regulations of Surabaya No. 3 of 2007 on Spatial Planning). Based on observations, largest flood in 2010 occurred in East Surabaya, in the Mulyorejo region approximately 368 Ha with depth of 15-30 cm. Later, in year 2011 through 2013 it fell to 0-15 cm. Along Kenjeran Roadway and in some other areas in 2013, the floodwaters depth ranged from 30-50 cm. All these flood areas are at the Kepiting River and Kenjeran River watershed. Therefore, we need a drainage system planning at the Kepiting River and Kenjeran River sub system. In this final project will be planning the drainage system in the City of Surabaya especially on Kepiting River and Kenjeran River watershed. The plan will redesign drainage channels and establish sewage systems in the estuary of Kepiting River and Kenjeran River. Analysis is done by using HEC-HMS and HEC-RAS software. HEC-HMS is used for hydrologic analysis while HEC-RAS is used for hydraulic analysis. Based on the analysis results, the dimension of all channel is quite varied. Tertiary channels are using U-Ditch precast with dimension ranging from 60 x 100 cm to 250 x 250 cm. Secondary channels are planned only one type of dimensions using the U-Ditch, which is 300 x 250 cm, while the other two types of

dimensions, 400 x 250 cm and 500 x 250 cm, are square-shaped with reinforcement of sheet pile. The two primary channels are square-shaped with reinforcement of sheet pile. Kepiting River and Kenjeran River dimensions are 18 x 2,5 m and 12 x 2,5 m respectively. Whereas the existing width for Kepiting River is 16 m and 10 m for Kenjeran River. This shows that the existing widths for both channels cannot meet the needs of flood discharge. When the tide occurs, there will be overflow at estuary of the channel. This causes backwater. The lack of existing width in both channels and the occurrence of backwater are what led to flood. Therefore, we need to establish a storage area / boezem with 2,5 m deep and 200.000 m² wide, including 4 units of water pump ($Q = 2,5 \text{ m}^3/\text{s}$) and 4 water gates (300 x 250 cm).

Keywords: *Drainage, HEC-HMS, HEC-RAS, Kenjeran River, Kepiting River.*

KATA PENGANTAR

Alhamdulillah, puji dan syukur penulis panjatkan kepada Allah SWT karena berkat limpahan rahmat dan karunia-Nya Tugas Akhir ini. Tidak lupa penulis bershallowat dan berucap salam kepada Baginda Nabi Muhammad SAW, keluarga, serta sahabat - sahabat beliau rahimahullah. Tugas Akhir yang berjudul “PERENCANAAN JARINGAN DRAINASE SUB SISTEM KALI KEPITING DAN KALI KENJERAN SURABAYA” ini ditujukan untuk memenuhi salah satu persyaratan akademik guna memperoleh gelar Sarjana Teknik Sipil Strata Satu Institut Teknologi Sepuluh Nopember Surabaya.

Penulis menyadari Tugas Akhir ini dapat selesai bukan semata karena penulis saja, namun juga karena adanya doa, bantuan, dan dukungan dari berbagai pihak. Karenanya penulis ingin mengucapkan terimakasih sebesar-besarnya kepada semua pihak yang telah membantu selama pengerjaan Tugas Akhir ini berlangsung, terutama kepada:

1. Kedua Orang Tua penulis, Mama Papa, yang selalu mendoakan setiap waktu. Yang selalu memberikan penulis semangat ketika sedang *down*.
2. Bapak Dr. Techn. Umboro Lasminto, S.T., M.Sc. selaku dosen pembimbing, atas segala ajaran dan bimbingan ilmu serta waktunya selama proses pengerjaan Tugas Akhir ini.
3. Teman - teman Al Hadiid; Naim, Adam, Rowi, Hamdan, Adhy, Tatang, Wantri, dan Wankur yang memberikan dukungan dan semangat selama masa - masa kuliah.
4. Teman - teman hidro; Maco, Haru, Rahmat, Regi, yang sudah membantu mengerjakan Tugas Akhir ini.
5. Teman - teman seperjuangan KP; Luay, Wisnu, dan Revi yang selalu menghibur dan tempat nongkrong disaat-saat santai.
6. Seluruh teman - teman seperjuangan Teknik Sipil angkatan 2011 yang telah menjadi keluarga bagi penulis selama di ITS ini.
7. Semua pihak lain yang tidak dapat penulis sebut satu persatu.

Penulis menyadari bahwa dalam proses penyusunan Tugas Akhir ini masih banyak terdapat kekurangan. Oleh karena itu kritik dan saran yang membangun sangat diharapkan dan sangat bermanfaat penulis. Penulis juga memohon maaf atas segala kekurangan yang ada dalam Tugas Akhir ini. Semoga Tugas Akhir ini dapat bermanfaat dan menjadi sumber ilmu bagi semua pihak, khususnya adik - adik penulis di Teknik Sipil ITS.

Surabaya, Januari 2016

Penulis

DAFTAR ISI

| | |
|--------------------------------------|------|
| LEMBAR PENGESAHAN | v |
| ABSTRAK | vii |
| KATA PENGANTAR | xi |
| DAFTAR ISI | xiii |
| DAFTAR GAMBAR | xvi |
| DAFTAR TABEL | xix |
| | |
| BAB I PENDAHULUAN | 1 |
| 1.1. Latar Belakang | 1 |
| 1.2. Rumusan Masalah | 2 |
| 1.3. Tujuan | 2 |
| 1.4. Batasan Masalah | 3 |
| 1.5. Manfaat | 3 |
| 1.6. Lokasi Studi | 3 |
| | |
| BAB II TINJAUAN PUSTAKA | 5 |
| 2.1. Analisa Hidrologi | 5 |
| 2.1.1. Data Curah Hujan | 5 |
| 2.1.2. Analisa Frekuensi | 7 |
| 2.1.3. Uji Kecocokan | 16 |
| 2.1.4. Periode Ulang Hujan | 19 |
| 2.1.5. SCS Unit Hydrograph | 20 |

| | |
|--|-----------|
| 2.2. Analisa Hidrolika | 23 |
| 2.2.1. Kapasitas Saluran | 23 |
| 2.2.2. Tinggi Jagaan | 25 |
| 2.2.3. Profil Air Balik (Backwater) | 26 |
| 2.2.4. Kolam Tampung (Boezem) | 26 |
| 2.3. Program Bantu | 27 |
| 2.3.1. HEC-HMS | 27 |
| 2.3.2. HEC-RAS | 30 |
| BAB III METODOLOGI | 33 |
| 3.1. Studi Literatur | 33 |
| 3.2. Pengumpulan Data | 33 |
| 3.3. Analisa Data | 33 |
| 3.4. Kesimpulan dan Saran | 34 |
| 3.5. Langkah Penggerjaan | 34 |
| BAB IV ANALISA DAN PEMBAHASAN | 37 |
| 4.1. Data Primer | 37 |
| 4.2. Analisa Hidrologi | 43 |
| 4.2.1. Analisa Data Hujan | 44 |
| 4.2.2. Analisa Frekuensi | 50 |
| 4.2.3. Uji Kecocokan | 54 |
| 4.2.4. Perhitungan Hujan Rencana | 58 |
| 4.2.5. Perhitungan SCS Unit Hydrograph | 59 |

| | |
|--|-----------|
| 4.3. Perhitungan Debit dengan Program Bantu HEC-HMS | 64 |
| 4.3.1. Skema Saluran pada Basin Model | 66 |
| 4.3.2. Input Parameter | 69 |
| 4.3.3. Output HEC-HMS | 69 |
| 4.4. Analisa Hidrolikा | 71 |
| 4.4.1. Analisa Kapasitas Saluran Tersier | 72 |
| 4.4.2. Analisa Kapasitas Saluran Sekunder dan Primer dengan Program Bantu HEC-RAS | 79 |
| 4.4.3. Analisa Boezem dengan Program Bantu HEC-RAS | 87 |
| BAB V KESIMPULAN DAN SARAN | 95 |
| 5.1. Kesimpulan | 95 |
| 5.2. Saran | 96 |
| DAFTAR PUSTAKA | 97 |
| LAMPIRAN | 99 |

DAFTAR GAMBAR

| | | |
|-------------|---|----|
| Gambar 1.1 | Peta Lokasi | 3 |
| Gambar 2.1 | Poligon Thiessen | 6 |
| Gambar 2.2 | Pendekatan perhitungan panjang overland flow | 21 |
| Gambar 2.3 | Prinsip kerja boezem | 27 |
| Gambar 4.1 | Poligon Thiessen DAS Kali Kepiting dan Kali Kenjeran | 44 |
| Gambar 4.2 | Program Settings HEC-HMS | 65 |
| Gambar 4.3 | Basin Model Manager | 66 |
| Gambar 4.4 | Window utama HEC-HMS | 67 |
| Gambar 4.5 | Tools Basin Model | 67 |
| Gambar 4.6 | Skema saluran HEC-HMS DAS Kali Kenjeran | 68 |
| Gambar 4.7 | Skema saluran HEC-HMS DAS Kali Kepiting | 68 |
| Gambar 4.8 | Skema saluran HEC-RAS DAS Kali Kenjeran | 79 |
| Gambar 4.9 | Skema saluran HEC-RAS DAS Kali Kepiting | 80 |
| Gambar 4.10 | Cross Sections saluran pada HEC-RAS | 80 |
| Gambar 4.11 | Boundary Conditions | 81 |
| Gambar 4.12 | Hidrograf HEC-RAS | 82 |

| | |
|---|----|
| Gambar 4.13 Initial Conditions | 83 |
| Gambar 4.14 Potongan memanjang Kali Kenjeran | 84 |
| Gambar 4.15 Potongan memanjang Kali Kepiting | 84 |
| Gambar 4.16 Lokasi rencana boezem | 87 |
| Gambar 4.17 Skema boezem HEC-RAS | 88 |
| Gambar 4.18 Cross sections hilir Kali Kenjeran dan Kali Kepiting | 88 |
| Gambar 4.19 Cross sections Outlet | 89 |
| Gambar 4.20 Storage Area Editor | 90 |
| Gambar 4.21 Pump Connection Data | 90 |
| Gambar 4.22 Pump Group Data | 90 |
| Gambar 4.23 Weir Station | 91 |
| Gambar 4.24 Gate Editor | 92 |
| Gambar 4.25 Inline Structure Editor | 92 |
| Gambar 4.26 Flow Hydrograph Kali Kenjeran dan Kali Kepiting | 93 |
| Gambar 4.27 Stage Hydrograph dan Gate Openings | 94 |
| Gambar 4.28 Saluran Outlet pada kondisi puncak | 94 |

DAFTAR TABEL

| | | |
|------------|--|----|
| Tabel 2.1 | Nilai k untuk Distribusi Log Normal | 10 |
| Tabel 2.2 | Nilai k untuk Distribusi Log Pearson Tipe III | 12 |
| Tabel 2.3 | Reduced Mean (Yn) | 13 |
| Tabel 2.4 | Reduced Standar Deviation (Sn) | 14 |
| Tabel 2.5 | Reduced Variate (Ytr) | 14 |
| Tabel 2.6 | Nilai kritis untuk uji kecocokan chi kuadrat | 16 |
| Tabel 2.7 | Nilai kritis untuk uji kecocokan Smirnov-Kolmogorof | 17 |
| Tabel 2.8 | Periode Ulang Hujan (PUH) | 18 |
| Tabel 2.9 | Harga CN di Indonesia | 19 |
| Tabel 2.10 | Koefisien Kekasaran Manning (n) | 23 |
| Tabel 2.11 | Tinggi Jagaan Minimum | 25 |
| Tabel 2.12 | Metode Program HEC-HMS | 28 |
| Tabel 4.1 | Saluran Tersier DAS Kali Kenjeran | 37 |
| Tabel 4.2 | Saluran Sekunder dan Primer DAS Kali Kenjeran | 38 |
| Tabel 4.3 | Sub DAS Kali Kenjeran | 39 |
| Tabel 4.4 | Saluran Tersier DAS Kali Kepiting | 40 |
| Tabel 4.5 | Saluran Sekunder dan Primer DAS Kali Kepiting | 41 |
| Tabel 4.6 | Sub DAS Kali Kepiting | 42 |
| Tabel 4.7 | Koefisien Thiessen (W) | 45 |

| | | |
|------------|---|----|
| Tabel 4.8 | Curah Hujan Maksimum Stasiun Hujan Kedung Cowek | 45 |
| Tabel 4.9 | Curah Hujan Maksimum Stasiun Hujan Gubeng | 46 |
| Tabel 4.10 | Curah Hujan Maksimum Stasiun Hujan Keputih | 46 |
| Tabel 4.11 | Rekapitulasi Curah Hujan Tahunan Maksimum Tiap Stasiun | 47 |
| Tabel 4.12 | Perhitungan Hujan Rata - Rata berdasarkan Stasiun Hujan Kedung Cowek | 48 |
| Tabel 4.13 | Perhitungan Hujan Rata - Rata berdasarkan Stasiun Hujan Gubeng | 49 |
| Tabel 4.14 | Perhitungan Hujan Rata - Rata berdasarkan Stasiun Hujan Keputih | 49 |
| Tabel 4.15 | Curah Hujan Rata - Rata Maksimum | 50 |
| Tabel 4.16 | Perhitungan Parameter Statistik untuk Distribusi Normal dan Distribusi Gumbel Tipe I | 51 |
| Tabel 4.17 | Perhitungan Parameter Statistik untuk Distribusi Log Normal dan Distribusi Log Pearson Tipe III | 52 |
| Tabel 4.18 | Pemilihan Jenis Distribusi | 53 |
| Tabel 4.19 | Uji Chi Kuadrat untuk Distribusi Gumbel Tipe I | 55 |
| Tabel 4.20 | Uji Chi Kuadrat untuk Distribusi Log Pearson Tipe III | 53 |
| Tabel 4.21 | Uji Smirnov Kolmogorov Distribusi Gumbel Tipe I | 56 |

| | | |
|------------|--|----|
| Tabel 4.22 | Uji Smirnov Kolmogorov Distribusi Log Pearson Tipe III | 57 |
| Tabel 4.23 | Hasil Uji Kecocokan | 58 |
| Tabel 4.24 | Tinggi Hujan pada Jam ke-t | 59 |
| Tabel 4.25 | Parameter SCS UH untuk DAS Kali Kenjeran | 60 |
| Tabel 4.26 | Parameter SCS UH untuk DAS Kali Kepiting | 62 |
| Tabel 4.27 | $Q_{\text{Hidrologi}}$ Saluran Tersier DAS Kali Kenjeran | 70 |
| Tabel 4.28 | $Q_{\text{Hidrologi}}$ Saluran Tersier DAS Kali Kepiting | 71 |
| Tabel 4.29 | Dimensi U-Ditch PT Adhimix | 72 |
| Tabel 4.30 | Dimensi Saluran Tersier DAS Kali Kenjeran | 74 |
| Tabel 4.31 | Dimensi Saluran Tersier DAS Kali Kepiting | 76 |
| Tabel 4.32 | Dimensi Saluran Sekunder dan Primer DAS Kali Kenjeran | 85 |
| Tabel 4.33 | Dimensi Saluran Sekunder dan Primer DAS Kali Kepiting | 86 |
| Tabel 5.1 | Tipe U-Ditch yang dipakai | 95 |

BAB I

PENDAHULUAN

1.1. Latar Belakang

Surabaya merupakan kota kedua terbesar di Indonesia setelah Jakarta. Kota Pahlawan ini secara geografis berada di garis lintang selatan dan bujur timur antara $7^{\circ}12'$ - $7^{\circ}21'$ lintang selatan dan $112^{\circ}36'$ - $127^{\circ}54'$ bujur timur. Luas kota metropolitan ini adalah $374,8\text{ km}^2$ dengan jumlah penduduk sekitar 2,765 juta jiwa (Badan Pusat Statistik, 2010). Peningkatan jumlah penduduk yang terus bertambah dalam waktu yang relatif singkat memerlukan dukungan sarana dan prasarana agar tidak menimbulkan permasalahan-permasalahan. Salah satu masalah yang timbul adalah genangan khususnya pada saat musim hujan.

Tidak dapat dipungkiri banjir menjadi persoalan besar bagi Kota Surabaya. Dimana Surabaya terbagi atas lima kawasan utama yaitu Surabaya Barat, Surabaya Timur, Surabaya Selatan, Surabaya Pusat, dan Surabaya Utara. Hampir tak ada kawasan Surabaya yang benar - benar luput dari banjir.

Permasalahan banjir Kota Surabaya sampai saat ini belum dapat tertangani secara menyeluruh walaupun Pemerintah Kota Surabaya telah berupaya semaksimal mungkin untuk mengatasinya. Berkaitan dengan permasalahan tersebut, Pemerintah Kota menetapkan bahwa setiap adanya pembangunan harus diikuti dengan penyelesaian banjir disekitar wilayah tersebut (PERDA Kota Surabaya Nomor 3 Tahun 2007 tentang Rencana Tata Ruang Wilayah Kota Surabaya).

Pada tahun 2010 banjir yang terluas di Surabaya Timur adalah daerah Mulyorejo $\pm 368\text{ Ha}$, lama genangan 2-6 jam, dan kedalamannya 15-30 cm. Kemudian di tahun 2011 sampai 2013 turun menjadi 0-15 cm dengan sub sistem pematusan Kali Kepiting (Sumber: Bappeda). Namun sepanjang Jalan Raya Kenjeran berada dalam kondisi yang parah, kedalaman genangan 30-50 cm pada tahun 2013 dan di beberapa kawasan lainnya.

Semua kawasan genangan tersebut berada pada daerah aliran sungai (DAS) Kali Kepiting dan Kali Kenjeran. Dimana saluran Kali Kepiting ini selain muara ke laut akan bercabang pada saluran Kalijudan menuju saluran Kali Kenjeran yang pada akhirnya bermuara ke laut. Oleh karena itu diperlukan perencanaan sistem drainase pada sub sistem Kali Kepiting dan Kali Kenjeran karena kedua saluran ini saling berhubungan agar permasalahan banjir dapat teratasi.

1.2. Rumusan Masalah

Permasalahan yang akan dibahas dalam Tugas Akhir ini adalah sebagai berikut:

1. Apa yang menyebabkan terjadinya genangan pada DAS Kali Kenjeran dan Kali Kepiting?
2. Berapa debit banjir rencana yang digunakan?
3. Bagaimana rencana dan dimensi penampang saluran drainase yang direncanakan?
4. Bagaimana pengaruh muka air laut terhadap aliran Kali Kenjeran dan Kali Kepiting?

1.3. Tujuan

Dengan adanya permasalahan di atas, maka tujuan yang ingin dicapai dari Tugas Akhir ini adalah sebagai berikut:

1. Mengetahui penyebab terjadinya genangan pada DAS Kali Kenjeran dan Kali Kepiting.
2. Mengetahui debit banjir rencana yang digunakan.
3. Mengetahui dimensi penampang saluran drainase yang direncanakan.
4. Mengetahui pengaruh muka air laut pada aliran Kali Kenjeran dan Kali Kepiting.

1.4. Batasan Masalah

Batasan masalah dari Tugas Akhir ini adalah sebagai berikut:

1. Perencanaan saluran drainase hanya pada DAS Kali Kenjeran dan Kali Kepiting.
2. Tidak menghitung besarnya limbah rumah tangga.
3. Tidak menghitung sedimentasi.
4. Tidak menghitung biaya pembuatan saluran drainase.

1.5. Manfaat

Manfaat yang dapat diambil dari penulisan Tugas Akhir ini diharapkan mampu menghasilkan suatu perencanaan ulang sistem drainase di kawasan DAS Kali Kenjeran dan Kali Kepiting yang tepat. Perencanaan ulang ini ditujukan agar mampu menjadi salah satu dasar pertimbangan dalam pengembangan dan perbaikan sistem drainase Kota Surabaya pada kawasan DAS Kali Kenjeran dan Kali Kepiting guna menghadapi perkembangan pesat Kota Surabaya pada tahun-tahun mendatang.

1.6. Lokasi Studi



Gambar 1.1 Peta Lokasi
(sumber: maps.google.com)

Halaman ini sengaja dikosongkan

BAB II

TINJAUAN PUSTAKA

2.1. Analisa Hidrologi

Hidrologi adalah ilmu yang membahas tentang air yang ada di bumi mengenai kejadian, perputaran dan pembagiannya, sifat-sifat fisik dan kimianya, serta reaksinya terhadap lingkungan termasuk hubungannya dengan kehidupan (R. K. Linsley, Max A. Kohler, Joseph L. H. Paulus, 1982). Analisa hidrologi di sini adalah perhitungan debit banjir yang merupakan pegangan utama dalam merencanakan atau mendesain bangunan air.

Analisa hidrologi secara umum dilakukan untuk mendapatkan karakteristik hidrologi dan meteorologi pada kawasan yang menjadi obyek studi. Pada studi ini analisa hidrologi digunakan untuk mengetahui karakteristik hujan, menganalisa hujan rencana, dan analisa debit rencana. Guna memenuhi langkah tersebut diperlukan data curah hujan, kondisi tata guna lahan, kemiringan lahan, dan koefisien permelbilitas tanah.

2.1.1. Data Curah Hujan

Curah hujan diperlukan untuk perancangan suatu pemanfaatan air dan rancangan pengendalian banjir. Curah hujan yang digunakan bukanlah curah hujan pada suatu titik tertentu, melainkan curah hujan rata-rata di seluruh daerah yang bersangkutan. Curah hujan ini disebut curah hujan wilayah dinyatakan dalam mm.

Curah hujan wilayah harus diperkirakan dari beberapa titik pengamatan curah hujan yang terletak di sekitar daerah yang bersangkutan. Ada tiga metode untuk perhitungan curah hujan rata-rata:

- a. Metode rata-rata aritmatik (aljabar).
- b. Metode Poligon Thiessen.
- c. Metode Isohyet.

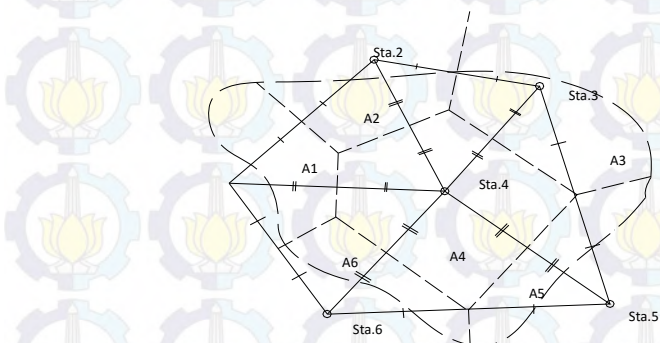
Dalam penggeraan Tugas Akhir ini akan digunakan Metode Poligon Thiessen untuk perhitungan curah hujan rata-rata. Metode

ini memperhitungkan bobot dari masing-masing stasiun yang mewakili luasan di sekitarnya. Poligon Thiessen dibentuk dengan menggambarkan garis-garis sumbu tegak lurus terhadap garis penghubung antara dua stasiun hujan terdekat (Gambar 2.1). Pada suatu luasan di dalam DAS dianggap bahwa hujan adalah sama dengan yang terjadi pada stasiun yang terdekat, sehingga hujan yang tercatat pada suatu stasiun mewakili luasan tersebut.

Metode ini digunakan apabila penyebaran stasiun hujan di daerah yang ditinjau tidak merata, pada metode ini stasiun hujan minimal yang digunakan untuk perhitungan adalah tiga stasiun hujan. Hitungan curah hujan rata-rata dilakukan dengan memperhitungkan daerah pengaruh dari tiap stasiun.

Metode poligon Thiessen banyak digunakan untuk menghitung hujan rata-rata kawasan. Poligon Thiessen selalu tetap untuk suatu jaringan stasiun hujan tertentu. Apabila terdapat perubahan jaringan stasiun hujan seperti pemindahan atau penambahan stasiun, maka harus dibuat lagi poligon yang baru (Triyatmodjo, 2008).

Hasil metode poligon Thiessen lebih akurat dibandingkan dengan metode rata-rata aritmatik. Cara ini cocok untuk daerah datar dengan luas 500-5.000 km².



Gambar 2.1 Poligon Thiessen

Curah hujan rata-rata dapat dihitung dengan persamaan 2.1 dibawah ini:

$$\bar{R} = \frac{A_1 R_1 + A_2 R_2 + \dots + A_n R_n}{A_1 + A_2 + \dots + A_n} \quad \dots \quad (2.1)$$

dimana,

\bar{R} = curah hujan rata-rata (mm).

R_1, R_2, \dots, R_n = curah hujan yang tercatat di stasiun hujan
1, 2, ..., n (mm).

A_1, A_2, \dots, A_n = luas areal poligon 1, 2, ..., n (km^2).

2.1.2. Analisa Frekuensi

Tujuan analisa frekuensi data hidrologi adalah berkaitan dengan besaran peristiwa-peristiwa ekstrim yang berkaitan dengan frekuensi kejadiannya melalui penerapan distribusi kemungkinan. Data hidrologi yang dianalisa diasumsikan tidak bergantung (*independent*) dan terdistribusi secara acak serta bersifat stokastik.

Frekuensi hujan adalah besarnya kemungkinan suatu besaran hujan disamai atau dilampaui. Dalam hal ini tidak tergantung pengertian bahwa kejadian tersebut akan berulang secara teratur setiap kala ulang terjadi (Suripin, 2004).

Analisa frekuensi sesungguhnya merupakan prakiraan dalam arti probabilitas untuk terjadinya suatu peristiwa hidrologi dalam bentuk hujan rancangan yang berfungsi sebagai dasar perhitungan perencanaan hidrologi untuk antisipasi setiap kemungkinan yang akan terjadi.

Analisa frekuensi ini dilakukan dengan menggunakan teori *probability distribution*, antara lain Distribusi Normal, Distribusi Log Normal, Distribusi Log Pearson Tipe III, dan Distribusi Gumbel. Secara sistematis perhitungan hujan rencana dilakukan secara berurutan sebagai berikut:

1. Penentuan Parameter Statistik

Parameter yang digunakan dalam perhitungan analisa frekuensi meliputi: parameter nilai rata-rata ($X_{\bar{}}^{} \text{ bar}$), simpangan baku (S_d), koefisien variasi (C_v), koefisien kemiringan (C_s), dan koefisien kurtosis (C_k). Perhitungan parameter tersebut didasarkan

pada data catatan tinggi hujan harian maksimum, paling sedikit dengan data 10 tahun terakhir. Untuk memudahkan perhitungan proses analisa dilakukan secara matriks dengan menggunakan tabel, sedangkan rumus yang digunakan adalah:

$$Cv = \frac{Sd}{X} \quad \dots \dots \dots \quad (2.4)$$

$$C_s = \frac{1/n \sum (X - X_{bar})^3}{(1/n \sum (X - X_{bar})^3)^{1/2}} \cdot \frac{n^2}{(n-1)(n-2)} \quad \dots \dots \dots (2.5)$$

$$Ck = \frac{1/n \sum (X - Xbar)^4}{(1/n \sum (X - Xbar)^2)^2} \cdot \frac{n^2}{(n-1)(n-2)(n-3)} \quad \dots \dots \dots (2.6)$$

dimana,

\bar{X} = tinggi hujan harian maksimum rata-rata selama n tahun

$\sum X$ = jumlah tinggi hujan harian maksimum selama n tahun.

n = jumlah tahun pencatatan data hujan

Sd = simpangan baku

Cv = koefisien variasi

Cs = koefisien kemiringan

Ck = koefisien kurtosis

2. Pemilihan Jenis Distribusi

Dalam ilmu statistik dikenal beberapa jenis distribusi. Namun hanya empat jenis distribusi yang sering digunakan dalam

bidang hidrologi. Penentuan jenis distribusi yang sesuai dengan data dilakukan dengan mencocokan parameter statistik dengan syarat masing - masing jenis distribusi berikut:

- Distribusi Normal mempunyai harga $C_s \approx 0$ dan $C_k = 3$
 - Distribusi Log Normal mempunyai harga $C_s \approx 3C_v + C_v^2 = 3$ dan $C_k = 5.383$
 - Distribusi Log Pearson Tipe III mempunyai harga $C_s \neq 0$
 - Distribusi Gumbel Tipe I mempunyai harga $C_s \leq 1.139$ dan $C_k \leq 5.4002$

3. Perhitungan Hujan Rencana

Perhitungan hujan rencana dilakukan dengan jenis distribusi yang sudah dicocokkan dengan parameter statistik diatas, dengan rumus sebagai berikut:

a. Distribusi Log Normal

Perhitungan distribusi log normal menggunakan persamaan sebagai berikut:

X = Curah hujan dengan periode tertentu
 \bar{X} = Curah hujan maksimum rata-rata
 k = Faktor dari distribusi (Tabel 2.1)
 S = Standar deviasi

Tabel 2.1 Nilai k untuk Distribusi Log Normal (Soemarto, 1999)

| Koefisien Variasi (CV) | <i>Peluang Kumulatif P (%) : P(X ≤ X)</i> | | | | | |
|------------------------|---|--------|--------|--------|--------|--------|
| | <i>Periode Ulang (tahun)</i> | | | | | |
| | 50 | 80 | 90 | 95 | 98 | 99 |
| 2 | 5 | 10 | 20 | 50 | 100 | |
| 0,0500 | -0,0250 | 0,8334 | 1,2965 | 1,6863 | 2,1341 | 2,4570 |
| 0,1000 | -0,0496 | 0,8222 | 1,3078 | 1,7247 | 2,2130 | 2,5489 |
| 0,1500 | -0,0738 | 0,8085 | 1,3156 | 1,7598 | 2,2899 | 2,2607 |
| 0,2000 | -0,0971 | 0,7926 | 1,3200 | 1,7911 | 2,3640 | 2,7716 |
| 0,2500 | -0,1194 | 0,7746 | 1,3209 | 1,8183 | 2,4318 | 2,8805 |
| 0,3000 | -0,1406 | 0,7647 | 1,3183 | 1,8414 | 2,5015 | 2,9866 |
| 0,3500 | -0,1604 | 0,7333 | 1,3126 | 1,8602 | 2,5638 | 3,0890 |
| 0,4000 | -0,1788 | 0,7100 | 1,3037 | 1,8746 | 2,6212 | 3,1870 |
| 0,4500 | -0,1957 | 0,6870 | 1,2920 | 1,8848 | 2,6731 | 3,2799 |
| 0,5000 | -0,2111 | 0,6626 | 1,2778 | 1,8909 | 2,7202 | 3,3673 |
| 0,5500 | -0,2251 | 0,6379 | 1,2613 | 1,8931 | 2,7613 | 3,4488 |
| 0,6000 | -0,2375 | 0,6129 | 1,2428 | 1,8915 | 2,7971 | 3,5211 |
| 0,6500 | -0,2185 | 0,5879 | 1,2226 | 1,8866 | 2,8279 | 3,3930 |
| 0,7000 | -0,2582 | 0,5631 | 1,2011 | 1,8786 | 2,8532 | 3,3663 |
| 0,7500 | -0,2667 | 0,5387 | 1,1784 | 1,8677 | 2,8735 | 3,7118 |
| 0,8000 | -0,2739 | 0,5118 | 1,1548 | 1,8543 | 2,8891 | 3,7617 |
| 0,8500 | -0,2801 | 0,4914 | 1,1306 | 1,8388 | 2,9002 | 3,8056 |
| 0,9000 | -0,2852 | 0,4686 | 1,1060 | 1,8212 | 2,9071 | 3,8137 |
| 0,9500 | -0,2895 | 0,4466 | 1,0810 | 1,8021 | 2,9103 | 3,8762 |
| 1,0000 | -0,2929 | 0,4254 | 1,0560 | 1,7815 | 2,9098 | 3,9035 |

b. Distribusi Log Pearson Tipe III

Perhitungan distribusi log normal dan log pearson tipe III menggunakan persamaan sebagai berikut:

dimana,

$\log X$ = Logaritma curah hujan (diharapkan terjadi) untuk periode tertentu

$\log \bar{X}$ = Hujan rata-rata dari logaritmik data

$SdLog\bar{X}$ = Standar deviasi logaritmik

k = Faktor dari distribusi (Tabel 2.2)

(Suripin, 2004)

Tabel 2.2 Nilai k untuk Distribusi Log Pearson Tipe III
 (Suripin, 2004)

| Kemencenggan (CS) | Periode Ulang (tahun) | | | | | | | |
|----------------------|-----------------------|-------|-------|-------|-------|-------|-------|-------|
| | Peluang (%) | | | | | | | |
| | 50 | 20 | 10 | 4 | 2 | 1 | 0,5 | 0,1 |
| 3,0 | -0,360 | 0,420 | 1,180 | 2,278 | 3,152 | 4,051 | 4,970 | 7,250 |
| 2,5 | -0,360 | 0,518 | 1,250 | 2,262 | 3,048 | 3,845 | 4,652 | 6,600 |
| 2,2 | -0,330 | 0,574 | 1,284 | 2,240 | 2,970 | 3,705 | 4,444 | 6,200 |
| 2,0 | -0,307 | 0,609 | 1,302 | 2,219 | 2,912 | 3,605 | 4,298 | 5,910 |
| 1,8 | -0,282 | 0,643 | 1,318 | 2,193 | 2,848 | 3,499 | 4,147 | 5,660 |
| 1,6 | -0,254 | 0,675 | 1,329 | 2,163 | 2,780 | 3,388 | 3,990 | 5,390 |
| 1,4 | -0,225 | 0,705 | 1,337 | 2,128 | 2,706 | 3,271 | 3,828 | 5,110 |
| 1,2 | -0,195 | 0,732 | 1,340 | 2,087 | 2,626 | 3,149 | 3,661 | 4,820 |
| 1,0 | -0,164 | 0,758 | 1,340 | 2,043 | 2,542 | 3,022 | 3,489 | 4,540 |
| 0,9 | -0,148 | 0,769 | 1,339 | 2,018 | 2,498 | 2,957 | 3,401 | 4,395 |
| 0,8 | -0,132 | 0,780 | 1,336 | 1,998 | 2,453 | 2,891 | 3,312 | 4,250 |
| 0,7 | -0,116 | 0,790 | 1,333 | 1,967 | 2,407 | 2,824 | 3,223 | 4,105 |
| 0,6 | 0,099 | 0,800 | 1,328 | 1,939 | 2,359 | 2,755 | 3,132 | 3,960 |
| 0,5 | -0,083 | 0,808 | 1,323 | 1,910 | 2,311 | 2,686 | 3,041 | 3,815 |
| 0,4 | -0,066 | 0,816 | 1,317 | 1,880 | 2,261 | 2,615 | 2,949 | 3,670 |
| 0,3 | -0,050 | 0,824 | 1,309 | 1,849 | 2,211 | 2,544 | 2,856 | 3,525 |
| 0,2 | -0,033 | 0,830 | 1,301 | 1,818 | 2,159 | 2,472 | 2,763 | 3,380 |
| 0,1 | -0,017 | 0,836 | 1,292 | 1,785 | 2,107 | 2,400 | 2,670 | 3,235 |
| 0,0 | 0,000 | 0,842 | 1,282 | 1,751 | 2,054 | 2,326 | 2,576 | 3,090 |
| -0,1 | 0,017 | 0,836 | 1,270 | 1,761 | 2,000 | 2,252 | 2,482 | 3,950 |
| -0,2 | 0,033 | 0,850 | 1,258 | 1,680 | 1,945 | 2,178 | 2,388 | 2,810 |
| -0,3 | 0,050 | 0,853 | 1,245 | 1,643 | 1,890 | 2,104 | 2,294 | 2,675 |
| -0,4 | 0,066 | 0,855 | 1,231 | 1,606 | 1,834 | 2,029 | 2,201 | 2,540 |
| -0,5 | 0,083 | 0,856 | 1,216 | 1,567 | 1,777 | 1,955 | 2,108 | 2,400 |
| -0,6 | 0,099 | 0,857 | 1,200 | 1,528 | 1,720 | 1,880 | 2,016 | 2,275 |
| -0,7 | 0,116 | 0,857 | 1,183 | 1,488 | 1,663 | 1,806 | 1,926 | 2,150 |
| -0,8 | 0,132 | 0,856 | 1,166 | 1,448 | 1,606 | 1,733 | 1,837 | 2,035 |
| -0,9 | 0,148 | 0,854 | 1,147 | 1,407 | 1,549 | 1,660 | 1,749 | 1,910 |
| -1,0 | 0,164 | 0,852 | 1,128 | 1,366 | 1,492 | 1,588 | 1,664 | 1,800 |
| -1,2 | 0,195 | 0,844 | 1,086 | 1,282 | 1,379 | 1,449 | 1,501 | 1,625 |
| -1,4 | 0,225 | 0,832 | 1,041 | 1,198 | 1,270 | 1,318 | 1,351 | 1,465 |
| -1,6 | 0,254 | 0,817 | 0,994 | 1,116 | 1,166 | 1,197 | 1,216 | 1,280 |
| -1,8 | 0,282 | 0,799 | 0,945 | 1,035 | 1,069 | 1,087 | 1,097 | 1,130 |
| -2,0 | 0,307 | 0,777 | 0,895 | 0,959 | 0,980 | 0,990 | 1,995 | 1,000 |
| -2,2 | 0,330 | 0,752 | 0,844 | 0,888 | 0,900 | 0,905 | 0,907 | 0,910 |
| -2,5 | 0,360 | 0,711 | 0,771 | 0,793 | 0,798 | 0,799 | 0,800 | 0,802 |
| -3,0 | 0,396 | 0,636 | 0,660 | 0,666 | 0,666 | 0,667 | 0,667 | 0,668 |

c. Distribusi Gumbel Tipe I

Perhitungan distribusi Gumbel Tipe I menggunakan persamaan sebagai berikut:

$$Xi = Xrt + S.k \quad \dots \dots \dots \quad (2.9)$$

dimana,

Xi = Hujan rencana dengan periode ulang T tahun

Xrt = Nilai tengah sampel

S = Standar deviasi

k = Faktor frekuensi

Faktor frekuensi k didapat dengan menggunakan rumus:

$$k = \frac{Y_{tr} - Y_n}{S_n} \quad \dots \dots \dots \quad (2.10)$$

dimana,

Yn = harga rata-rata *reduced mean* (Tabel 2.3)

S_n = *Reduced Standar Deviation* (Tabel 2.4)

Ytr = *Reduced variate* (Tabel 2.5)

Tabel 2.3 *Reduced Mean* (Yn) (Soewarno, 1995)

| n | Yn | n | Yn | n | Yn | n | Yn |
|-----|--------|-----|--------|-----|--------|-----|--------|
| 10 | 0,4592 | 34 | 0,5396 | 58 | 0,5518 | 82 | 0,5572 |
| 11 | 0,4996 | 35 | 0,5402 | 59 | 0,5518 | 83 | 0,5574 |
| 12 | 0,5053 | 36 | 0,5410 | 60 | 0,5521 | 84 | 0,5576 |
| 13 | 0,5070 | 37 | 0,5418 | 61 | 0,5524 | 85 | 0,5578 |
| 14 | 0,5100 | 38 | 0,5424 | 62 | 0,5527 | 86 | 0,5580 |
| 15 | 0,5128 | 39 | 0,5430 | 63 | 0,5530 | 87 | 0,5581 |
| 16 | 0,5157 | 40 | 0,5436 | 64 | 0,5533 | 88 | 0,5583 |
| 17 | 0,5181 | 41 | 0,5442 | 65 | 0,5535 | 89 | 0,5585 |
| 18 | 0,5202 | 42 | 0,5448 | 66 | 0,5538 | 80 | 0,5586 |
| 19 | 0,5220 | 43 | 0,5453 | 67 | 0,5540 | 91 | 0,5587 |
| 20 | 0,5236 | 44 | 0,5458 | 68 | 0,5543 | 92 | 0,5589 |
| 21 | 0,5252 | 45 | 0,5463 | 69 | 0,5545 | 93 | 0,5591 |
| 22 | 0,5268 | 46 | 0,5468 | 70 | 0,5548 | 94 | 0,5592 |
| 23 | 0,5283 | 47 | 0,5473 | 71 | 0,5550 | 95 | 0,5593 |
| 24 | 0,5296 | 48 | 0,5477 | 72 | 0,5552 | 96 | 0,5595 |
| 25 | 0,5309 | 49 | 0,5481 | 73 | 0,5555 | 97 | 0,5596 |
| 26 | 0,5320 | 50 | 0,5485 | 74 | 0,5557 | 98 | 0,5598 |
| 27 | 0,5332 | 51 | 0,5489 | 75 | 0,5559 | 99 | 0,5599 |
| 28 | 0,5343 | 52 | 0,5493 | 76 | 0,5561 | 100 | 0,5600 |
| 29 | 0,5353 | 53 | 0,5497 | 77 | 0,5563 | | |
| 30 | 0,5362 | 54 | 0,5501 | 78 | 0,5565 | | |
| 31 | 0,5371 | 55 | 0,5504 | 79 | 0,5567 | | |
| 32 | 0,5380 | 56 | 0,5508 | 80 | 0,5569 | | |
| 33 | 0,5388 | 57 | 0,5511 | 81 | 0,5570 | | |

Tabel 2.4 Reduced Standar Deviation (Sn) (Soewarno, 1995)

| <i>n</i> | <i>Sn</i> | <i>n</i> | <i>Sn</i> | <i>n</i> | <i>Sn</i> | <i>n</i> | <i>Sn</i> |
|----------|-----------|----------|-----------|----------|-----------|----------|-----------|
| 10 | 0,9496 | 33 | 1,1226 | 56 | 1,1696 | 79 | 1,1930 |
| 11 | 0,9676 | 34 | 1,1255 | 57 | 1,1708 | 80 | 1,1938 |
| 12 | 0,9933 | 35 | 1,1285 | 58 | 1,1721 | 81 | 1,1945 |
| 13 | 0,9971 | 36 | 1,1313 | 59 | 1,1734 | 82 | 1,1953 |
| 14 | 1,0095 | 37 | 1,1339 | 60 | 1,1747 | 83 | 1,1959 |
| 15 | 1,0206 | 38 | 1,1363 | 61 | 1,1759 | 84 | 1,1967 |
| 16 | 1,0316 | 39 | 1,1388 | 62 | 1,1770 | 85 | 1,1973 |
| 17 | 1,0411 | 40 | 1,1413 | 63 | 1,1782 | 86 | 1,1980 |
| 18 | 1,0493 | 41 | 1,1436 | 64 | 1,1793 | 87 | 1,1987 |
| 19 | 1,0565 | 42 | 1,1458 | 65 | 1,1803 | 88 | 1,1994 |
| 20 | 1,0628 | 43 | 1,1480 | 66 | 1,1814 | 89 | 1,2001 |
| 21 | 1,0696 | 44 | 1,1499 | 67 | 1,1824 | 90 | 1,2007 |
| 22 | 1,0754 | 45 | 1,1519 | 68 | 1,1834 | 91 | 1,2013 |
| 23 | 1,0811 | 46 | 1,1538 | 69 | 1,1844 | 92 | 1,2020 |
| 24 | 1,0864 | 47 | 1,1557 | 70 | 1,1854 | 93 | 1,2026 |
| 25 | 1,0915 | 48 | 1,1574 | 71 | 1,1863 | 94 | 1,2032 |
| 26 | 1,1961 | 49 | 1,1590 | 72 | 1,1873 | 95 | 1,2038 |
| 27 | 1,1004 | 50 | 1,1607 | 73 | 1,1881 | 96 | 1,2044 |
| 28 | 1,1047 | 51 | 1,1623 | 74 | 1,1890 | 97 | 1,2049 |
| 29 | 1,1086 | 52 | 1,1638 | 75 | 1,1898 | 98 | 1,2055 |
| 30 | 1,1124 | 53 | 1,1658 | 76 | 1,1906 | 99 | 1,2060 |
| 31 | 1,1159 | 54 | 1,1667 | 77 | 1,1915 | 100 | 1,2065 |
| 32 | 1,1193 | 55 | 1,1681 | 78 | 1,1923 | | |

Tabel 2.5 Reduced Variate (Ytr) (Suripin, 2004)

| Periode Ulang | Reduced Variate | Periode Ulang | Reduced Variate |
|---------------|-----------------|---------------|-----------------|
| 2 | 0,3665 | 100 | 4,6012 |
| 5 | 1,5004 | 200 | 5,2969 |
| 10 | 2,2510 | 500 | 6,2149 |
| 20 | 2,9709 | 1000 | 6,9087 |
| 25 | 3,1993 | 5000 | 8,5188 |
| 50 | 3,9028 | 10000 | 9,2121 |

2.1.3. Uji Kecocokan

Uji kecocokan dimaksudkan untuk mengetahui ada tidaknya perbedaan yang nyata antara besarnya debit maksimum tahunan hasil pengamatan lapangan dengan hasil perhitungan. Uji kecocokan dapat dilakukan dengan Uji Chi Kuadrat dan Smirnov-Kolmogorov (Soewarno, 1991).

1. Uji Chi Kuadrat

Uji chi kuadrat menggunakan rumus:

$$X^2 = \sum_{i=1}^N \frac{(O_i - E_i)^2}{E_i} \quad \dots \dots \dots \quad (2.11)$$

dimana,

X^2 = harga chi kuadrat terhitung.

O_i = jumlah nilai pengamatan pada sub kelompok ke-1.

E_i = jumlah nilai teoritis pada sub kelompok ke-1.

N = jumlah data.

(Suripin, 2004).

Suatu distrisbusi dikatakan selaras jika nilai X^2 hitung < dari X^2 kritis. Nilai X^2 kritis dapat dilihat di Tabel 2.6. Dari hasil pengamatan yang didapat dicari penyimpangannya dengan chi kuadrat kritis paling kecil. Untuk suatu nilai nyata tertentu (*level of significant*) yang sering diambil adalah 5%. Derajat kebebasan ini secara umum dihitung dengan rumus sebagai berikut:

$$DK = K - (\alpha + 1) \quad \dots \dots \dots \quad (2.12)$$

$$K = 1 + 3.322 \log n \quad \dots \dots \dots \quad (2.13)$$

$$Ei = n / K \quad \dots \dots \dots \quad (2.14)$$

dimana,

DK = derajat kebebasan.

K = jumlah kelas.

α = banyaknya keterikatan (banyaknya parameter), untuk uji chi-kuadrat adalah 2.

n = jumlah data

Ei = nilai yang diharapkan.

(Triatmodjo, 2008).

Tabel 2.6 Nilai kritis untuk uji kecocokan chi kuadrat
(Soewarno, 1991)

| Df | α Derasajt kepercayaan | | | | | | | |
|----|-------------------------------|---------|---------|---------|--------|--------|--------|--------|
| | 0,995 | 0,99 | 0,975 | 0,95 | 0,05 | 0,025 | 0,01 | 0,005 |
| 1 | 3,9E-05 | 0,00016 | 0,00098 | 0,00393 | 3,841 | 5,024 | 6,635 | 7,879 |
| 2 | 0,01 | 0,0201 | 0,0506 | 0,103 | 5,991 | 7,378 | 9,21 | 10,597 |
| 3 | 0,0717 | 0,115 | 0,216 | 0,352 | 7,815 | 9,348 | 11,345 | 12,838 |
| 4 | 0,207 | 0,297 | 0,484 | 0,711 | 9,488 | 11,143 | 13,277 | 14,86 |
| 5 | 0,412 | 0,554 | 0,831 | 1,145 | 11,07 | 12,832 | 15,086 | 16,75 |
| 6 | 0,676 | 0,872 | 1,237 | 1,635 | 12,592 | 14,449 | 16,812 | 18,548 |
| 7 | 0,989 | 1,239 | 1,69 | 2,167 | 14,067 | 16,013 | 18,475 | 20,278 |
| 8 | 1,344 | 1,646 | 2,18 | 2,733 | 15,507 | 17,535 | 20,09 | 21,955 |
| 9 | 1,735 | 2,088 | 2,7 | 3,325 | 16,919 | 19,023 | 21,666 | 23,589 |
| 10 | 2,156 | 2,558 | 3,247 | 3,94 | 18,307 | 20,483 | 23,209 | 25,188 |
| 11 | 2,603 | 3,053 | 3,816 | 4,575 | 19,675 | 21,92 | 24,725 | 26,757 |
| 12 | 3,074 | 3,571 | 4,404 | 5,226 | 21,026 | 23,337 | 26,217 | 28,3 |
| 13 | 3,565 | 4,107 | 5,009 | 5,892 | 22,362 | 24,736 | 27,688 | 29,819 |
| 14 | 4,075 | 4,66 | 5,629 | 6,571 | 23,685 | 26,119 | 29,141 | 31,319 |
| 15 | 4,601 | 5,229 | 6,262 | 7,261 | 24,996 | 27,488 | 30,578 | 32,801 |
| 16 | 5,142 | 5,812 | 6,908 | 7,962 | 26,296 | 28,845 | 32 | 34,267 |
| 17 | 5,697 | 6,408 | 7,564 | 8,672 | 27,587 | 30,191 | 33,409 | 35,718 |
| 18 | 6,265 | 7,015 | 8,231 | 9,39 | 28,869 | 31,526 | 34,805 | 37,156 |
| 19 | 6,844 | 7,633 | 8,907 | 10,117 | 30,144 | 32,852 | 36,191 | 38,582 |
| 20 | 7,434 | 8,26 | 9,591 | 10,851 | 31,41 | 34,17 | 37,566 | 39,997 |
| 21 | 8,034 | 8,897 | 10,283 | 11,591 | 32,671 | 35,479 | 38,932 | 41,401 |
| 22 | 8,643 | 9,542 | 10,982 | 12,338 | 33,924 | 36,781 | 40,289 | 42,796 |
| 23 | 9,26 | 10,196 | 11,689 | 13,091 | 36,172 | 38,076 | 41,683 | 44,181 |
| 24 | 9,886 | 10,856 | 12,401 | 13,848 | 36,415 | 39,364 | 42,98 | 45,558 |
| 25 | 10,52 | 11,524 | 13,12 | 14,611 | 37,652 | 40,646 | 44,314 | 46,928 |
| 26 | 11,16 | 12,198 | 13,844 | 15,379 | 38,885 | 41,923 | 45,642 | 48,29 |
| 27 | 11,808 | 12,879 | 14,573 | 16,151 | 40,113 | 43,194 | 46,963 | 49,645 |
| 28 | 12,461 | 13,565 | 15,308 | 16,928 | 41,337 | 44,461 | 48,278 | 50,993 |
| 29 | 13,121 | 14,256 | 16,047 | 17,708 | 42,557 | 45,722 | 49,588 | 52,336 |
| 30 | 13,787 | 14,953 | 16,791 | 18,493 | 43,773 | 46,979 | 50,892 | 53,672 |

2. Uji Smirnov-Kolmogorov

Uji kecocokan Smirnov-Kolmogorov, sering juga disebut uji kecocokan non parametrik (*non parametric test*), karena pengujinya tidak menggunakan fungsi distribusi tertentu (Suripin, 2004). Prosedurnya adalah sebagai berikut:

- Urutkan data (dari besar ke kecil atau sebaliknya) dan tentukan besarnya peluang dari masing-masing data tersebut:

$$\begin{aligned} X_1 & P(X_1) \\ X_2 & P(X_2) \\ X_3 & P(X_3) \\ X_4 & P(X_4) \end{aligned}$$

- b. Tentukan nilai masing-masing peluang teoritis dari hasil penggambaran data (persamaan distribusinya):

$$X_1 P'(X_1)$$

$$X_1 P'(X_1)$$

$$X_m P'(X_m)$$

$$X_n P'(X_n)$$

- c. Dari kedua nilai peluang tersebut tentukan selisih terbesarnya antara peluang pengamatan dengan peluang teoritis.

$$D = \text{maksimum} [P(X_m) - P'(X_m)]$$

- d. Berdasarkan Tabel 2.7 nilai kritis (*Smirnov-Kolmogorov test*) tentukan harga D_0 .

Apabila D lebih kecil dari D_0 maka distribusi teoritis yang digunakan untuk menentukan persamaan distribusi dapat diterima, apabila D lebih besar dari D_0 maka distribusi teoritis yang digunakan untuk menentukan persamaan distribusi tidak dapat diterima.

Tabel 2.7 Nilai kritis untuk uji kecocokan Smirnov-Kolmogorof (Soewarno, 1995).

| Jumlah data | α derajat kepercayaan | | | |
|-------------|------------------------------|----------------|----------------|----------------|
| | 0,2 | 0,1 | 0,05 | 0,01 |
| 5 | 0,45 | 0,51 | 0,56 | 0,67 |
| 10 | 0,32 | 0,37 | 0,41 | 0,49 |
| 15 | 0,27 | 0,30 | 0,34 | 0,40 |
| 20 | 0,23 | 0,26 | 0,29 | 0,36 |
| 25 | 0,21 | 0,24 | 0,27 | 0,32 |
| 30 | 0,19 | 0,22 | 0,24 | 0,29 |
| 35 | 0,18 | 0,20 | 0,23 | 0,27 |
| 40 | 0,17 | 0,19 | 0,21 | 0,25 |
| 45 | 0,16 | 0,18 | 0,20 | 0,24 |
| 50 | 0,15 | 0,17 | 0,19 | 0,23 |
| $n > 50$ | $1,07/n^{0,5}$ | $1,22/n^{0,5}$ | $1,36/n^{0,5}$ | $1,63/n^{0,5}$ |

2.1.4. Periode Ulang Hujan

Besarnya curah hujan rencana dipilih berdasarkan pada pertimbangan nilai urgensi dan nilai sosial ekonomi kawasan yang ditinjau. Nilai periode ulang hujan suatu kawasan yang sesuai dengan nilai urgensi dan nilai sosial ekonomi dapat dilihat pada Tabel 2.8.

Tabel 2.8 Periode Ulang Hujan (PUH)

| No | Distribusi | PUH (tahun) |
|----|---|-------------|
| 1 | Saluran Mikro Pada Daerah | |
| | Lahan rumah, taman, kebun, kuburan, lahan tak terbangun | 2 |
| | Kesibukan dan perkantoran | 5 |
| | Perindustrian | |
| | Ringan | 5 |
| | Menengah | 10 |
| | Berat | 25 |
| | Super berat/proteksi negara | 50 |
| 2 | Saluran Tersier | |
| | Resiko kecil | 2 |
| | Resiko besar | 5 |
| 3 | Saluran Sekunder | |
| | Tanda resiko | 2 |
| | Resiko kecil | 5 |
| | Resiko besar | 10 |
| 4 | Saluran Primer (Induk) | |
| | Tanda resiko | 5 |
| | Resiko kecil | 10 |
| | Resiko besar | 25 |
| | Atau : | |
| | Luas DAS (25 A 50) Ha | 5 |
| | Luas DAS (50 A 100) Ha | 5-10 |
| | Luas DAS (100 A 1300) Ha | 10-25 |
| | Luas DAS (1300 A 6500) Ha | 25-50 |
| 5 | Pengendali Banjir Makro | 100 |
| 6 | Gorong-Gorong | |
| | Jalan raya biasa | 10 |
| | Jalan by pass | 25 |
| | Jalan ways | 50 |
| 7 | Saluran Tepian | |
| | Jalan raya biasa | 5-10 |
| | Jalan by pass | 10-25 |
| | Jalan ways | 25-50 |

(SDMP – Surabaya Drainage Master Plan, 2012)

2.1.5. SCS Unit Hydrograph

Hidrograf satuan didefinisikan sebagai hidrograf limpasan langsung yang disebabkan oleh curah hujan efektif dengan intensitas seragam jatuh merata diseluruh DAS dengan durasi tertentu. Volume limpasan akan diestimasi dengan menggunakan metode SCS (*Soil Conservation Service*). Dalam menggunakan cara SCS, volume limpasan dari sebuah DAS yang kejatuhan air hujan ditentukan berdasarkan ciri - ciri dari sub DAS-nya, yang diukur dari peta atau penilaian pada saat pengamatan lapangan.

Parameter - parameter dari sub DAS yang bersangkutan adalah luas, panjang dan kemiringan dari tapak aliran, serta tata guna lahan. Parameter tata guna lahan meliputi komponen yang kedap dan meresap air serta jenis dari komponen yang meresap.

Diantara parameter sub DAS yang paling menentukan untuk volume limpasan adalah persentase luas yang kedap air dan *Curve Number* (CN). CN yang lebih tinggi berarti volume limpasannya juga lebih tinggi, dengan batasan teoritis dari CN = 100 yang berarti sama dengan volume limpasannya 100%.

Penggunaan lahan yang ada telah diinterpretasikan sesuai dengan karakteristik air limpasan yang berbeda, bisa dilihat pada Tabel 2.9 berikut:

Tabel 2.9 Harga CN di Indonesia

| Penggunaan Lahan | <i>Impervious</i> | Serap Air |
|------------------------------------|-------------------|-----------|
| | % | CN |
| Areal pemukiman | | |
| 50 - 150 orang/ha (perumahan baru) | 85 | 74 |
| 50 - 150 orang/ha (perumahan lama) | 70 | 74 |
| 150 - 250 orang/ha | 85 | 79 |
| 250 - 350 orang/ha | 90 | 84 |
| > 350 orang/ha | 95 | 88 |
| Lahan Terbuka | | |

| | | |
|--------------------------------------|-----|----|
| Rerumputan (>75%) | 0 | 74 |
| Campuran (rerumputan 25% - 75%) | 0 | 79 |
| Lain - Lain | | |
| Industri, bisnis, dan perdagangan | 95 | 88 |
| Fasilitas umum / kampus | 70 | 79 |
| Jalan utama, areal parkir mobil, dsb | 100 | 0 |

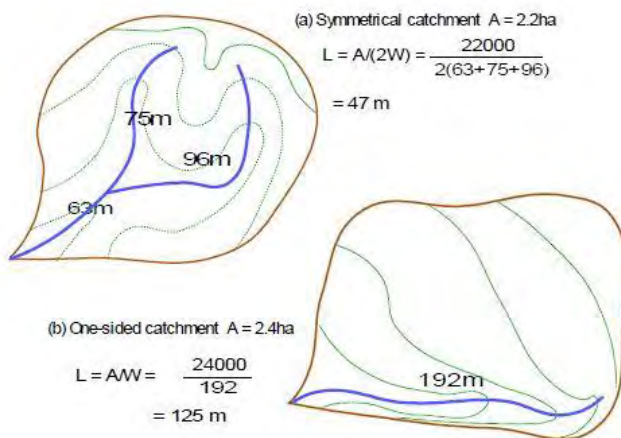
(SDMP – Surabaya Drainage Master Plan, 2012)

Panjang rata - rata dari aliran permukaan dan kemiringan lahan dapat dihitung dari peta. Panjang aliran permukaan untuk catchment simetrik dapat dihitung dengan persamaan:

$$Panjang = \frac{Luas}{2 \times panjangsdurian} \quad \dots \dots \dots (2.15)$$

Sedangkan untuk daerah aliran satu sisi, panjang aliran permukaan dapat dihitung dengan persamaan:

$$Panjang = \frac{Luas}{panjangsaliran} \quad \dots \dots \dots (2.16)$$



Gambar 2.2 Pendekatan perhitungan panjang *overland flow*

Kemiringan dari aliran permukaan adalah kemiringan rata-rata permukaan dari ujung daerah aliran ke saluran utama. Ini tidak berarti bahwa kemiringan tersebut dihitung dari perbedaan ketinggian terbesar dari daerah aliran dibagi dengan panjang dari saluran drainase utama.

SCS membangun persamaan dengan koefisien empirik yang berhubungan dengan elemen - elemen dari unit hidrograf yang mewakili karakteristik dari daerah aliran. *Unit hydrograph* ditentukan oleh elemen - elemen seperti Q_p (cfs), T_p (jam) dan T_b (jam).

$$Q_p = \frac{484 * q * A}{T_p} \quad \dots \dots \dots \quad (2.17)$$

dimana,

Q_p = Debit puncak

q = Hujan efektif (inch)

A = Luas area (mil²)

T_p = Waktu debit puncak (jam)

q dapat dihitung dengan persamaan:

$$q = \frac{(R - 0.2S)^2}{R + 0.8S} \text{ for } R \geq 0.2S \quad \dots \dots \dots \quad (2.18)$$

dimana R = kedalaman hujan (inch).

Jika $R \leq 0.2S$ maka dapat diasumsikan bahwa $q = 0$ yang berarti semua air hujan yang jatuh meresap kedalam tanah.

T_p dapat dihitung dengan persamaan:

$$T_p = \frac{D}{2} + t_L \quad \dots \dots \dots \quad (2.19)$$

dimana,

D = Lamanya hujan (jam)

t_L = *time lag* antara datangnya hujan dengan waktu terjadinya debit puncak (jam)

t_L dapat dihitung dengan persamaan:

$$t_L = \frac{L^{0.8} * (S+1)^{0.7}}{1900 * Y^{0.5}} \quad \dots \dots \dots \quad (2.20)$$

dimana,

L = Panjang overland flow (ft)

S = Retensi maksimum (S = (1000 / CN) - 10)

Y = Kemiringan rata-rata lahan

2.2. Analisa Hidroliko

2.2.1. Kapasitas Saluran

Kapasitas saluran didefinisikan sebagai debit maksimum yang mampu dilewatkan oleh setiap penampang sepanjang saluran. Kapasitas saluran ini, digunakan sebagai acuan untuk menyatakan apakah debit yang direncanakan tersebut mampu untuk ditampung oleh saluran pada kondisi eksisting tanpa terjadi peluapan air (Anggrahini, 2005).

Kapasitas saluran dihitung berdasarkan rumus:

dimana,

Q = debit hidrolika (m^3/s)

n = koefisien kekasaran manning (Tabel 2.10)

R = jari-jari hidrolis saluran (m)

I = kemiringan saluran

A = luas penampang saluran (m^2)

Tabel 2.10 Koefisien Kekasarahan Manning (n)

| Material Saluran | n | | | | | | |
|-----------------------------|--|----------------------------|---------------|-----------------------------|---------------|--------------|---------------|
| Saluran tanpa pasangan | | | | | | | |
| Tanah | 0,020 - 0,025 | | | | | | |
| Pasir dan kerikil | 0,025 - 0,040 | | | | | | |
| Dasar saluran batuan | 0,025 - 0,035 | | | | | | |
| Saluran dengan pasangan | | | | | | | |
| Semen mortar | 0,011 - 0,015 | | | | | | |
| Beton | <table border="1"> <tr> <td>Pasangan batu adukan basah</td> <td>0,022 - 0,026</td> </tr> <tr> <td>Pasangan batu adukan kering</td> <td>0,018 - 0,022</td> </tr> </table> | Pasangan batu adukan basah | 0,022 - 0,026 | Pasangan batu adukan kering | 0,018 - 0,022 | | |
| Pasangan batu adukan basah | 0,022 - 0,026 | | | | | | |
| Pasangan batu adukan kering | 0,018 - 0,022 | | | | | | |
| Saluran pipa | | | | | | | |
| Pipa beton | <table border="1"> <tr> <td>Sentrifugal</td> <td>0,011 - 0,015</td> </tr> <tr> <td>Bergelombang</td> <td>0,011 - 0,015</td> </tr> <tr> <td>Liner plates</td> <td>0,013 - 0,017</td> </tr> </table> | Sentrifugal | 0,011 - 0,015 | Bergelombang | 0,011 - 0,015 | Liner plates | 0,013 - 0,017 |
| Sentrifugal | 0,011 - 0,015 | | | | | | |
| Bergelombang | 0,011 - 0,015 | | | | | | |
| Liner plates | 0,013 - 0,017 | | | | | | |

(SDMP - Surabaya Drainage Master Plan, 2000)

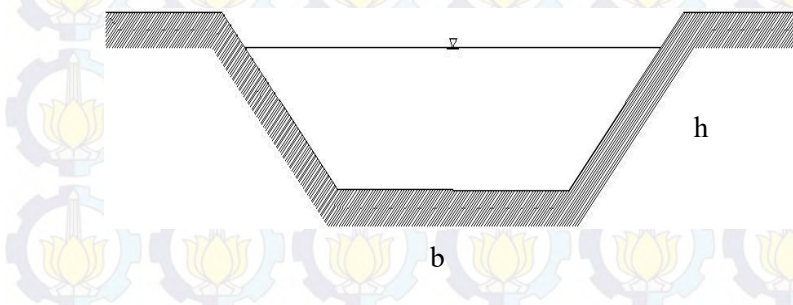
Beberapa bentuk penampang saluran drainase:

1. Penampang Trapezium

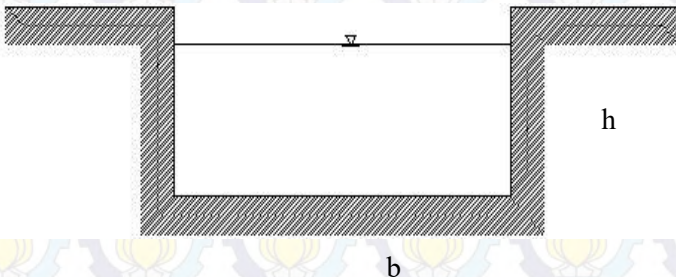
$$A = (b + z \cdot h)h \quad \dots \dots \dots \quad (2.22)$$

$$P = b + 2 \cdot h \times \sqrt{1 + z^2} \quad \dots \dots \dots \quad (2.23)$$

$$R = \frac{A}{P} \quad \dots \dots \dots \quad (2.24)$$



2. Penampang Segi empat



dimana,

A = luas penampang saluran (m^2)

b = lebar dasar saluran (m)

h = tinggi air dalam saluran (m)

z = kemiringan tebing saluran

P = keliling basah saluran (m)

R = jari-jari hidrolis dari penampang saluran (m)

Selain bentuk-bentuk penampang diatas masih banyak lagi bentuk saluran yang merupakan kombinasi dari bentuk-bentuk dasar tersebut dan dibuat sesuai dengan kebutuhannya.

2.2.2. Tinggi Jagaan

Tinggi jagaan suatu saluran adalah jarak vertikal dari puncak tanggul sampai ke permukaan air pada kondisi perencanaan. Besarnya tinggi jagaan minimum dapat dilihat pada Tabel 2.11.

Tabel 2.11 Tinggi Jagaan Minimum

| Komponen | Tinggi jagaan (m) |
|----------------------------------|-------------------|
| Saluran tersier | 0,10 - 0,20 |
| Saluran sekunder | 0,20 - 0,40 |
| Saluran primer | 0,40 - 0,60 |
| Sungai (<i>Basin drainage</i>) | 1,00 |

(SDMP - Surabaya Drainage Master Plan, 2000)

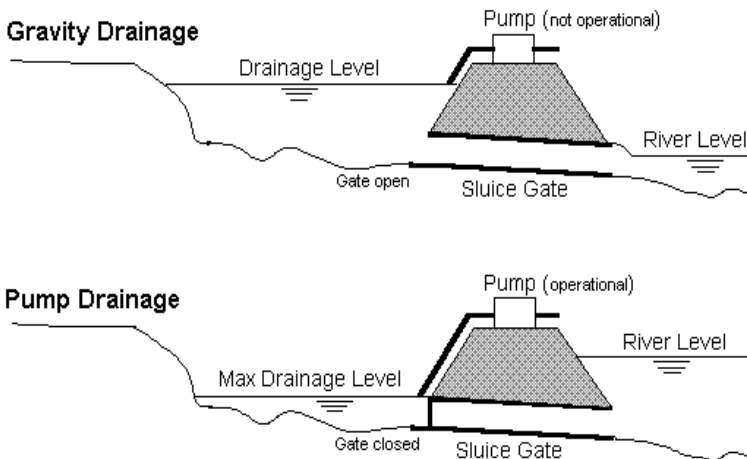
2.2.3. Profil Air Balik (*Backwater*)

Saluran yang mengarah langsung ke laut akan dipengaruhi oleh pasang surut air laut. Ketika air laut pasang muka air di hilir dapat menjadi lebih tinggi daripada muka air di saluran, sehingga air di saluran tidak dapat mengalir. Kondisi disebut dengan *backwater*. Oleh karena itu diperlukan analisa profil *backwater* yang terjadi pada saluran primer.

2.2.4. Kolam Tampung (Boezem)

Boezem digunakan untuk penampungan air sementara ketika muka air di hilir lebih tinggi daripada muka air di saluran. Prinsip kerja boezem merupakan hubungan antara aliran masuk dari saluran-saluran drainase ke boezem (I, inflow), aliran keluar dari boezem (O, outflow), dan volume tampungan dalam boezem (V, storage).

Ketika permukaan air di hilir lebih tinggi daripada permukaan air pada saluran, pintu air pada *outflow* ditutup kemudian pompa digunakan untuk membuang air tampungan pada *storage*. Namun ketika air di hilir lebih rendah daripada air di saluran, pintu air pada *outflow* bisa dibuka untuk kemudian air mengalir dengan bantuan gravitasi. Untuk ilustrasinya bisa dilihat pada Gambar 2.3.



Gambar 2.3 Prinsip kerja boezem

2.3. Program Bantu

Terdapat 2 program bantu dalam penggerjaan Tugas Akhir ini; HEC-HMS dan HEC-RAS. HEC-HMS diperlukan untuk menganalisa hidrologi sedangkan HEC-RAS untuk menganalisa hidrolika.

2.3.1 HEC-HMS

The Hydrologic Modeling System (HMS) merupakan program pemodelan sistem hidrologi yang dimiliki *US Army Corps of Engineers* (USACE) dan dikembangkan oleh *Hydrologic Engineering Center* (HEC) sebagai pengganti dari program terdahulunya yaitu HEC-1. Dengan beberapa *feature* tambahan serta tampilan *graphical user interface* menjadikan HEC-HMS lebih memiliki keunggulan dibandingkan HEC-1.

HEC-HMS dirancang untuk mensimulasikan proses hidrologi secara lengkap dengan sistem DAS akibat input curah hujan dengan merepresentasikan DAS sebagai suatu sistem hidrologi dengan komponen - komponen hidrolika yang saling berhubungan. Program ini mencakup banyak prosedur analisis

hidrologi seperti metode infiltrasi, unit hidrograf, dan hidrologi *routing*. HEC-HMS juga bisa melakukan prosedur yang diperlukan untuk simulasi kontinyu termasuk evapo-transpirasi, pencairan salju, dan perhitungan kelembaban tanah. Kemampuan lain juga tersedia untuk simulasi limpasan grid menggunakan linear *quasi-distributed transform* (ModClark). Alat analisis tambahan juga disediakan untuk estimasi parameter, analisis *depth-area*, erosi dan transportasi sedimen, serta kualitas air bersih.

Program ini memiliki *work environment* yang terintegrasi termasuk *database*, entri data utilitas, mesin komputasi, dan alat hasil pelaporan. *User interface* dengan *icon-icon* yang mudah dipahami memungkinkan pengguna dapat dengan mudah membedakan antara satu *tool* dengan *tool* lainnya. Hasil simulasi disimpan dalam HEC-DSS (*Data Storage System*) dan dapat digunakan dengan *software* lain untuk studi ketersediaan air, drainase perkotaan, perencanaan arus, desain waduk *spillway*, pengurangan kerusakan akibat banjir, dan regulasi daerah banjir. Output yang dihasilkan dari pemodelan HEC-HMS adalah perhitungan hidrograf aliran sungai pada lokasi yang dikehendaki dalam suatu DAS (www.hec.usace.army.mil).

Dalam program HEC-HMS, proses hujan-limpasan yang terjadi dalam suatu DAS dibagi menjadi beberapa komponen model, yaitu:

1. *Precipitation model*, merupakan masukan pada sistem DAS.
2. *Loss model*, untuk menghitung volume *runoff* (hujan efektif).
3. *Direct runoff model*, untuk mentransformasikan dari hujan efektif menjadi limpasan permukaan.
4. *Baseflow model*, untuk menghitung besarnya aliran dasar.
5. *Routing model*, untuk menganalisa penelusuran aliran-aliran dari hulu ke hilir.

Berbagai metode dari komponen model tersebut yang terdapat dalam program HEC-HMS dapat dilihat dari Tabel 2.12 berikut:

Tabel 2.12 Metode program HEC-HMS

| No | Model | Metode |
|----|---------------|---|
| 1 | Precipitation | User hyetograph User gage weighting Inverse-distance gage weights Gridded precipitation Frequency storm Standard project storm |
| 2 | Volume runoff | Initial and constant-rate SCS curve number Gridded SCS curve number Green and Ampt Deficit and constant rate Soil moisture accounting Gridded SMA |
| 3 | Direct runoff | User-specified unit hydrograph Clark's UH Snyder's UH SCS UH Modclarck Kinematic Wave |
| 4 | Baseflow | Constant monthly Exponential recession Linear reservoir |
| 5 | Routing | Kinematic Wave Lag Modified Puls Muskingum Muskingum-Cunge Standard section Muskingum-Cunge 8 point section |

(USACE, 2001)

Sesuai dengan fasilitas yang terdapat dalam HEC-HMS dan pertimbangan parameter-parameter yang dibutuhkan dan faktor ketersediaan data, maka model-model hidrologi yang dipilih dalam analisis adalah sebagai berikut ini (Suhartanto, 2008):

a. Hujan (*Precipitation*)

Metode model hujan yang digunakan untuk masukan (*input*) berupa hujan yang terjadi dalam pemodelan menerus (*continuous model*) yaitu *hyetograph method*. Metode ini dapat memasukkan besaran hujan yang terjadi pada sebuah sub DAS dari luar program. Masukan hujan untuk setiap sub DAS berupa hujan terdistribusi.

b. Volume Aliran (*Volume Runoff*)

Program HEC-HMS didalamnya terdapat suatu model yang digunakan untuk pemodelan menerus (*continuous model*) dalam menentukan volume aliran yaitu *SCS Curve Number*. Model ini beranggapan bahwa hujan yang menghasilkan limpasan merupakan fungsi dari hujan kumulatif, tata guna lahan, jenis tanah, serta kelembaban.

c. Aliran Langsung (*Direct Runoff*)

Model direct runoff yang digunakan dalam model HEC-HMS adalah *SCS Unit Hydrograph*.

d. *Baseflow*

Model *Baseflow* tidak digunakan dalam analisa hidrologi HEC-HMS, maka dipilih *none*. Baseflow akan digunakan saat analisa hidrolika pada program HEC-RAS.

e. *Routing*

Model *Routing* yang digunakan adalah *Kinematic Wave*.

2.3.2 HEC-RAS

River Analysis System (RAS) merupakan program untuk memodelkan aliran di sungai. Dibuat oleh *Hydrologic Engineering Center* (HEC) yang merupakan satu divisi dalam *Institute for Water Resources* (IWR), di bawah *US Army Corps of Engineers* (USACE). Program ini memiliki empat komponen model:

a. *Steady Flow Water Surface Component.*

Model ini berfungsi untuk menghitung profil muka air aliran permanen berubah beraturan (*steady gradually varied flow*). Program mampu memodelkan jaringan sungai, sungai dendritik, maupun sungai tunggal. *Regime* aliran yang dapat dimodelkan adalah aliran sub-kritik, super-kritik, maupun campuran antara keduanya.

Langkah hitungan profil muka air yang dilakukan oleh modul aliran permanen HEC-RAS didasarkan pada penyelesaian persamaan energi. Kehilangan energi dianggap diakibatkan oleh gesekan (Persamaan Manning) dan kontraksi/ekspansi (koefisien dikalikan beda tinggi kecepatan). Persamaan momentum dipakai manakala dijumpai aliran berubah cepat (*rapidly varied flow*), misalnya campuran *regime* aliran sub-kritik dan super-kritik (*hydraulic jump*), aliran melalui jembatan, serta aliran di percabangan sungai (*stream junctions*).

Modul aliran permanen HEC-RAS mampu memperhitungkan pengaruh berbagai hambatan aliran, seperti jembatan (*bridges*), gorong - gorong (*culverts*), bendung (*weirs*), ataupun hambatan di bantaran sungai. Modul aliran permanen dirancang untuk dipakai pada permasalahan pengelolaan bantaran sungai dan penetapan asuransi risiko banjir berkenaan dengan penetapan bantaran sungai dan dataran banjir. Modul aliran permanen dapat pula dipakai untuk perkiraan perubahan muka air akibat perbaikan alur atau pembangunan tanggul.

Fitur spesial modul aliran permanen HEC-RAS mencakup analisis *plan ganda*, hitungan profil ganda, analisis bukaan gorong-gorong atau pintu ganda, optimasi pemisahan aliran, serta desain dan analisis saluran stabil.

b. *Unsteady Flow Simulation.*

Model ini mampu mensimulasikan aliran tak permanen satu dimensi pada sungai yang memiliki alur kompleks. Modul aliran tak permanen HEC-RAS juga dapat menyimulasikan *regime* aliran campuran (sub-kritik, super-kritik, loncat air, dan *draw-downs*).

Bagian program yang menghitung aliran di tampang lintang, jembatan, gorong-gorong, dan berbagai jenis struktur hidrolik lainnya merupakan program yang sama dengan program hitungan yang ada pada model aliran permanen HEC-RAS.

Fitur spesial model aliran tak permanen mencakup analisis *dam-break*, limpasan melalui tanggul dan tanggul jebol, pompa, operasi dam navigasi, serta aliran tekan dalam pipa.

c. *Sediment Transport/Movable Boundary Computations.*

Model ini mampu menyimulasikan transpor sedimen satu dimensi (simulasi perubahan dasar sungai) akibat gerusan atau deposisi dalam waktu yang cukup panjang (umumnya tahunan, namun dapat pula dilakukan simulasi perubahan dasar sungai akibat sejumlah banjir tunggal).

Potensi transpor sedimen dihitung berdasarkan fraksi ukuran butir sedimen sehingga memungkinkan simulasi armoring dan sorting. Fitur utama modul transpor sedimen mencakup kemampuan untuk memodelkan suatu jaringan sungai, *dredging*, berbagai alternatif tanggul, dan pemakaian berbagai persamaan (empiris) transpor sedimen.

d. *Water Quality Analysis.*

Model ini dapat dipakai untuk melakukan analisis kualitas air di sungai. Model ini dapat dipakai untuk melakukan analisis temperatur air serta simulasi transpor beberapa konstituen kualitas air, seperti *Algae*, *Dissolved Oxygen*, *Carbonaceous Biological Oxygen Demand*, *Dissolved Orthophosphate*, *Dissolved Organic Phosphorus*, *Dissolved Ammonium Nitrate*, *Dissolved Nitrite Nitrogen*, *Dissolved Nitrate Nitrogen*, dan *Dissolved Organic Nitrogen*.

Halaman ini sengaja dikosongkan

BAB III **METODOLOGI**

3.1. Studi Literatur

Dalam penggerjaan Tugas Akhir ini, diperlukan kajian literatur guna menunjang pengetahuan tentang saluran drainase. Adapun referensi yang digunakan didapat dari internet, buku perkuliahan, dan berbagai jurnal, serta Tugas Akhir terdahulu.

3.2. Pengumpulan Data

Data-data yang diperlukan dalam penulisan Tugas Akhir ini adalah:

1. Peta jaringan saluran drainase sub catchment Kali Kenjeran dan Kali Kepiting.
2. Peta lokasi.
3. Data hujan.
4. Peta Tata Guna Lahan.
5. Peta Topografi.

3.3. Analisa Data

Untuk mengetahui permasalahan pada sistem drainase sub catchment Kali Kenjeran dan Kali Kepiting perlu dilakukan beberapa analisa sebagai berikut:

1. Analisa Hidrologi
 - a. Analisa hujan rencana:
 - Analisa distribusi statistik.
 - Analisa uji kecocokan distribusi.
 - b. Analisa debit hidrologi:
 - Perhitungan C gabungan.
 - Perhitungan intensitas hujan.
2. Analisa Hidrolika
 - a. Analisa kapasitas saluran berdasarkan debit hidrolika yang direncanakan.
 - b. Penentuan dimensi saluran dengan memperhatikan debit maksimum.

3. Analisa Backwater

Backwater terjadi ketika tinggi permukaan air laut lebih besar daripada tinggi permukaan air di muara aliran saluran. Hal ini menyebabkan air laut masuk ke saluran dan menyebabkan banjir.

4. Perencanaan pompa dan boezem.

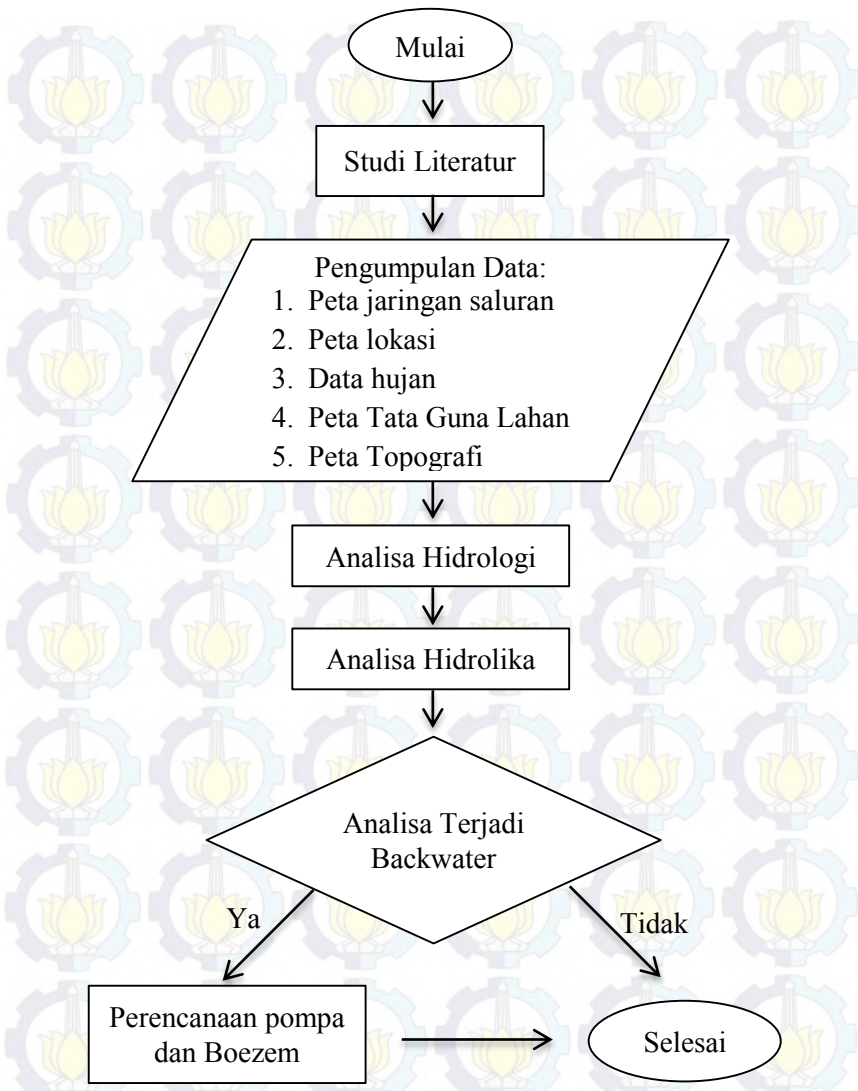
Perencanaan ini dilakukan ketika terjadi backwater pada muara saluran.

3.4. Kesimpulan dan Saran

Mendapatkan kesimpulan akhir berupa perencanaan sistem drainase, dimensi saluran, dan perencanaan boezem jika diperlukan.

3.5. Langkah Pengerjaan

Langkah-langkah pengerjaan Tugas Akhir dapat dilihat dalam bentuk diagram alir dibawah ini:

Flow Chart Penggerjaan Tugas Akhir

Halaman ini sengaja dikosongkan

BAB IV

ANALISA DAN PEMBAHASAN

4.1. Data Primer

Berikut data primer yang sudah diolah agar memudahkan dalam penginputan data pada proses - proses selanjutnya. Tabel 4.1, Tabel 4.2, dan Tabel 4.3 untuk DAS Kali Kenjeran. Tabel 4.4, Tabel 4.5, dan Tabel 4.6 untuk DAS Kali Kepiting.

Tabel 4.1 Saluran Tersier DAS Kali Kenjeran

| Nama Saluran | Kode | Panjang (m) | Outlet |
|-------------------------|------|-------------|--------|
| Sal. Kenjeran Selatan 1 | T1 | 577.83 | S1a |
| Sal. Lebo Agung 2 | T2 | 313.62 | S1b |
| Sal. Lebak Arum Barat | T3 | 1104.54 | S1c |
| Sal. Kenjeran Utara 1 | T4 | 662.94 | P1a |
| Sal. Lebak Arum 1 | T5 | 243.23 | S2a |
| Sal. 714002 | T6 | 158.74 | S2a |
| Sal. Lebak Arum 5 | T7 | 246.87 | S2b |
| Sal. 711802 | T8 | 253.53 | S2b |
| Sal. Karang Asem Barat | T9 | 389.1 | S2c |
| Sal. Karang Asem Timur | T10 | 274.26 | S2c |
| Sal. Kenjeran Utara 2 | T11 | 521.89 | P1b |
| Sal. Pandan Sari Barat | T12 | 134.68 | S3a |
| Sal. Pandan Sari Timur | T13 | 275.21 | S3a |
| Sal. 801900 | T14 | 216.49 | S4a |
| Sal. Kalijudan Madya | T15 | 214.91 | S4b |
| Sal. 800002 | T16 | 96.48 | S4b |
| Sal. Kalijudan Asri | T17 | 164.8 | S3c |
| Sal. Ploso Timur 4 | T18 | 294.92 | S5a |
| Sal. Ploso Timur 1 | T19 | 771.01 | S5b |
| Sal. Karang Asem 11 | T20 | 331.2 | S5c |
| Sal. Karang Asem 4 | T21 | 325.47 | S5d |
| Sal. Karang Empat 5 | T22 | 201.33 | S5e |

| | | | |
|-------------------------|-----|--------|-----|
| Sal. Karang Asem 2 | T23 | 278.83 | S5e |
| Sal. Kalijudan Barat 2 | T24 | 226.13 | S3f |
| Sal. Kalijudan Barat 1 | T25 | 250.11 | S3g |
| Sal. Kenjeran Utara 3 | T26 | 511.33 | P1d |
| Sal. Kenjeran Utara 4 | T27 | 174.99 | P1e |
| Sal. Kenjeran Timur | T28 | 466.92 | S6a |
| Sal. Kol. Udara Sukardi | T29 | 512.73 | S6b |
| Sal. Wiratno 3 | T30 | 257.87 | S6e |
| Sal. Wiratno 2 | T31 | 530.75 | S6f |
| Sal. Burhanudin Saman | T32 | 810.62 | S6f |
| Sal. Wiratno 1 | T33 | 229.71 | S6f |
| Sal. 214000A | T34 | 61.22 | S6g |
| Sal. 212000 | T35 | 57.05 | S7c |
| Sal. 214000 | T36 | 194.96 | S7d |

Tabel 4.2 Saluran Sekunder dan Primer DAS Kali Kenjeran

| Kode | Panjang (m) | Outlet | Kode | Panjang (m) | Outlet |
|------|-------------|--------|------|-------------|--------|
| S1a | 204.88 | S1b | S5e | 546.20 | S5b |
| S1b | 108.24 | S1c | S6a | 39.77 | P1f |
| S1c | 270.35 | P1a | S6b | 75.83 | S6a |
| S2a | 57.35 | P1a | S6c | 573.23 | S6b |
| S2b | 196.83 | S2a | S6d | 190.24 | S6c |
| S2c | 366.38 | S2b | S6e | 157.22 | S6d |
| S3a | 31.44 | P1c | S6f | 21.49 | S6e |
| S3b | 514.23 | S3a | S6g | 586.50 | S6c |
| S3c | 849.81 | S3b | S7a | 683.17 | P1g |
| S3d | 177.37 | S3c | S7b | 155.75 | P7a |
| S3e | 263.15 | S3d | S7c | 431.26 | P7b |
| S3f | 288.60 | S3e | S7d | 143.96 | P7c |
| S3g | 96.96 | S3f | P1a | 524.79 | P1b |
| S4a | 83.76 | S3b | P1b | 435.76 | P1c |
| S4b | 218.75 | S4a | P1c | 141.31 | P1d |

| | | |
|-----|--------|-----|
| S5a | 615.56 | S3e |
| S5b | 323.91 | S5a |
| S5c | 109.13 | S5b |
| S5d | 125.10 | S5c |

| | | |
|-----|--------|------|
| P1d | 208.65 | P1e |
| P1e | 523.46 | P1f |
| P1f | 50.28 | P1g |
| P1g | 989.97 | Laut |

Tabel 4.3 Sub DAS Kali Kenjeran

| Sub-DAS | Kode | Luas (km ²) | Outlet |
|---------|------|-------------------------|--------|
| 750001 | A1 | 0.128 | T1 |
| 750002 | A2 | 0.092 | T2 |
| 751000 | A3 | 0.075 | T3 |
| 100000 | A4 | 0.102 | T4 |
| 714001 | A5 | 0.048 | T5 |
| 714002 | A6 | 0.055 | T6 |
| 711801 | A7 | 0.099 | T7 |
| 711802 | A8 | 0.049 | T8 |
| 709411 | A9 | 0.111 | T9 |
| 709412 | A10 | 0.081 | T10 |
| 104000 | A11 | 0.077 | T11 |
| 108002 | A12 | 0.060 | T12 |
| 108003 | A13 | 0.047 | T13 |
| 801900 | A14 | 0.153 | T14 |
| 800001 | A15 | 0.080 | T15 |
| 800002 | A16 | 0.109 | T16 |
| 612000 | A17 | 0.077 | T17 |
| 505740 | A18 | 0.192 | T18 |
| 502402 | A19 | 0.071 | T19 |
| 501500 | A20 | 0.074 | T20 |
| 500001 | A21 | 0.140 | T21 |
| 450001 | A22 | 0.055 | T22 |
| 450002 | A23 | 0.147 | T23 |

| Sub-DAS | Kode | Luas (km ²) | Outlet |
|---------|------|-------------------------|--------|
| 604180 | A24 | 0.032 | T24 |
| 602650 | A25 | 0.057 | T25 |
| 108001 | A26 | 0.088 | T26 |
| 112000 | A27 | 0.068 | T27 |
| 801301 | A28 | 0.089 | T28 |
| 801302 | A29 | 0.089 | T29 |
| 850004 | A30 | 0.015 | T30 |
| 850003 | A31 | 0.094 | T31 |
| 850001 | A32 | 0.136 | T32 |
| 850002 | A33 | 0.040 | T33 |
| 214000A | A34 | 0.085 | T34 |
| 212000 | A35 | 0.040 | T35 |
| 214000 | A36 | 0.012 | T36 |
| 610000 | B1 | 0.168 | S3d |
| 503360 | B2 | 0.010 | S5b |
| 502401 | B3 | 0.110 | S5b |
| 500002 | B4 | 0.027 | S5d |
| 806210 | B5 | 0.098 | S6c |
| 900002 | B6 | 0.047 | S6c |
| 900001 | B7 | 0.033 | S6d |
| 205440 | B8 | 0.037 | S7a |
| 208000 | B9 | 0.046 | S7b |

Tabel 4.4 Saluran Tersier DAS Kali Kepiting

| Nama Saluran | Kode | Panjang (m) | Outlet |
|------------------------------|------|-------------|--------|
| Sal. Kedung Sroko | T37 | 295.7 | P2b |
| Sal. Pacar Kembang 3 | T38 | 511.06 | S8 |
| Sal. Pacar Kembang 9 | T39 | 426.33 | S8 |
| Sal. Pacar Kembang 5 | T40 | 618.83 | S8 |
| Sal. Perumahan Kali Kepiting | T41 | 182.63 | P2c |
| Sal. Mojo Langru Lor | T42 | 325.54 | P2d |
| Sal. Dharma Husada Utara 4A | T43 | 276.1 | P2e |
| Sal. Perumahan ITS Barat | T44 | 252.78 | P2e |
| Sal. Kalijudan Barat | T45 | 287.4 | P2e |
| Sal. Dharma Husada Utara | T46 | 296.48 | P2f |
| Sal. Dharma Husada Utara 2 | T47 | 267.88 | P2g |
| Sal. 454440A | T48 | 97.82 | S9a |
| Sal. 454440B | T49 | 156.44 | S9a |
| Sal. 454000 | T50 | 107.02 | S9b |
| Sal. Bronggalan 2 | T51 | 404.83 | S9c |
| Sal. Mojoarum | T52 | 198.86 | P2h |
| Sal. Kalijudan Indah Selatan | T53 | 344.71 | S10b |
| Sal. Dharma Husada Indah 13 | T54 | 202.03 | S11a |
| Sal. Mulyorejo Tengah | T55 | 293.25 | S11b |
| Sal. Mulyorejo Barat | T56 | 431.49 | S11c |
| Sal. Dharma Husada Indah | T57 | 328.31 | S11c |
| Sal. Dr Moestopo | T58 | 466.68 | S11d |
| Sal. 404000 | T59 | 99.43 | S11e |
| Sal. Bhakti Husada | T60 | 683.56 | S11f |
| Sal. 402002 | T61 | 151.3 | S11f |
| Sal. PALDAM 5 Brawijaya | T62 | 452.29 | P2l |
| Sal. Kampus C Unair | T63 | 313.92 | S12b |
| Sal. Sutorejo Utara 6 | T64 | 600.17 | S13c |
| Sal. Sutorejo Selatan | T65 | 747.92 | S13d |
| Sal. Sutorejo Prima Tengah 1 | T66 | 354.09 | S13a |

| | | | |
|-------------------------------|-----|---------|------|
| Sal. Sutorejo Prima Tengah 2 | T67 | 365.38 | S13a |
| Sal. Babatan Pantai Timur | T68 | 312.74 | S14a |
| Sal. Babatan Pantai Barat 3 | T69 | 284.53 | S15a |
| Sal. Kalijudan 6 | T70 | 647.7 | S15c |
| Sal. Kalijudan Indah Utara | T71 | 344.71 | S15c |
| Sal. Kalijudan Timur | T72 | 341.02 | S15c |
| Sal. Babatan Permai Utara 9 | T73 | 280.3 | S14c |
| Sal. Babatan Permai (TIMUR) | T74 | 440.2 | S14d |
| Sal. Babatan Permai (SELATAN) | T75 | 358.21 | S14d |
| Sal. Babatan Pantai 3 | T76 | 425.58 | S14d |
| Sal. Raya Mulyosari 1 | T77 | 892.48 | P2q |
| Sal. Raya Mulyosari 2 | T78 | 484.97 | P2q |
| Sal. Babatan Pantai 6 | T79 | 288.54 | S16b |
| Sal. Mulyosari Timur | T80 | 688.65 | P2r |
| Sal. Mulyosari Prima 1 | T81 | 587.27 | S17a |
| Sal. Mulyosari BPD | T82 | 665.4 | S17b |
| Sal. Bhaskara Selatan | T83 | 336.02 | S17c |
| Sal. Laguna Indah Utara 1 | T84 | 481.29 | P2t |
| Sal. Laguna Indah Utara 2 | T85 | 497.48 | P2u |
| Sal. Laguna Indah Selatan | T86 | 1049.96 | P2u |

Tabel 4.5 Saluran Sekunder dan Primer DAS Kali Kepiting

| Kode | Panjang (m) | Outlet | Kode | Panjang (m) | Outlet |
|------|-------------|--------|------|-------------|--------|
| S8 | 264.44 | P2b | S16b | 577.15 | S16a |
| S9a | 846.84 | P2g | S16c | 315.00 | S16b |
| S9b | 96.87 | S9a | S17a | 319.97 | P2t |
| S9c | 353.39 | S9b | S17b | 223.94 | S17a |
| S10a | 125.26 | P2j | S17c | 399.46 | S17b |
| S10b | 253.43 | S10a | P2a | 334.91 | P2b |
| S10c | 234.50 | S10b | P2b | 264.78 | P2c |
| S11a | 267.87 | P2k | P2c | 135.39 | P2d |
| S11b | 101.04 | S11a | P2d | 316.21 | P2e |

| | | | | | | |
|------|--------|------|--|-----|--------|------|
| S11c | 451.76 | S11b | | P2e | 153.89 | P2f |
| S11d | 617.99 | S11c | | P2f | 129.78 | P2g |
| S11e | 237.89 | S11d | | P2g | 357.75 | P2h |
| S11f | 231.00 | S11e | | P2h | 197.74 | P2i |
| S12a | 601.43 | P2m | | P2i | 110.18 | P2j |
| S12b | 145.88 | S12a | | P2j | 174.75 | P2k |
| S13a | 150.39 | P2o | | P2k | 54.43 | P2l |
| S13b | 552.61 | S13a | | P2l | 826.85 | P2m |
| S13c | 349.68 | S13b | | P2m | 328.76 | P2n |
| S13d | 282.25 | S13c | | P2n | 257.70 | P2o |
| S14a | 118.03 | P2p | | P2o | 187.65 | P2p |
| S14b | 141.65 | S14a | | P2p | 113.48 | P2q |
| S14c | 102.93 | S14b | | P2q | 297.93 | P2r |
| S14d | 161.71 | S14c | | P2r | 397.91 | P2s |
| S15a | 301.21 | S14b | | P2s | 227.44 | P2t |
| S15b | 296.18 | S15a | | P2t | 75.34 | P2u |
| S15c | 241.27 | S15b | | P2u | 315.11 | Laut |
| S16a | 369.53 | P2s | | | | |

Tabel 4.6 Sub DAS Kali Kepiting

| Sub-DAS | Kode | Luas (km ²) | Outlet | Sub-DAS | Kode | Luas (km ²) | Outlet |
|---------|------|-------------------------|--------|---------|------|-------------------------|--------|
| 106830 | A37 | 0.048 | T37 | 750001B | A75 | 0.053 | T75 |
| 302002 | A38 | 0.098 | T38 | 750002 | A76 | 0.049 | T76 |
| 302001 | A39 | 0.070 | T39 | 142001 | A77 | 0.082 | T77 |
| 302003 | A40 | 0.099 | T40 | 142002 | A78 | 0.143 | T78 |
| 110001 | A41 | 0.105 | T41 | 203000 | A79 | 0.081 | T79 |
| 110002 | A42 | 0.065 | T42 | 145150 | A80 | 0.116 | T80 |
| 114003 | A43 | 0.082 | T43 | 810000 | A81 | 0.216 | T81 |
| 114001 | A44 | 0.021 | T44 | 807000 | A82 | 0.184 | T82 |
| 114002 | A45 | 0.020 | T45 | 803001 | A83 | 0.075 | T83 |
| 116002 | A46 | 0.059 | T46 | 150002 | A84 | 0.122 | T84 |
| 117000 | A47 | 0.143 | T47 | 150001 | A85 | 0.195 | T85 |

| | | | | | | | |
|---------|-----|-------|-----|--------|-----|-------|------|
| 454440A | A48 | 0.044 | T48 | 150004 | A86 | 0.725 | T86 |
| 454440B | A49 | 0.042 | T49 | 100250 | B10 | 0.029 | P2a |
| 454000 | A50 | 0.029 | T50 | 103600 | B11 | 0.019 | P2a |
| 450001 | A51 | 0.099 | T51 | 458000 | B12 | 0.119 | P2e |
| 120002 | A52 | 0.100 | T52 | 116001 | B13 | 0.046 | P2g |
| 692001 | A53 | 0.086 | T53 | 456000 | B14 | 0.073 | S9a |
| 419720 | A54 | 0.060 | T54 | 450002 | B15 | 0.028 | S9c |
| 418720 | A55 | 0.148 | T55 | 120001 | B16 | 0.067 | P2i |
| 413001 | A56 | 0.054 | T56 | 692002 | B17 | 0.105 | S10a |
| 413002 | A57 | 0.028 | T57 | 699000 | B18 | 0.085 | S10b |
| 407000 | A58 | 0.038 | T58 | 694000 | B19 | 0.140 | S10c |
| 404000 | A59 | 0.073 | T59 | 503500 | B20 | 0.498 | S12a |
| 402001 | A60 | 0.092 | T60 | 500002 | B21 | 0.170 | S12b |
| 402002 | A61 | 0.026 | T61 | 606000 | B22 | 0.029 | S13b |
| 128000 | A62 | 0.103 | T62 | 603000 | B23 | 0.151 | S13c |
| 500001 | A63 | 0.132 | T63 | 137870 | B24 | 0.034 | P2n |
| 600002 | A64 | 0.123 | T64 | 710002 | B25 | 0.043 | S14b |
| 600001 | A65 | 0.174 | T65 | 705801 | B26 | 0.031 | S15a |
| 612211 | A66 | 0.087 | T66 | 705803 | B27 | 0.116 | S15a |
| 612212 | A67 | 0.076 | T67 | 708000 | B28 | 0.079 | S15a |
| 710001 | A68 | 0.083 | T68 | 703002 | B29 | 0.119 | S15b |
| 705802 | A69 | 0.087 | T69 | 703001 | B30 | 0.024 | S15c |
| 700001 | A70 | 0.151 | T70 | 204650 | B31 | 0.035 | S16c |
| 700002 | A71 | 0.076 | T71 | 210001 | B32 | 0.050 | S16a |
| 700003 | A72 | 0.157 | T72 | 210002 | B33 | 0.064 | S16a |
| 709000 | A73 | 0.031 | T73 | 150003 | B34 | 0.094 | P2t |
| 750001A | A74 | 0.066 | T74 | 803002 | B35 | 0.046 | S17c |

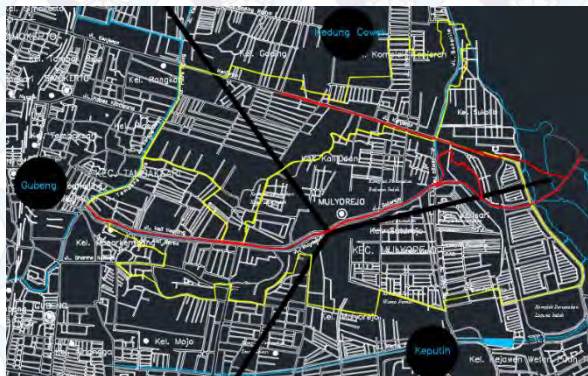
4.2. Analisa Hidrologi

Analisa Hidrologi dilakukan untuk mengetahui karakteristik hidrologi di wilayah DAS Kali Kepiting dan Kali Kenjeran Surabaya. Hasil yang diperoleh dari analisa hidrologi ini adalah besarnya debit rencana untuk perencanaan dimensi saluran. Data yang diperlukan untuk menentukan besarnya debit rencana

diperoleh dari data hujan di stasiun - stasiun hujan yang berpengaruh pada DAS Kali kepiting dan Kali Kenjeran.

4.2.1. Analisa Data Hujan

Dalam pelaksanaan analisa data hujan, langkah pertama yang dilakukan adalah mengolah data hujan dari stasiun - stasiun hujan yang berpengaruh pada DAS Kali Kepiting dan Kali Kenjeran. Untuk mengetahui stasiun - stasiun hujan yang berpengaruh dilakukan dengan menggunakan Metode Poligon Thiessen. Dapat dilihat pada Gambar 4.1, stasiun - stasiun hujan yang berpengaruh adalah Stasiun Hujan Kedung Cowek, Stasiun Hujan Gubeng, dan Stasiun Hujan Keputih.



Gambar 4.1 Poligon Thiessen DAS
Kali Kepiting dan Kali Kenjeran

Metode Poligon Thiessen memperhitungkan faktor pembobot (*weighting factor*) atau disebut koefisien Thiessen yang merupakan perbandingan antara luas daerah pengaruh satu stasiun hujan dengan luas DAS keseluruhan. Besarnya luas pengaruh stasiun beserta koefisien Thiessen (W) dari masing - masing stasiun hujan terdapat dalam Tabel 4.7.

Tabel 4.7 Koefisien Thiessen (W)

| Stasiun Hujan | Luas pengaruh stasiun (m^2) | Koefisien Thiessen (W) |
|-------------------|---------------------------------|------------------------|
| Kedung Cowek | 3.000.539,653 | 0,269 |
| Gubeng | 4.043.648,498 | 0,363 |
| Keputih | 4.092.577,256 | 0,367 |
| LUAS TOTAL | 11.136.765,406 | |

(Sumber: Hasil perhitungan)

Langkah selanjutnya adalah mencari curah hujan harian maksimum dari masing - masing stasiun. Curah hujan maksimum pada Stasiun Hujan Kedung Cowek, Stasiun Hujan Gubeng, dan Stasiun Hujan Keputih dapat dilihat pada Tabel 4.8, Tabel 4.9, dan Tabel 4.10.

Tabel 4.8 Curah Hujan Maksimum Stasiun Hujan Kedung Cowek

| Tahun | Curah Hujan Harian Maksimum Tiap Bulan | | | | | | | | | | | |
|-------|--|-----|-----|-----|-----|------|------|-------|------|-----|-----|-----|
| | Jan | Feb | Mar | Apr | Mei | Juni | Juli | Agust | Sept | Okt | Nov | Des |
| 2005 | 46 | 42 | 52 | 20 | 12 | 15 | 39 | 10 | 0 | 30 | 28 | 64 |
| 2006 | 71 | 62 | 54 | 60 | 15 | 3 | 0 | 0 | 0 | 0 | 0 | 72 |
| 2007 | 59 | 45 | 64 | 10 | 14 | 12 | 0 | 0 | 0 | 0 | 0 | 56 |
| 2008 | 84 | 48 | 45 | 0 | 12 | 0 | 0 | 0 | 0 | 17 | 52 | 63 |
| 2009 | 63 | 43 | 59 | 39 | 45 | 51 | 0 | 0 | 0 | 0 | 41 | 100 |
| 2010 | 70 | 122 | 55 | 48 | 45 | 25 | 30 | 18 | 25 | 42 | 18 | 123 |
| 2011 | 31 | 30 | 73 | 70 | 40 | 50 | 0 | 0 | 0 | 10 | 79 | 43 |
| 2012 | 50 | 42 | 23 | 26 | 17 | 7 | 0 | 0 | 0 | 9 | 19 | 51 |
| 2013 | 46 | 40 | 49 | 61 | 36 | 53 | 61 | 0 | 0 | 0 | 24 | 73 |
| 2014 | 45 | 61 | 57 | 42 | 21 | 19 | 3 | 0 | 0 | 0 | 17 | 62 |

(Sumber: Dinas Pengairan Surabaya)

Tabel 4.9 Curah Hujan Maksimum Stasiun Hujan Gubeng

| Tahun | Curah Hujan Harian Maksimum Tiap Bulan | | | | | | | | | | | |
|-------|--|-----|-----|-----|-----|------|------|-------|------|-----|-----|-----|
| | Jan | Feb | Mar | Apr | Mei | Juni | Juli | Agust | Sept | Okt | Nov | Des |
| 2005 | 63 | 88 | 89 | 37 | 31 | 60 | 79 | 46 | 5 | 26 | 16 | 89 |
| 2006 | 106 | 96 | 61 | 44 | 38 | 6 | 0 | 0 | 0 | 0 | 11 | 88 |
| 2007 | 39 | 79 | 101 | 9 | 39 | 74 | 6 | 0 | 0 | 0 | 15 | 104 |
| 2008 | 92 | 47 | 80 | 23 | 66 | 0 | 0 | 0 | 0 | 46 | 67 | 98 |
| 2009 | 59 | 75 | 60 | 43 | 53 | 73 | 0 | 0 | 0 | 0 | 86 | 57 |
| 2010 | 65 | 83 | 60 | 60 | 3 | 22 | 28 | 25 | 37 | 62 | 22 | 106 |
| 2011 | 41 | 42 | 78 | 74 | 37 | 0 | 6 | 0 | 0 | 21 | 81 | 58 |
| 2012 | 69 | 60 | 25 | 24 | 21 | 14 | 0 | 0 | 0 | 24 | 30 | 68 |
| 2013 | 99 | 48 | 79 | 90 | 87 | 51 | 65 | 0 | 0 | 0 | 47 | 99 |
| 2014 | 54 | 78 | 78 | 45 | 24 | 24 | 24 | 0 | 0 | 0 | 24 | 109 |

(Sumber: Dinas Pengairan Surabaya)

Tabel 4.10 Curah Hujan Maksimum Stasiun Hujan Keputih

| Tahun | Curah Hujan Harian Maksimum Tiap Bulan | | | | | | | | | | | |
|-------|--|-----|-----|-----|-----|------|------|-------|------|-----|-----|-----|
| | Jan | Feb | Mar | Apr | Mei | Juni | Juli | Agust | Sept | Okt | Nov | Des |
| 2005 | 50 | 47 | 78 | 23 | 44 | 30 | 45 | 20 | 0 | 20 | 26 | 110 |
| 2006 | 140 | 57 | 60 | 58 | 30 | 5 | 0 | 0 | 0 | 0 | 0 | 80 |
| 2007 | 75 | 50 | 55 | 20 | 17 | 15 | 0 | 0 | 0 | 0 | 84 | 127 |
| 2008 | 86 | 90 | 50 | 0 | 15 | 0 | 0 | 0 | 0 | 33 | 75 | 60 |
| 2009 | 120 | 50 | 84 | 15 | 25 | 50 | 0 | 0 | 0 | 0 | 16 | 50 |
| 2010 | 40 | 46 | 52 | 35 | 35 | 25 | 9 | 10 | 25 | 46 | 46 | 90 |
| 2011 | 26 | 47 | 30 | 54 | 31 | 0 | 0 | 0 | 0 | 23 | 78 | 57 |
| 2012 | 85 | 67 | 35 | 30 | 24 | 0 | 0 | 0 | 0 | 4 | 47 | 64 |
| 2013 | 66 | 50 | 53 | 80 | 70 | 52 | 65 | 0 | 0 | 0 | 30 | 62 |
| 2014 | 65 | 70 | 67 | 60 | 0 | 0 | 0 | 0 | 0 | 0 | 30 | 134 |

(Sumber: Dinas Pengairan Surabaya)

Dari Tabel 4.8, Tabel 4.9, dan Tabel 4.10 di atas, diperoleh curah hujan maksimum tahunan dari tiap stasiun. Hasil rekapitulasi tersebut dapat dilihat pada Tabel 4.11.

Tabel 4.11 Rekapitulasi Curah Hujan Tahunan
Maksimum tiap Stasiun

| Tahun | Kedung Cowek (mm) | Gubeng (mm) | Keputih (mm) |
|-------|-------------------|-------------|--------------|
| 2005 | 64 | 89 | 110 |
| 2006 | 72 | 106 | 140 |
| 2007 | 64 | 104 | 127 |
| 2008 | 84 | 98 | 90 |
| 2009 | 100 | 86 | 120 |
| 2010 | 123 | 106 | 90 |
| 2011 | 79 | 81 | 78 |
| 2012 | 51 | 69 | 85 |
| 2013 | 73 | 99 | 80 |
| 2014 | 62 | 109 | 134 |

(Sumber: Dinas Pengairan Surabaya)

Langkah selanjutnya adalah melakukan perhitungan curah hujan rata - rata dengan cara mengalikan Koefisien Thiessen dengan curah hujan maksimum pada masing - masing stasiun hujan. Kemudian hasil dari perkalian tersebut dijumlahkan untuk mendapatkan hujan rata - rata. Karena terdapat tiga stasiun hujan yang berpengaruh terhadap DAS Kali Kepiting dan Kali Kenjeran, maka dilakukan perhitungan sebanyak tiga kali.

Perhitungan pertama dilakukan dengan mangacu kepada curah hujan maksimum Stasiun Hujan Kedung Cowek yang terdapat pada Tabel 4.12. Perhitungan kedua dilakukan dengan mangacu kepada curah hujan maksimum Stasiun Hujan Gubeng yang terdapat pada Tabel 4.13. Perhitungan ketiga dilakukan dengan mangacu kepada curah hujan maksimum Stasiun Hujan Keputih yang terdapat pada Tabel 4.14.

Contoh perhitungan yang mengacu kepada curah hujan maksimum Stasiun Hujan Kedung Cowek pada tahun 2005:

Pada tahun 2005 Stasiun Hujan Kedung Cowek didapatkan nilai hujan maksimum sebesar 64 mm. Kemudian pada tanggal yang sama (15 Desember) diambil nilai curah hujan pada Stasiun Hujan Gubeng dan Stasiun Hujan Keputih, yaitu sebesar 31 mm dan 110 mm. Nilai inilah yang dipakai untuk perhitungan yang mengacu kepada Stasiun Hujan Kedung Cowek. Sama halnya dengan perhitungan dengan acuan Stasiun Hujan Gubeng maupun Stasiun Hujan Keputih. Diambil nilai yang sama tanggallnya dengan mengacu pada stasiun hujan yang dijadikan acuan.

Tabel 4.12 Perhitungan Hujan Rata - Rata berdasarkan Stasiun Hujan Kedung Cowek

| Tanggal | Tahun | Kedung Cowek | | Gubeng | | Keputih | | R_{tot} (mm) |
|---------|-------|--------------|------------------|--------|------------------|---------|------------------|----------------|
| | | R_1 | $W_1 \times R_1$ | R_2 | $W_2 \times R_2$ | R_3 | $W_3 \times R_3$ | |
| 15 Des | 2005 | 64 | 17.243 | 31 | 11.256 | 110 | 40.423 | 68.922 |
| 30 Des | 2006 | 72 | 19.399 | 88 | 31.952 | 80 | 29.399 | 80.749 |
| 31 Mar | 2007 | 64 | 17.243 | 70 | 25.416 | 0 | 0 | 42.660 |
| 16 Jan | 2008 | 84 | 22.632 | 92 | 33.404 | 86 | 31.604 | 87.640 |
| 5 Des | 2009 | 100 | 26.943 | 13 | 4.720 | 0 | 0 | 31.663 |
| 3 Des | 2010 | 123 | 33.139 | 106 | 38.488 | 90 | 33.074 | 104.701 |
| 9 Nov | 2011 | 79 | 21.285 | 81 | 29.410 | 78 | 28.664 | 79.359 |
| 27 Des | 2012 | 51 | 13.741 | 68 | 24.690 | 64 | 23.519 | 61.950 |
| 13 Des | 2013 | 73 | 19.668 | 0 | 0 | 0 | 0 | 19.668 |
| 6 Des | 2014 | 62 | 16.704 | 61 | 22.148 | 10 | 3.675 | 42.528 |

(Sumber: Hasil perhitungan)

Tabel 4.13 Perhitungan Hujan Rata - Rata berdasarkan Stasiun Hujan Gubeng

| Tanggal | Tahun | Kedung Cowek | | Gubeng | | Keputih | | R_{tot} (mm) |
|---------|-------|--------------|------------------|--------|------------------|---------|------------------|----------------|
| | | R_1 | $W_1 \times R_1$ | R_2 | $W_2 \times R_2$ | R_3 | $W_3 \times R_3$ | |
| 8 Mar | 2005 | 52 | 14.010 | 89 | 32.315 | 78 | 28.664 | 74.989 |
| 14 Jan | 2006 | 50 | 13.471 | 106 | 38.488 | 80 | 29.399 | 81.358 |
| 18 Des | 2007 | 48 | 12.932 | 104 | 37.761 | 50 | 18.374 | 69.068 |
| 14 Des | 2008 | 37 | 9.969 | 98 | 35.583 | 35 | 12.862 | 58.414 |
| 28 Nov | 2009 | 30 | 8.083 | 86 | 31.226 | 16 | 5.880 | 45.188 |
| 3 Des | 2010 | 123 | 33.139 | 106 | 38.488 | 90 | 33.074 | 104.701 |
| 9 Nov | 2011 | 79 | 21.285 | 81 | 29.410 | 78 | 28.664 | 79.359 |
| 1 Jan | 2012 | 50 | 13.471 | 69 | 25.053 | 72 | 26.459 | 64.983 |
| 2 Jan | 2013 | 43 | 11.585 | 99 | 35.946 | 30 | 11.025 | 58.556 |
| 19 Des | 2014 | 45 | 12.124 | 109 | 39.577 | 134 | 49.243 | 100.944 |

(Sumber: Hasil perhitungan)

Tabel 4.14 Perhitungan Hujan Rata - Rata berdasarkan Stasiun Hujan Keputih

| Tanggal | Tahun | Kedung Cowek | | Gubeng | | Keputih | | R_{tot} (mm) |
|---------|-------|--------------|------------------|--------|------------------|---------|------------------|----------------|
| | | R_1 | $W_1 \times R_1$ | R_2 | $W_2 \times R_2$ | R_3 | $W_3 \times R_3$ | |
| 15 Des | 2005 | 64 | 17.243 | 31 | 11.256 | 110 | 40.423 | 68.922 |
| 4 Jan | 2006 | 71 | 19.129 | 65 | 23.601 | 140 | 51.448 | 94.178 |
| 17 Des | 2007 | 0 | 0 | 0 | 0 | 127 | 46.670 | 46.670 |
| 25 Feb | 2008 | 48 | 12.932 | 11 | 3.994 | 90 | 33.074 | 50.000 |
| 9 Jan | 2009 | 51 | 13.741 | 58 | 21.059 | 120 | 44.098 | 78.898 |
| 3 Des | 2010 | 123 | 33.139 | 106 | 38.488 | 90 | 33.074 | 104.701 |
| 9 Nov | 2011 | 79 | 21.285 | 81 | 29.410 | 78 | 28.664 | 79.359 |
| 30 Jan | 2012 | 57 | 15.357 | 25 | 9.077 | 85 | 31.236 | 55.671 |
| 23 Apr | 2013 | 61 | 16.435 | 90 | 32.678 | 80 | 29.399 | 78.512 |
| 19 Des | 2014 | 45 | 12.124 | 109 | 39.577 | 134 | 49.243 | 100.944 |

(Sumber: Hasil perhitungan)

Berdasarkan perhitungan yang ditunjukkan pada Tabel 4.12, Tabel 4.13, dan Tabel 4.14 diperoleh nilai curah hujan rata - rata sesuai dengan masing - masing acuannya. Nilai curah hujan rata - rata ini selanjutnya dibandingkan satu sama lain untuk kemudian diambil nilai yang terbesar atau maksimum tiap tahunnya. Nilai curah hujan rata - rata maksimum (R_{max}) inilah yang akan digunakan untuk perhitungan selanjutnya. Curah hujan rata - rata maksimum tiap tahun dapat dilihat pada Tabel 4.15.

Tabel 4.15 Curah Hujan Rata - Rata Maksimum

| Tahun | R_{tot} (mm) | | | R_{max} yang diambil |
|-------|-----------------|---------|---------|------------------------------|
| | Kedung Cowek | Gubeng | Keputih | |
| 2005 | 68.922 | 74.989 | 68.922 | 74.989 |
| 2006 | 80.749 | 81.358 | 94.178 | 94.178 |
| 2007 | 42.660 | 69.068 | 46.670 | 69.068 |
| 2008 | 87.640 | 58.414 | 50.000 | 87.640 |
| 2009 | 31.663 | 45.188 | 78.898 | 78.898 |
| 2010 | 104.701 | 104.701 | 104.701 | 104.701 |
| 2011 | 79.359 | 79.359 | 79.359 | 79.359 |
| 2012 | 61.950 | 64.983 | 55.671 | 64.983 |
| 2013 | 19.668 | 58.556 | 78.512 | 78.512 |
| 2014 | 42.528 | 100.944 | 100.944 | 100.944 |

(Sumber: Hasil perhitungan)

4.2.2. Analisa Frekuensi

Analisa frekuensi ini dilakukan untuk mendapatkan nilai hujan rencana. Analisa ini menggunakan teori *probability distribution* seperti yang sudah dijelaskan pada Bab II, antara lain Distribusi Normal, Distribusi Log Normal, Distribusi Log Pearson Tipe III, dan Distribusi Gumbel Tipe I. Secara sistematis

perhitungan hujan rencana dilakukan secara berurutan sebagai berikut:

1. Penentuan parameter statistik

Parameter statistik yang digunakan meliputi parameter nilai rata - rata (\bar{X}), simpangan baku (S_d), koefisien variasi (C_v), koefisien kemiringan (C_s), dan koefisien kurtosis (C_k). Hasil dari parameter statistik ini sangat penting untuk mengetahui sifat dari distribusi yang akan dipakai.

Untuk mempermudah perhitungan, nilai R_{max} diurutkan terlebih dahulu dari nilai terbesar sampai nilai terkecil. Perhitungan parameter statistik dapat dilihat pada Tabel 4.16 untuk Distribusi Normal dan Distribusi Gumbel Tipe I. Parameter statistik untuk Distribusi Log Normal dan Distribusi Log Pearson Tipe III dapat dilihat pada Tabel 4.17.

Tabel 4.16 Perhitungan Parameter Statistik untuk Distribusi Normal dan Distribusi Gumbel Tipe I

| No | Tahun | R_{maks} (mm) | $R_m - R_r$ | $(R_m - R_r)^2$ | $(R_m - R_r)^3$ | $(R_m - R_r)^4$ |
|----------------------|-------|--------------------|-------------|-----------------|-----------------|-----------------|
| 1 | 2010 | 104.701 | 21.362 | 456.348 | 9748.633 | 208253.186 |
| 2 | 2014 | 100.944 | 17.606 | 309.956 | 5456.955 | 96072.819 |
| 3 | 2006 | 94.178 | 10.840 | 117.497 | 1273.620 | 13805.529 |
| 4 | 2008 | 87.640 | 4.301 | 18.503 | 79.588 | 342.347 |
| 5 | 2011 | 79.359 | -3.980 | 15.837 | -63.022 | 250.798 |
| 6 | 2009 | 79.010 | -4.329 | 18.737 | -81.103 | 351.063 |
| 7 | 2013 | 78.512 | -4.826 | 23.294 | -112.428 | 542.627 |
| 8 | 2005 | 74.989 | -8.349 | 69.711 | -582.040 | 4859.639 |
| 9 | 2007 | 69.068 | -14.270 | 203.639 | -2905.970 | 41468.809 |
| 10 | 2012 | 64.983 | -18.355 | 336.901 | -6183.781 | 113502.515 |
| TOTAL | | 833.382 | | 1570.422 | 6630.451 | 479449.332 |
| R_r | | 83.338 | | | | |

(Sumber: Hasil perhitungan)

$$\bar{X} = \frac{833,382}{10} = 83,338$$

$$Sd = \sqrt{\frac{1570,422}{10 - 1}} = 13,210$$

$$Cv = \frac{13,210}{83,338} = 0,159$$

$$Cs = \frac{10 \times 6630,451}{(10 - 1)(10 - 2) 13,210^3} = 0,400$$

$$Ck = \frac{10^2 \times 479449,332}{(10 - 1)(10 - 2)(10 - 3) 13,210^4} = 3,124$$

Tabel 4.17 Perhitungan Parameter Statistik untuk Distribusi Log Normal dan Distribusi Log Pearson Tipe III

| No | Tahun | R _{maks} (mm) | Log R | Log (R-R _{rata}) | Log (R-R _{rata}) ² | Log (R-R _{rata}) ³ | Log (R-R _{rata}) ⁴ |
|----------------|-------|---------------------------|-------|-------------------------------|--|--|--|
| 1 | 2010 | 104.701 | 2.020 | 0.104 | 1.08E-02 | 1.12E-03 | 1.17E-04 |
| 2 | 2014 | 100.944 | 2.004 | 0.088 | 7.76E-03 | 6.83E-04 | 6.02E-05 |
| 3 | 2006 | 94.178 | 1.974 | 0.058 | 3.36E-03 | 1.95E-04 | 1.13E-05 |
| 4 | 2008 | 87.640 | 1.943 | 0.027 | 7.13E-04 | 1.90E-05 | 5.09E-07 |
| 5 | 2011 | 79.359 | 1.900 | -0.016 | 2.69E-04 | -4.41E-06 | 7.24E-08 |
| 6 | 2009 | 79.010 | 1.898 | -0.018 | 3.35E-04 | -6.14E-06 | 1.13E-07 |
| 7 | 2013 | 78.512 | 1.895 | -0.021 | 4.44E-04 | -9.34E-06 | 1.97E-07 |
| 8 | 2005 | 74.989 | 1.875 | -0.041 | 1.68E-03 | -6.89E-05 | 2.83E-06 |
| 9 | 2007 | 69.068 | 1.839 | -0.077 | 5.89E-03 | -4.52E-04 | 3.46E-05 |
| 10 | 2012 | 64.983 | 1.813 | -0.103 | 1.06E-02 | -1.10E-03 | 1.13E-04 |
| TOTAL | | 19.160 | | | 4.19E-02 | 3.81E-04 | 3.40E-04 |
| R _r | | 1.916 | | | | | |

(Sumber: Hasil perhitungan)

$$\overline{\log X} = \frac{19,160}{10} = 1,916$$

$$Sd = \sqrt{\frac{4,19 \cdot 10^{-2}}{10 - 1}} = 0,068$$

$$Cv = \frac{0,068}{1,916} = 0,036$$

$$Cs = \frac{10 \times 3,81 \cdot 10^{-4}}{(10 - 1)(10 - 2) 0,068^3} = 0,167$$

$$Ck = \frac{10^2 \times 3,40 \cdot 10^{-4}}{(10 - 1)(10 - 2)(10 - 3) 0,068^4} = 3,113$$

2. Pemilihan jenis distribusi

Hasil perhitungan parameter statistik yang telah diperoleh akan digunakan sebagai acuan untuk melakukan pemilihan jenis distribusi yang sesuai. Pemilihan distribusi yang sesuai dapat dilihat pada Tabel 4.18.

Tabel 4.18 Pemilihan Jenis Distribusi

| Jenis Distribusi | Syarat | Hasil | Keterangan |
|----------------------|-----------------------------|--------------|----------------|
| Normal | $Cs \approx 0$ | $Cs = 0,400$ | Tidak Memenuhi |
| | $Ck = 3$ | | |
| Gumbel Tipe I | $Cs \leq 1,1396$ | $Ck = 3,124$ | Memenuhi |
| | $Ck \leq 5,4002$ | | |
| Log Normal | $Cs \approx 3Cv + Cv^2 = 3$ | $Cs = 0,167$ | Tidak Memenuhi |
| | $Ck = 5,383$ | | |
| Log Pearson Tipe III | $Cs \neq 0$ | $Ck = 3,113$ | Memenuhi |

(Sumber: Hasil perhitungan)

Berdasarkan Tabel 4.18 dapat disimpulkan bahwa distribusi yang memenuhi adalah Distribusi Gumbel Tipe I dan Distribusi Log Pearson Tipe III. Langkah terakhir dalam analisa frekuensi adalah perhitungan untuk mendapatkan hujan rencana. Namun sebelum menghitung hujan rencana, terlebih dahulu dilakukan uji kecocokan distribusi. Uji kecocokan dimaksudkan untuk mengetahui ada tidaknya perbedaan yang nyata antara besarnya debit maksimum tahunan hasil pengamatan lapangan dengan hasil perhitungan.

4.2.3. Uji Kecocokan

Terdapat dua jenis distribusi yang memenuhi syarat dalam Tugas Akhir ini. Dari dua jenis distribusi tersebut, hanya satu yang digunakan untuk perhitungan hujan rencana. Jenis distribusi yang digunakan adalah distribusi yang menghasilkan perhitungan paling akurat dibanding jenis distribusi lainnya. Untuk menentukan tingkat keakuratan suatu jenis distribusi, maka dilakukan perhitungan uji kecocokan.

Uji kecocokan yang dilakukan adalah Uji Chi Kuadrat dan Uji Smirnov Kolmogorov.

1. Uji Chi Kuadrat

Berdasarkan Sub Bab 2.1.3, Uji Chi Kuadrat dilakukan sebagai berikut:

$$K = 1 + (3,322 \times (\log 10)) = 5$$

$$Dk = 5 - 2 - 1 = 2$$

$$Ei = 10 / 5 = 2$$

Dari Tabel 2.6, derajat kepercayaan diambil 5%,
maka $X_{kr} = 5,991$

- Distribusi Gumbel

Rentang nilai kelas

$$R = n_{\max} - n_{\min} = 104,701 - 64,983 = 39,718$$

$$i = R / K = 39,718 / 5 = 7,944$$

Tabel 4.19 Uji Chi Kuadrat untuk Distribusi Gumbel Tipe I

| No | Nilai Batas Sub Kelas | | Jumlah Data | | O _i - E _i | (O _i - E _i) ² / E _i |
|-------|-----------------------|----------------|-------------|---|---------------------------------|--|
| | O _i | E _i | | | | |
| 1 | 64.983 | 72.927 | 2 | 2 | 0 | 0 |
| 2 | 72.927 | 80.870 | 4 | 2 | 2 | 2 |
| 3 | 80.870 | 88.814 | 1 | 2 | -1 | 0.5 |
| 4 | 88.814 | 96.757 | 1 | 2 | -1 | 0.5 |
| 5 | 96.757 | 104.701 | 2 | 2 | 0 | 0 |
| Total | | | 10 | | X _h ² = | 3 |
| | | | | | X _{kr} = | 5.991 |
| | | | | | OK ! | |

(Sumber: Hasil perhitungan)

- Distribusi Log Pearson

Rentang nilai kelas

$$R = n_{\max} - n_{\min} = 2,020 - 1,813 = 0,207$$

$$i = R / K = 0,207 / 5 = 0,041$$

Tabel 4.20 Uji Chi Kuadrat untuk Distribusi Log Pearson Tipe III

| No | Nilai Batas Sub Kelas | | Jumlah Data | | O _i - E _i | (O _i - E _i) ² / E _i |
|-------|-----------------------|----------------|-------------|---|---------------------------------|--|
| | O _i | E _i | | | | |
| 1 | 1.8128 | 1.8542 | 2 | 2 | 0 | 0 |
| 2 | 1.8542 | 1.8957 | 2 | 2 | 0 | 0 |
| 3 | 1.8957 | 1.9371 | 2 | 2 | 0 | 0 |
| 4 | 1.9371 | 1.9785 | 1 | 2 | -1 | 0.5 |
| 5 | 1.9785 | 2.0200 | 3 | 2 | 1 | 0.5 |
| Total | | | 10 | | X _h ² = | 1 |
| | | | | | X _{kr} = | 5.991 |
| | | | | | OK ! | |

(Sumber: Hasil perhitungan)

Berdasarkan Uji Chi Kuadrat diatas, didapat Distribusi Gumbel Tipe I maupun Distribusi Log Pearson Tipe III memenuhi. Namun bisa dilihat nilai X_h^2 nya lebih kecil Distribusi Log Pearson Tipe III dibandingkan dengan Distribusi Gumbel Tipe I. Maka Distribusi Log Pearson Tipe III yang diambil untuk Uji Chi Kuadrat.

2. Uji Smirnov Kolmogorov

Uji Smirnov Kolmogorov untuk Distribusi Gumbel Tipe I dapat dilihat pada Tabel 4.21 sedangkan untuk Distribusi Log Pearson Tipe III pada Tabel 4.22.

Tabel 4.21 Uji Smirnov Kolmogorov
Distribusi Gumbel Tipe I

| R (mm) | m | $P(x) = m/(n+1)$ | $P(x <)$ | $f(t) = (R-Rr)/S$ | $P'(x)$ | $P'(x <)$ | D |
|-----------|----|------------------|----------|-------------------|---------|-----------|---------|
| 104.701 | 1 | 0.0909 | 0.9091 | 1.62 | 0.0526 | 0.9474 | 0.0383 |
| 100.944 | 2 | 0.1818 | 0.8182 | 1.33 | 0.0918 | 0.9082 | 0.0900 |
| 94.178 | 3 | 0.2727 | 0.7273 | 0.82 | 0.2061 | 0.7939 | 0.0666 |
| 87.640 | 4 | 0.3636 | 0.6364 | 0.33 | 0.3707 | 0.6293 | -0.0071 |
| 79.359 | 5 | 0.4545 | 0.5455 | -0.30 | 0.6179 | 0.3821 | -0.1634 |
| 79.010 | 6 | 0.5455 | 0.4545 | -0.33 | 0.6293 | 0.3707 | -0.0838 |
| 78.512 | 7 | 0.6364 | 0.3636 | -0.37 | 0.6443 | 0.3557 | -0.0079 |
| 74.989 | 8 | 0.7273 | 0.2727 | -0.63 | 0.7357 | 0.2643 | -0.0084 |
| 69.068 | 9 | 0.8182 | 0.1818 | -1.08 | 0.8599 | 0.1401 | -0.0417 |
| 64.983 | 10 | 0.9091 | 0.0909 | -1.39 | 0.9177 | 0.0823 | -0.0086 |
| | | | | $D_{\max} =$ | 0.090 | | |

(Sumber: Hasil perhitungan)

Tabel 4.22 Uji Smirnov Kolmogorov
Distribusi Log Pearson Tipe III

| Log R (mm) | m | $P(x) =$ $m/(n+1)$ | $P(x <)$ | $f(t) =$ $(R-Rr)/S$ | $P'(x)$ | $P'(x <)$ | D |
|---------------|----|-----------------------|----------|------------------------|---------|-----------|--------------------|
| 2.0200 | 1 | 0.0909 | 0.9091 | 1.52 | 0.0643 | 0.9357 | 0.0266 |
| 2.0041 | 2 | 0.1818 | 0.8182 | 1.29 | 0.0985 | 0.9015 | 0.0833 |
| 1.9739 | 3 | 0.2727 | 0.7273 | 0.85 | 0.1977 | 0.8023 | 0.0750 |
| 1.9427 | 4 | 0.3636 | 0.6364 | 0.39 | 0.3483 | 0.6517 | 0.0153 |
| 1.8996 | 5 | 0.4545 | 0.5455 | -0.24 | 0.5948 | 0.4052 | -0.1403 |
| 1.8977 | 6 | 0.5455 | 0.4545 | -0.27 | 0.6064 | 0.3936 | -0.0609 |
| 1.8949 | 7 | 0.6364 | 0.3636 | -0.31 | 0.6217 | 0.3783 | 0.0147 |
| 1.8750 | 8 | 0.7273 | 0.2727 | -0.60 | 0.7257 | 0.2743 | 0.0016 |
| 1.8393 | 9 | 0.8182 | 0.1818 | -1.12 | 0.8686 | 0.1314 | -0.0504 |
| 1.8128 | 10 | 0.9091 | 0.0909 | -1.51 | 0.9345 | 0.0655 | -0.0254 |
| | | | | | | | $D_{\max} = 0.083$ |

(Sumber: Hasil perhitungan)

Pada Tabel 4.21 diketahui bahwa nilai $D_{\max} = 0,090$. Dengan menggunakan data pada Tabel 2.7 untuk derajat kepercayaan 5%, maka diperoleh nilai $D_0 = 0,41$. Karena nilai D_{\max} lebih kecil dari nilai D_0 ($0,090 < 0,41$), maka Distribusi Gumbel Tipe I dapat diterima. Kemudian pada Tabel 4.22 didapat nilai $D_{\max} = 0,083$. Karena nilai D_{\max} pada Distribusi Log Pearson Tipe III juga lebih kecil dari nilai D_0 ($0,083 < 0,41$), maka dapat disimpulkan Distribusi Log Pearson Tipe III juga dapat diterima. Namun Distribusi yang diambil adalah Distribusi Log Pearson Tipe III karena nilai D_{\max} untuk Distribusi Log Pearson Tipe III lebih kecil daripada D_{\max} untuk Distribusi Gumbel Tipe I.

3. Hasil Uji Kecocokan

Berdasarkan kedua uji diatas, maka dapat disimpulkan sebagaimana pada Tabel 4.23.

Tabel 4.23 Hasil Uji Kecocokan

| Distribusi | Uji Chi Kuadrat | | | Uji Smirnov Kolmogorov | | |
|----------------------|-----------------------------|-----------------|------|------------------------|--------|------|
| | X _h ² | X _{kr} | Ket. | D _{max} | Do | Ket. |
| Gumbel Tipe I | 3 | < 5.991 | OK | 0.090 | < 0.41 | OK |
| Log Pearson Tipe III | 1 | < 5.991 | OK | 0.083 | < 0.41 | OK |

(Sumber: Hasil perhitungan)

Kesimpulan yang didapat dari Tabel 4.23 bahwa jenis distribusi yang dapat digunakan untuk perhitungan hujan rencana adalah Distribusi Log Pearson Tipe III. Walaupun kedua Distribusi memenuhi untuk kedua uji kecocokan, nilai X_h² dan D_{max} Distribusi Log Pearson Tipe III lebih kecil daripada nilai Distribusi Gumbel Tipe I.

4.2.4. Perhitungan Hujan Rencana

Perhitungan hujan rencana dilakukan dengan menggunakan Distribusi Log Pearson Tipe III sesuai dengan hasil perhitungan pada bab sebelumnya. Berdasarkan Tabel 2.8, periode ulang hujan yang dipakai adalah periode ulang 2 tahun untuk saluran tersier, periode ulang 5 tahun untuk saluran sekunder dan saluran primer.

Rumus untuk mencari hujan rencana dengan Distribusi Log Pearson Tipe III dapat dilihat pada Persamaan 2.8. Berikut perhitungannya:

$$\text{Log}X_2 = 1,916 + (-0,027 \times 0,068)$$

$$\text{Log}X_2 = 1,914$$

$$X_2 = 82,06 \text{ mm} \approx 83 \text{ mm}$$

$$\text{Log}X_5 = 1,916 + (0,469 \times 0,068)$$

$$\text{Log}X_5 = 1,948$$

$$X_5 = 88,73 \text{ mm} \approx 89 \text{ mm}$$

Nilai hujan rencana ini akan digunakan untuk menghitung besarnya tinggi hujan (Rt') pada setiap jam. Asumsi yang diambil untuk lamanya hujan yang terjadi pada DAS Kali Kepiting dan Kali Kenjeran adalah selama 4 jam.

Contoh perhitungan untuk periode ulang hujan 2 tahun pada jam ke satu dan jam ke dua:

$$R_n = \frac{x_2}{t} \times \left(\frac{t}{n}\right)^{\frac{2}{3}}$$

$$R_1 = \frac{83}{4} \times \left(\frac{4}{1}\right)^{\frac{2}{3}} = 52,29 \text{ mm}$$

$$R_n' = n \times R_n - (n-1) \times R_{n-1}$$

$$R_1' = 1 \times 52,29 - (1-1) \times 0 = 52,29 \text{ mm}$$

$$R_n = \frac{x_2}{t} \times \left(\frac{t}{n}\right)^{\frac{2}{3}}$$

$$R_2 = \frac{83}{4} \times \left(\frac{4}{2}\right)^{\frac{2}{3}} = 32,94 \text{ mm}$$

$$R_n' = n \times R_n - (n-1) \times R_{n-1}$$

$$R_2' = 2 \times 32,94 - (2-1) \times 52,29 = 13,59 \text{ mm}$$

Hasil perhitungan lengkapnya bisa dilihat pada Tabel 4.24 berikut:

Tabel 4.24 Tinggi Hujan pada Jam ke- t

| Rt | PUH | | Rt' | PUH | |
|-----|-------|-------|-----|-------|-------|
| | 2 | 5 | | 2 | 5 |
| Jam | mm | | Jam | mm | |
| 1 | 52.29 | 56.07 | 1 | 52.29 | 56.07 |
| 2 | 32.94 | 35.32 | 2 | 13.59 | 14.57 |
| 3 | 25.14 | 26.95 | 3 | 9.53 | 10.22 |
| 4 | 20.75 | 22.25 | 4 | 7.59 | 8.138 |

(Sumber: Hasil perhitungan)

4.2.5. Perhitungan SCS Unit Hydrograph

Langkah awal dalam perhitungan SCS UH adalah mencari parameter - parameternya. Berdasarkan data yang didapat, maka parameter - parameternya dapat dilihat pada Tabel 4.25 dan Tabel 4.26. Beberapa perhitungan parameternya bisa dilihat sebagai berikut:

1. Nilai *Impervious* dan CN.

Kedua nilai ini bisa didapatkan pada Tabel 2.9 yang sudah disesuaikan dengan RTRW Surabaya pada DAS Kali Kepiting dan Kali Kenjeran.

2. Nilai Retensi Maksimum (S).

Retensi Maksimum didapat dari Persamaan 2.20. Contoh perhitungan untuk Sub DAS 750001 pada DAS Kali Kenjeran:

$$S = (1000 / 88) - 10 = 1,364$$

3. Nilai rata - rata kemiringan lahan (Y).

Rata - rata kemiringan lahan diambil 0,1% berdasarkan peta topografi.

4. Luas Sub DAS dan Panjang *overland flow*.

Nilai ini didapat dari pengukuran manual pada peta topografi.

5. *Time Lag* (t_L).

Time Lag dihitung berdasarkan Persamaan 2.20. Contoh perhitungan t_L untuk Sub DAS 750001 pada DAS Kali Kenjeran:

$$t_L = \frac{719,42^{0,8} \times (1,364+1)^{0,7}}{1900 \times 0,1^{0,5}} = 0,59 \text{ jam}$$

Tabel 4.25 Parameter SCS UH untuk DAS Kali Kenjeran

| Sub DAS | Impervious (%) | CN | S | Luas (mil ²) | L (ft) | t_L (jam) |
|---------|----------------|------|-------|--------------------------|--------|-------------|
| 750001 | 95 | 88 | 1.364 | 0.049 | 719.42 | 0.59 |
| 750002 | 75 | 76.8 | 3.021 | 0.035 | 479.84 | 0.62 |
| 751000 | 95 | 88 | 1.364 | 0.029 | 299.38 | 0.29 |
| 100000 | 90 | 85.2 | 1.737 | 0.039 | 502.37 | 0.49 |
| 714001 | 81.25 | 80.3 | 2.453 | 0.018 | 322.02 | 0.40 |
| 714002 | 77.5 | 78.2 | 2.788 | 0.021 | 692.16 | 0.79 |
| 711801 | 75 | 76.8 | 3.021 | 0.038 | 737.27 | 0.87 |
| 711802 | 72.5 | 75.4 | 3.263 | 0.019 | 656.17 | 0.82 |
| 709411 | 70 | 74 | 3.514 | 0.043 | 466.28 | 0.65 |
| 709412 | 71.25 | 74.7 | 3.387 | 0.031 | 545.57 | 0.72 |
| 104000 | 92.5 | 86.6 | 1.547 | 0.030 | 530.58 | 0.48 |
| 108002 | 82.5 | 81 | 2.346 | 0.023 | 769.42 | 0.79 |

| | | | | | | |
|---------|-------|------|-------|-------|---------|------|
| 108003 | 87.5 | 83.8 | 1.933 | 0.018 | 339.27 | 0.37 |
| 801900 | 82.5 | 81 | 2.346 | 0.059 | 780.51 | 0.80 |
| 800001 | 92.7 | 86.7 | 1.534 | 0.031 | 763.88 | 0.65 |
| 800002 | 75 | 76.8 | 3.021 | 0.042 | 997.67 | 1.11 |
| 612000 | 70 | 74 | 3.514 | 0.030 | 376.48 | 0.55 |
| 505740 | 70 | 74 | 3.514 | 0.074 | 1067.99 | 1.27 |
| 502402 | 72.5 | 75.4 | 3.263 | 0.027 | 406.92 | 0.56 |
| 501500 | 71.25 | 74.7 | 3.387 | 0.028 | 364.27 | 0.52 |
| 500001 | 72.5 | 75.4 | 3.263 | 0.054 | 702.33 | 0.87 |
| 450001 | 71.25 | 74.7 | 3.387 | 0.021 | 444.91 | 0.62 |
| 450002 | 77.5 | 78.2 | 2.788 | 0.057 | 831.23 | 0.92 |
| 604180 | 72.5 | 75.4 | 3.263 | 0.012 | 267.19 | 0.40 |
| 602650 | 92.5 | 86.6 | 1.547 | 0.022 | 284.38 | 0.29 |
| 108001 | 90 | 85.2 | 1.737 | 0.034 | 431.63 | 0.43 |
| 112000 | 71.25 | 74.7 | 3.387 | 0.026 | 1155.64 | 1.32 |
| 801301 | 90 | 85.2 | 1.737 | 0.034 | 1059.55 | 0.89 |
| 801302 | 92.5 | 86.6 | 1.547 | 0.034 | 388.02 | 0.38 |
| 850004 | 71.25 | 74.7 | 3.387 | 0.006 | 188.15 | 0.31 |
| 850003 | 72.5 | 75.4 | 3.263 | 0.036 | 426.02 | 0.58 |
| 850001 | 80 | 79.6 | 2.563 | 0.052 | 583.23 | 0.66 |
| 850002 | 71.25 | 74.7 | 3.387 | 0.015 | 573.06 | 0.75 |
| 214000A | 85 | 82.4 | 2.136 | 0.033 | 1090.03 | 1.00 |
| 212000 | 72.5 | 75.4 | 3.263 | 0.016 | 431.86 | 0.59 |
| 214000 | 70 | 74 | 3.514 | 0.004 | 172.54 | 0.29 |
| 610000 | 73.75 | 76.1 | 3.141 | 0.065 | 2788.78 | 2.57 |
| 503360 | 70 | 74 | 3.514 | 0.004 | 482.91 | 0.67 |
| 502401 | 77.5 | 78.2 | 2.788 | 0.043 | 935.70 | 1.01 |
| 500002 | 82.5 | 81 | 2.346 | 0.010 | 401.61 | 0.47 |
| 806210 | 77.5 | 78.2 | 2.788 | 0.038 | 872.21 | 0.95 |
| 900002 | 76 | 77 | 2.987 | 0.018 | 919.00 | 1.03 |
| 900001 | 71.25 | 74.7 | 3.387 | 0.013 | 850.98 | 1.03 |
| 205440 | 96 | 89.4 | 1.186 | 0.014 | 323.26 | 0.29 |
| 208000 | 72.5 | 75.4 | 3.263 | 0.018 | 215.49 | 0.34 |

(Sumber: Hasil perhitungan)

Tabel 4.26 Parameter SCS UH untuk DAS Kali Kepiting

| Sub DAS | Impervious (%) | CN | S | Luas (mil ²) | L (ft) | tL (jam) |
|---------|----------------|------|-------|--------------------------|---------|----------|
| 106830 | 75 | 76.8 | 3.021 | 0.019 | 438.35 | 0.57 |
| 302002 | 70 | 74 | 3.514 | 0.038 | 533.07 | 0.73 |
| 302001 | 71.25 | 74.7 | 3.387 | 0.027 | 395.67 | 0.56 |
| 302003 | 70 | 74 | 3.514 | 0.038 | 518.57 | 0.71 |
| 110001 | 75 | 76.8 | 3.021 | 0.040 | 1076.12 | 1.17 |
| 110002 | 72.5 | 75.4 | 3.263 | 0.025 | 523.00 | 0.69 |
| 114003 | 92.5 | 86.6 | 1.547 | 0.032 | 633.86 | 0.56 |
| 114001 | 85 | 82.4 | 2.136 | 0.008 | 514.67 | 0.55 |
| 114002 | 71.25 | 74.7 | 3.387 | 0.008 | 273.45 | 0.42 |
| 116002 | 75 | 76.8 | 3.021 | 0.023 | 564.24 | 0.70 |
| 117000 | 72.5 | 75.4 | 3.263 | 0.055 | 327.79 | 0.47 |
| 454440A | 70 | 74 | 3.514 | 0.017 | 744.91 | 0.95 |
| 454440B | 70 | 74 | 3.514 | 0.016 | 1060.40 | 1.26 |
| 454000 | 77.5 | 78.2 | 2.788 | 0.011 | 575.39 | 0.68 |
| 450001 | 96 | 86.3 | 1.587 | 0.038 | 1004.66 | 0.82 |
| 120002 | 71.25 | 74.7 | 3.387 | 0.039 | 720.57 | 0.91 |
| 692001 | 71.25 | 74.7 | 3.387 | 0.033 | 1655.75 | 1.76 |
| 419720 | 82.5 | 81 | 2.346 | 0.023 | 533.46 | 0.59 |
| 418720 | 72 | 75.2 | 3.298 | 0.057 | 768.86 | 0.94 |
| 413001 | 73 | 76.4 | 3.089 | 0.021 | 788.25 | 0.93 |
| 413002 | 71.25 | 74.7 | 3.387 | 0.011 | 302.43 | 0.45 |
| 407000 | 82.5 | 81 | 2.346 | 0.015 | 381.79 | 0.45 |
| 404000 | 71.25 | 74.7 | 3.387 | 0.028 | 133.15 | 0.23 |
| 402001 | 72 | 75.2 | 3.298 | 0.036 | 552.40 | 0.72 |
| 402002 | 70 | 74 | 3.514 | 0.010 | 582.48 | 0.78 |
| 128000 | 95 | 88 | 1.364 | 0.040 | 276.52 | 0.27 |
| 500001 | 95 | 88 | 1.364 | 0.051 | 747.89 | 0.61 |
| 600002 | 76.25 | 77.5 | 2.903 | 0.047 | 688.12 | 0.80 |
| 600001 | 70 | 74 | 3.514 | 0.067 | 902.49 | 1.11 |
| 612211 | 70 | 74 | 3.514 | 0.034 | 669.42 | 0.87 |

| | | | | | | |
|---------|-------|------|-------|-------|---------|------|
| 612212 | 70 | 74 | 3.514 | 0.029 | 810.28 | 1.01 |
| 710001 | 72.5 | 75.4 | 3.263 | 0.032 | 692.85 | 0.86 |
| 705802 | 70 | 74 | 3.514 | 0.034 | 950.69 | 1.15 |
| 700001 | 70 | 74 | 3.514 | 0.058 | 1244.32 | 1.43 |
| 700002 | 81.25 | 80.3 | 2.453 | 0.030 | 584.35 | 0.65 |
| 700003 | 72.5 | 75.4 | 3.263 | 0.061 | 757.61 | 0.92 |
| 709000 | 71.25 | 74.7 | 3.387 | 0.012 | 755.98 | 0.94 |
| 750001A | 71.25 | 74.7 | 3.387 | 0.026 | 885.89 | 1.07 |
| 750001B | 70 | 74 | 3.514 | 0.021 | 659.38 | 0.86 |
| 750002 | 70 | 74 | 3.514 | 0.019 | 437.63 | 0.62 |
| 142001 | 95 | 88 | 1.364 | 0.032 | 620.54 | 0.52 |
| 142002 | 70 | 74 | 3.514 | 0.055 | 1591.80 | 1.74 |
| 203000 | 71.25 | 74.7 | 3.387 | 0.031 | 445.64 | 0.62 |
| 145150 | 70 | 74 | 3.514 | 0.045 | 919.10 | 1.12 |
| 810000 | 70 | 74 | 3.514 | 0.084 | 1003.18 | 1.20 |
| 807000 | 70 | 74 | 3.514 | 0.071 | 839.53 | 1.04 |
| 803001 | 70 | 74 | 3.514 | 0.029 | 990.85 | 1.19 |
| 150002 | 70 | 74 | 3.514 | 0.047 | 706.99 | 0.91 |
| 150001 | 71.25 | 74.7 | 3.387 | 0.075 | 933.33 | 1.11 |
| 150004 | 70 | 74 | 3.514 | 0.280 | 2320.77 | 2.35 |
| 100250 | 82.5 | 81 | 2.346 | 0.011 | 279.59 | 0.35 |
| 103600 | 82.5 | 81 | 2.346 | 0.007 | 314.30 | 0.39 |
| 458000 | 70 | 74 | 3.514 | 0.046 | 1148.29 | 1.34 |
| 116001 | 71.25 | 74.7 | 3.387 | 0.018 | 916.63 | 1.10 |
| 456000 | 71.25 | 74.7 | 3.387 | 0.028 | 921.26 | 1.10 |
| 450002 | 77.5 | 78.2 | 2.788 | 0.011 | 662.14 | 0.76 |
| 120001 | 82.5 | 81 | 2.346 | 0.026 | 922.60 | 0.91 |
| 692002 | 70 | 74 | 3.514 | 0.041 | 1210.47 | 1.40 |
| 699000 | 90 | 85.2 | 1.737 | 0.033 | 693.27 | 0.63 |
| 694000 | 75 | 76.8 | 3.021 | 0.054 | 1003.84 | 1.11 |
| 503500 | 95 | 88 | 1.364 | 0.192 | 1341.67 | 0.97 |
| 500002 | 95 | 88 | 1.364 | 0.066 | 1270.18 | 0.92 |
| 606000 | 70 | 74 | 3.514 | 0.011 | 657.02 | 0.86 |
| 603000 | 70 | 74 | 3.514 | 0.058 | 2091.01 | 2.17 |

| | | | | | | |
|--------|-------|------|-------|-------|---------|------|
| 137870 | 82.5 | 81 | 2.346 | 0.013 | 197.21 | 0.27 |
| 710002 | 71.25 | 74.7 | 3.387 | 0.017 | 699.44 | 0.88 |
| 705801 | 70 | 74 | 3.514 | 0.012 | 370.34 | 0.54 |
| 705803 | 77.5 | 78.2 | 2.788 | 0.045 | 607.81 | 0.71 |
| 708000 | 75 | 76.8 | 3.021 | 0.030 | 753.35 | 0.88 |
| 703002 | 70 | 74 | 3.514 | 0.046 | 1298.52 | 1.48 |
| 703001 | 70 | 74 | 3.514 | 0.009 | 362.34 | 0.53 |
| 204650 | 70 | 74 | 3.514 | 0.014 | 429.13 | 0.61 |
| 210001 | 70 | 74 | 3.514 | 0.019 | 840.75 | 1.05 |
| 210002 | 70 | 74 | 3.514 | 0.025 | 448.36 | 0.63 |
| 150003 | 71.25 | 74.7 | 3.387 | 0.036 | 635.73 | 0.82 |
| 803002 | 70 | 74 | 3.514 | 0.018 | 960.76 | 1.16 |

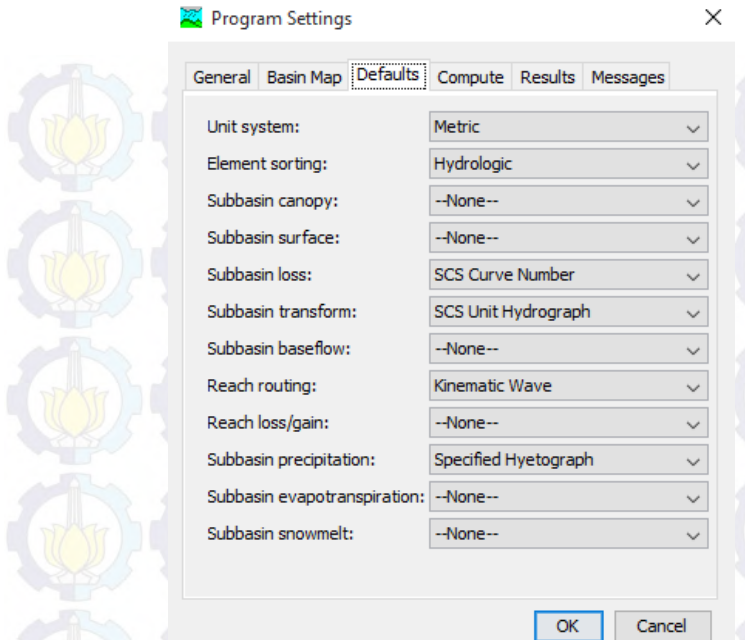
(Sumber: Hasil perhitungan)

4.3. Perhitungan Debit dengan Program Bantu HEC-HMS

Analisa debit pada DAS Kali Kenjeran dan Kali Kepiting dengan program bantu (HEC-HMS maupun HEC-RAS) akan dilakukan dengan *file* yang berbeda atau dengan kata lain dipisah perhitungan debitnya. Pengaturan - pengaturan awal yang harus dilakukan pada HEC-HMS adalah sebagai berikut:

1. *Program Settings*

Pada *Menu bar* klik *Tools* → *Program Settings*. Kemudian akan muncul *window* baru, klik pada *tab Defaults*. Selanjutnya ubah pengaturan seperti pada Gambar 4.2 berikut.

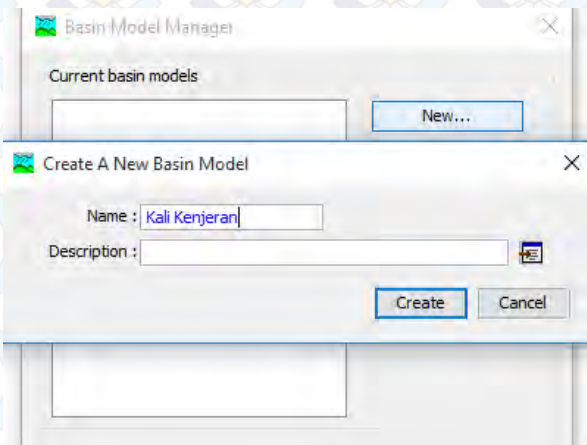


Gambar 4.2 *Program Settings* HEC-HMS

- Subbasin loss* : parameter untuk mengetahui nilai volume limpasan efektif dengan menginput nilai *impervious* dan CN.
- Subbasin transform* : parameter untuk mentransformasikan nilai hujan rencana menjadi volume limpasan.
- Subbasin baseflow* : nilai *baseflow* pada saluran. Pada perhitungan HEC-HMS tidak diperlukan. *Baseflow* akan di input pada analisa hidrologi dengan program HEC-RAS.
- Reach Routing* : untuk menganalisa penelusuran aliran - aliran dari hulu sampai hilir.

2. Basin Model Manager

Pada *Menu bar* klik *Components* → *Basin Model Manager*. Pilih *new* dan tulis nama DAS kemudian klik *Create* seperti Gambar 4.3 berikut.



Gambar 4.3 *Basin Model Manager*

3. Meteorologic Model Manager

Pada *Menu bar* klik *Components* → *Meteorologic Model Manager*. Pilih *new* kemudian klik *Create*.

4. Control Specifications Manager

Pada *Menu bar* klik *Components* → *Control Specifications Manager*. Pilih *new* kemudian klik *Create*.

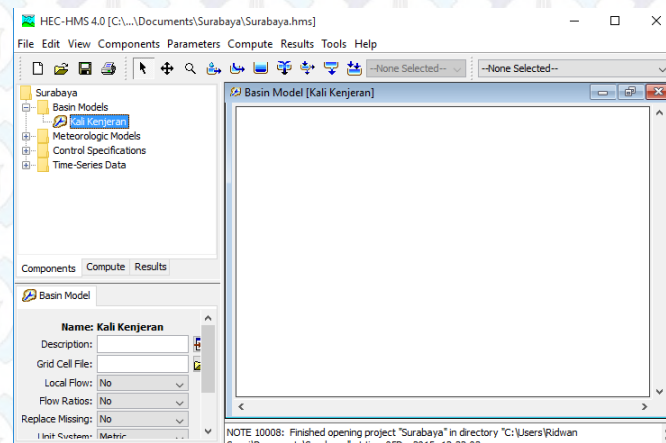
5. Time-Series Data Manager

Pada *Menu bar* klik *Components* → *Time-Series Data Manager*. *Data Type* dipilih *Precipitation Gages*, klik *new* kemudian klik *Create*.

4.3.1. Skema Saluran pada *Basin Model*

Langkah pertama adalah membuat skema saluran pada *Basin Model*. Pada *window* utama disebelah kiri layar, klik *Basin Models* kemudian klik dua kali pada Kali Kenjeran maka akan

muncul *window* baru untuk menggambar skema saluran seperti pada Gambar 4.4.



Gambar 4.4 *Window* utama HEC-HMS

Beberapa *tools* yang digunakan untuk menggambar skema saluran bisa dilihat pada Gambar 4.5.

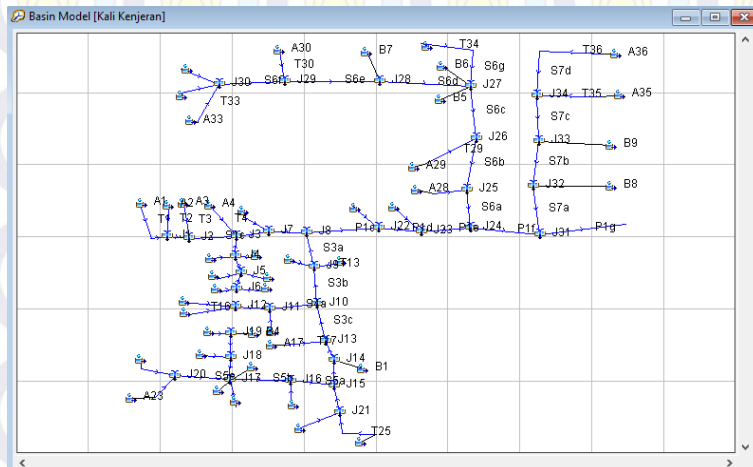


Gambar 4.5 *Tools Basin Model*

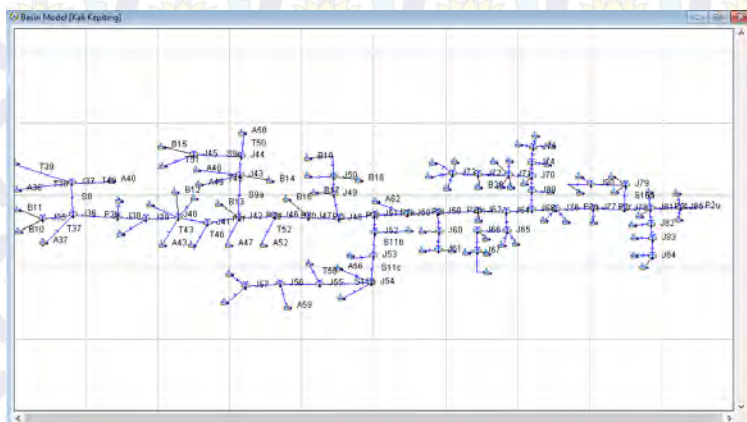
Penjelasan gambar:

- | | |
|---------------------------|---------------------|
| 1. Subbasin (Sub DAS) | 5. <i>Diversion</i> |
| 2. <i>Reach</i> (saluran) | 6. <i>Source</i> |
| 3. <i>Reservoir</i> | 7. <i>Sink</i> |
| 4. <i>Junction</i> | |

Hasil gambar untuk skema saluran DAS Kali Kenjeran dan Kali Kepiting bisa dilihat pada Gambar 4.6 dan Gambar 4.7 berikut.



Gambar 4.6 Skema saluran HEC-HMS DAS Kali Kenjeran



Gambar 4.7 Skema saluran HEC-HMS DAS Kali Kepiting

4.3.2. Input Parameter

Langkah selanjutnya adalah menginput parameter - parameter SCS UH pada *Basin Models*. Parameter - parameter ini terdapat pada Tabel 4.1 - Tabel 4.6 untuk panjang saluran dan luas Sub DAS serta Tabel 4.25 dan Tabel 4.26 untuk nilai *time lag*. Untuk menginput luas sub-DAS, pada *Menu bar* pilih *Parameters* → *Subbasin Area*. Untuk menginput nilai *impervious* dan CN, pada *Menu bar* pilih *Parameters* → *Loss* → *SCS Curve Number*. Untuk menginput *lag time*, pada *Menu bar* pilih *Parameters* → *Transform* → *SCS Unit Hydrograph*. Terakhir untuk menginput panjang saluran, pada *Menu bar* pilih *Parameters* → *Routing* → *Kinematic Wave*.

Kemudian menginput parameter pada *Meteorologic Models*, klik *Meteorologic Models* pada *window* utama → *Met 1*. Pada tab *Basin, Include Subbasins* diubah menjadi *Yes*. Lalu klik *Met 1* → *Specified Hyetograph*, ubah *Gage* menjadi *Gage 1* untuk semua *Subbasin*.

Selanjutnya klik *Control Specifications* pada *window* utama → *Control 1*. Input *Control 1* untuk 1 hari, mulai dari jam ke 00:00 tanggal tertentu sampai jam ke 00:00 tanggal setelahnya.

Langkah terakhir adalah menginput tinggi hujan yang terdapat pada Tabel 4.24. Klik *Time-Series Data* → *Precipitation Gage* → *Gage 1*. Ubah *Time Interval* menjadi *1 hour*. Kemudian pada tab *Table*, input data tinggi hujan mulai dari jam ke 01:00 - 04:00. Untuk jam ke 05:00 - 24:00 diisikan nilai 0.

4.3.3. Output HEC-HMS

Output yang dihasilkan pada HEC-HMS adalah debit puncak atau *peak discharge*. Sebelumnya *running* terlebih dahulu untuk mendapatkan outputnya. Untuk *running*, pada *Menu Bar* → *Compute* → *Create Compute* → *Simulation Run*.

Pada Tugas Akhir ini akan dilakukan *running* sebanyak 2 kali. *Run 1* untuk nilai tinggi hujan pada *Time-Series Data* periode ulang 2 tahun dan *Run 2* untuk periode ulang 5 tahun. Output dari periode hujan 2 tahun akan digunakan untuk mencari dimensi

saluran tersier dengan perhitungan manual. Sedangkan output dari periode hujan 5 tahun akan dijadikan inputan *Flow Hydrograph* dan *Lateral Inflow Hydrograph* pada program HEC-RAS untuk mendapatkan dimensi saluran sekunder dan primer. Berikut output dari program HEC-HMS untuk periode ulang 2 tahun dan periode ulang 5 tahun pada masing - masing DAS (Tabel 4.27 dan Tabel 4.28).

Tabel 4.27 $Q_{\text{Hidrologi}}$ Saluran Tersier DAS Kali Kenjeran

| Kode Sal. | $Q_{\text{Hidrologi}} (\text{m}^3/\text{s})$ | | Kode Sal. | $Q_{\text{Hidrologi}} (\text{m}^3/\text{s})$ | |
|--------------|--|---------|--------------|--|---------|
| | 2 Tahun | 5 Tahun | | 2 Tahun | 5 Tahun |
| T1 | 1.0 | 1.1 | T19 | 0.4 | 0.4 |
| T2 | 0.6 | 0.7 | T20 | 0.5 | 0.6 |
| T3 | 0.6 | 0.6 | T21 | 0.8 | 0.9 |
| T4 | 0.8 | 0.9 | T22 | 0.4 | 0.4 |
| T5 | 0.4 | 0.4 | T23 | 0.9 | 1.0 |
| T6 | 0.3 | 0.4 | T24 | 0.2 | 0.3 |
| T7 | 0.6 | 0.6 | T25 | 0.5 | 0.6 |
| T8 | 0.3 | 0.3 | T26 | 0.8 | 0.8 |
| T9 | 0.7 | 0.7 | T27 | 0.3 | 0.4 |
| T10 | 0.5 | 0.5 | T28 | 0.6 | 0.6 |
| T11 | 0.7 | 0.7 | T29 | 0.8 | 0.8 |
| T12 | 0.4 | 0.4 | T30 | 0.1 | 0.1 |
| T13 | 0.4 | 0.4 | T31 | 0.6 | 0.6 |
| T14 | 1.0 | 1.0 | T32 | 0.8 | 0.9 |
| T15 | 0.7 | 0.7 | T33 | 0.2 | 0.2 |
| T16 | 0.6 | 0.7 | T34 | 0.6 | 0.6 |
| T17 | 0.6 | 0.6 | T35 | 0.3 | 0.3 |
| T18 | 1.0 | 1.0 | T36 | 0.1 | 0.1 |

(Sumber: Hasil perhitungan HEC-HMS)

Tabel 4.28 $Q_{\text{Hidrologi}}$ Saluran Tersier DAS Kali Kepiting

| Kode Sal. | $Q_{\text{Hidrologi}} (\text{m}^3/\text{s})$ | |
|--------------|--|---------|
| | 2 Tahun | 5 Tahun |
| T37 | 0.3 | 0.4 |
| T38 | 0.5 | 0.6 |
| T39 | 0.5 | 0.5 |
| T40 | 0.5 | 0.6 |
| T41 | 0.6 | 0.6 |
| T42 | 0.4 | 0.4 |
| T43 | 0.7 | 0.8 |
| T44 | 0.2 | 0.2 |
| T45 | 0.1 | 0.1 |
| T46 | 0.4 | 0.4 |
| T47 | 1.1 | 1.2 |
| T48 | 0.2 | 0.3 |
| T49 | 0.2 | 0.2 |
| T50 | 0.2 | 0.2 |
| T51 | 0.7 | 0.7 |
| T52 | 0.6 | 0.6 |
| T53 | 0.4 | 0.4 |
| T54 | 0.5 | 0.5 |
| T55 | 0.9 | 0.9 |
| T56 | 0.3 | 0.3 |
| T57 | 0.2 | 0.2 |
| T58 | 0.3 | 0.3 |
| T59 | 0.6 | 0.6 |
| T60 | 0.5 | 0.6 |
| T61 | 0.1 | 0.2 |
| T62 | 0.9 | 1.0 |
| T63 | 1.1 | 1.2 |
| T64 | 0.4 | 0.4 |
| T65 | 0.9 | 1.0 |
| T66 | 0.5 | 0.5 |
| T67 | 0.4 | 0.4 |
| T68 | 0.5 | 0.5 |
| T69 | 0.5 | 0.5 |
| T70 | 0.7 | 0.7 |
| T71 | 0.5 | 0.6 |
| T72 | 0.9 | 1.0 |
| T73 | 0.2 | 0.2 |
| T74 | 0.4 | 0.4 |
| T75 | 0.3 | 0.3 |
| T76 | 0.3 | 0.3 |
| T77 | 0.6 | 0.6 |
| T78 | 0.6 | 0.7 |
| T79 | 0.5 | 0.6 |
| T80 | 0.6 | 0.6 |
| T81 | 1.1 | 1.2 |
| T82 | 1.0 | 1.0 |
| T83 | 0.4 | 0.4 |
| T84 | 0.7 | 0.7 |
| T85 | 1.1 | 1.1 |
| T86 | 2.7 | 2.8 |

(Sumber: Hasil perhitungan HEC-HMS)

4.4. Analisa Hidrolik

Dalam Tugas Akhir ini analisa hidrolik dibagi menjadi dua, yaitu analisa kapasitas saluran tersier dengan perhitungan manual dan analisa kapasitas saluran sekunder dan saluran primer dengan

program bantu HEC-RAS. Ketiga saluran ini akan direncanakan dengan bentuk penampang persegi empat.

4.4.1. Analisa Kapasitas Saluran Tersier

Saluran akan direncanakan dengan beton *precast* U-Ditch dari PT Adhimix. Dimensi U-Ditch PT Adhimix bisa dilihat pada Tabel 4.29. Parameter yang dibutuhkan dalam menganalisa saluran tersier adalah $Q_{\text{Hidrologi}}$ PUH 2 tahun (Tabel 4.27 dan Tabel 4.28), koefisien manning (Tabel 2.10), serta kemiringan saluran (direncanakan untuk saluran tersier 0,0002). Kapasitas saluran tersier dihitung dengan Persamaan 2.21.

Tabel 4.29 Dimensi U-Ditch PT Adhimix

| Tipe | B (m) | H (m) | Tipe | B (m) | H (m) | Tipe | B (m) | H (m) |
|------|----------|----------|------|----------|----------|------|----------|----------|
| 1 | 0.3 | 0.2 | 16 | 0.6 | 0.5 | 31 | 1.2 | 1.6 |
| 2 | 0.3 | 0.3 | 17 | 0.6 | 0.6 | 32 | 1.4 | 1.2 |
| 3 | 0.3 | 0.4 | 18 | 0.6 | 0.7 | 33 | 1.4 | 1.4 |
| 4 | 0.3 | 0.5 | 19 | 0.6 | 0.8 | 34 | 1.4 | 1.6 |
| 5 | 0.4 | 0.3 | 20 | 0.6 | 1.0 | 35 | 1.4 | 1.8 |
| 6 | 0.4 | 0.4 | 21 | 0.8 | 0.6 | 36 | 1.5 | 2.0 |
| 7 | 0.4 | 0.5 | 22 | 0.8 | 0.7 | 37 | 1.6 | 1.4 |
| 8 | 0.4 | 0.6 | 23 | 0.8 | 0.8 | 38 | 1.6 | 1.6 |
| 9 | 0.4 | 0.7 | 24 | 0.8 | 1.0 | 39 | 1.6 | 1.8 |
| 10 | 0.5 | 0.3 | 25 | 0.8 | 1.2 | 40 | 1.6 | 2 |
| 11 | 0.5 | 0.4 | 26 | 1.0 | 1.2 | 41 | 2.0 | 2.5 |
| 12 | 0.5 | 0.5 | 27 | 1.0 | 1.4 | 42 | 2.5 | 1.5 |
| 13 | 0.5 | 0.6 | 28 | 1.2 | 1.0 | 43 | 2.5 | 2.5 |
| 14 | 0.5 | 0.7 | 29 | 1.2 | 1.2 | 44 | 3.0 | 2.5 |
| 15 | 0.6 | 0.4 | 30 | 1.2 | 1.4 | | | |

(Sumber: PT Adhimix Precast Indonesia)

Tinggi (H) dan lebar (B) saluran diambil dari dimensi U-Ditch diatas. Perhitungan dilakukan *trial and error* dengan mengganti - ganti dimensi saluran hingga didapatkan nilai $Q_{\text{Hidrolika}}$ lebih besar daripada $Q_{\text{Hidrologi}}$. Tinggi saluran yang dimasukkan ke dalam perhitungan telah dikurangi dengan tinggi jagaan (Tabel 2.11) serta tinggi sedimentasi. Tinggi jagaan sebesar 0,1 m sedangkan tinggi sedimentasi direncanakan sebesar 15% dari tinggi saluran dikurangi tinggi jagaan.

Misal untuk Tipe 36, H sebesar 2 m, dikurangi tinggi jagaan menjadi 1,9 m. Kemudian dikurangi tinggi sedimentasi sama dengan $1,9 \times 85\% = 1,62$ m. Jadi tinggi saluran yang dipakai (h) dalam perhitungan analisa kapasitas saluran adalah 1,62 m.

Contoh perhitungan $Q_{\text{Hidrolika}}$ untuk Saluran Kenjeran Selatan (T1) sebagai berikut:

$$Q_{\text{Hidrologi}} = 1 \text{ m}^3/\text{s}$$

Direncanakan saluran dengan U-Ditch Tipe 36

$$B = 1,5 \text{ m}$$

$$H = 2 \text{ m}$$

$$h = 1,62 \text{ m}$$

$$A = 1,5 \times 1,62 = 2,423 \text{ m}^2$$

$$P = 2(1,62) + 1,5 = 4,73 \text{ m}$$

$$R = 2,423 / 4,73 = 0,512 \text{ m}$$

$$V = 1/0,022 \times 0,0002^{0,5} \times 0,512^{2/3} = 0,419 \text{ m/s}$$

$$Q_{\text{Hidrolika}} = 2,423 \times 0,419 = 1,016 \text{ m}^3/\text{s} > Q_{\text{Hidrologi}} = 1 \text{ m}^3/\text{s}$$

Jadi Tipe 36 sudah memenuhi untuk saluran T1. Perhitungan lengkapnya bisa dilihat pada Tabel 4.30 dan Tabel 4.31.

Tabel 4.30 Dimensi Saluran Tersier DAS Kali Kenjeran

| Kode Sal. | Tipe U-Ditch | B m | H m | h m | n | S | A m ² | P m | R m | V m/s | Q _{Hidrolika} m ³ /s | Q _{Hidrologi} m ³ /s | Ket. |
|-----------|--------------|-----|-----|------|-------|--------|------------------|------|-------|-------|--|--|------|
| T1 | 36 | 1.5 | 2.0 | 1.62 | 0.022 | 0.0002 | 2.423 | 4.73 | 0.512 | 0.419 | 1.016 | 1.0 | OK |
| T2 | 37 | 1.6 | 1.4 | 1.11 | 0.022 | 0.0002 | 1.768 | 3.81 | 0.464 | 0.384 | 0.678 | 0.6 | OK |
| T3 | 37 | 1.6 | 1.4 | 1.11 | 0.022 | 0.0002 | 1.768 | 3.81 | 0.464 | 0.384 | 0.678 | 0.6 | OK |
| T4 | 35 | 1.4 | 1.8 | 1.45 | 0.022 | 0.0002 | 2.023 | 4.29 | 0.472 | 0.396 | 0.801 | 0.8 | OK |
| T5 | 32 | 1.4 | 1.2 | 0.94 | 0.022 | 0.0002 | 1.309 | 3.27 | 0.400 | 0.347 | 0.454 | 0.4 | OK |
| T6 | 27 | 1.0 | 1.4 | 1.11 | 0.022 | 0.0002 | 1.105 | 3.21 | 0.344 | 0.322 | 0.356 | 0.3 | OK |
| T7 | 37 | 1.6 | 1.4 | 1.11 | 0.022 | 0.0002 | 1.768 | 3.81 | 0.464 | 0.384 | 0.678 | 0.6 | OK |
| T8 | 27 | 1.0 | 1.4 | 1.11 | 0.022 | 0.0002 | 1.105 | 3.21 | 0.344 | 0.322 | 0.356 | 0.3 | OK |
| T9 | 35 | 1.4 | 1.8 | 1.45 | 0.022 | 0.0002 | 2.023 | 4.29 | 0.472 | 0.396 | 0.801 | 0.7 | OK |
| T10 | 31 | 1.2 | 1.6 | 1.19 | 0.022 | 0.0002 | 1.428 | 3.58 | 0.399 | 0.354 | 0.551 | 0.5 | OK |
| T11 | 35 | 1.4 | 1.8 | 1.45 | 0.022 | 0.0002 | 2.023 | 4.29 | 0.472 | 0.396 | 0.801 | 0.7 | OK |
| T12 | 32 | 1.4 | 1.2 | 0.94 | 0.022 | 0.0002 | 1.309 | 3.27 | 0.400 | 0.347 | 0.454 | 0.4 | OK |
| T13 | 32 | 1.4 | 1.2 | 0.94 | 0.022 | 0.0002 | 1.309 | 3.27 | 0.400 | 0.347 | 0.454 | 0.4 | OK |
| T14 | 36 | 1.5 | 2.0 | 1.62 | 0.022 | 0.0002 | 2.423 | 4.73 | 0.512 | 0.419 | 1.016 | 1.0 | OK |
| T15 | 35 | 1.4 | 1.8 | 1.45 | 0.022 | 0.0002 | 2.023 | 4.29 | 0.472 | 0.396 | 0.801 | 0.7 | OK |
| T16 | 37 | 1.6 | 1.4 | 1.11 | 0.022 | 0.0002 | 1.768 | 3.81 | 0.464 | 0.384 | 0.678 | 0.6 | OK |
| T17 | 37 | 1.6 | 1.4 | 1.11 | 0.022 | 0.0002 | 1.768 | 3.81 | 0.464 | 0.384 | 0.678 | 0.6 | OK |

| | | | | | | | | | | | | | |
|-----|----|-----|-----|------|-------|--------|-------|------|-------|-------|-------|-----|----|
| T18 | 36 | 1.5 | 2.0 | 1.62 | 0.022 | 0.0002 | 2.423 | 4.73 | 0.512 | 0.419 | 1.016 | 1.0 | OK |
| T19 | 32 | 1.4 | 1.2 | 0.94 | 0.022 | 0.0002 | 1.309 | 3.27 | 0.400 | 0.347 | 0.454 | 0.4 | OK |
| T20 | 31 | 1.2 | 1.6 | 1.19 | 0.022 | 0.0002 | 1.428 | 3.58 | 0.399 | 0.354 | 0.551 | 0.5 | OK |
| T21 | 35 | 1.4 | 1.8 | 1.45 | 0.022 | 0.0002 | 2.023 | 4.29 | 0.472 | 0.396 | 0.801 | 0.8 | OK |
| T22 | 32 | 1.4 | 1.2 | 0.94 | 0.022 | 0.0002 | 1.309 | 3.27 | 0.400 | 0.347 | 0.454 | 0.4 | OK |
| T23 | 39 | 1.6 | 1.8 | 1.45 | 0.022 | 0.0002 | 2.312 | 4.49 | 0.515 | 0.417 | 0.964 | 0.9 | OK |
| T24 | 25 | 0.8 | 1.2 | 0.94 | 0.022 | 0.0002 | 0.748 | 2.67 | 0.280 | 0.282 | 0.211 | 0.2 | OK |
| T25 | 31 | 1.2 | 1.6 | 1.19 | 0.022 | 0.0002 | 1.428 | 3.58 | 0.399 | 0.354 | 0.551 | 0.5 | OK |
| T26 | 35 | 1.4 | 1.8 | 1.45 | 0.022 | 0.0002 | 2.023 | 4.29 | 0.472 | 0.396 | 0.801 | 0.8 | OK |
| T27 | 27 | 1.0 | 1.4 | 1.11 | 0.022 | 0.0002 | 1.105 | 3.21 | 0.344 | 0.322 | 0.356 | 0.3 | OK |
| T28 | 37 | 1.6 | 1.4 | 1.11 | 0.022 | 0.0002 | 1.768 | 3.81 | 0.464 | 0.384 | 0.678 | 0.6 | OK |
| T29 | 35 | 1.4 | 1.8 | 1.45 | 0.022 | 0.0002 | 2.023 | 4.29 | 0.472 | 0.396 | 0.801 | 0.8 | OK |
| T30 | 20 | 0.6 | 1.0 | 0.77 | 0.022 | 0.0002 | 0.459 | 2.13 | 0.215 | 0.237 | 0.109 | 0.1 | OK |
| T31 | 37 | 1.6 | 1.4 | 1.11 | 0.022 | 0.0002 | 1.768 | 3.81 | 0.464 | 0.384 | 0.678 | 0.6 | OK |
| T32 | 35 | 1.4 | 1.8 | 1.45 | 0.022 | 0.0002 | 2.023 | 4.29 | 0.472 | 0.396 | 0.801 | 0.8 | OK |
| T33 | 25 | 0.8 | 1.2 | 0.94 | 0.022 | 0.0002 | 0.748 | 2.67 | 0.280 | 0.282 | 0.211 | 0.2 | OK |
| T34 | 37 | 1.6 | 1.4 | 1.11 | 0.022 | 0.0002 | 1.768 | 3.81 | 0.464 | 0.384 | 0.678 | 0.6 | OK |
| T35 | 27 | 1.0 | 1.4 | 1.11 | 0.022 | 0.0002 | 1.105 | 3.21 | 0.344 | 0.322 | 0.356 | 0.3 | OK |
| T36 | 20 | 0.6 | 1.0 | 0.77 | 0.022 | 0.0002 | 0.459 | 2.13 | 0.215 | 0.237 | 0.109 | 0.1 | OK |

(Sumber: Hasil perhitungan)

Tabel 4.31 Dimensi Saluran Tersier DAS Kali Kepiting

| Kode Sal. | Tipe U-Ditch | B m | H m | h m | n | S | A m ² | P m | R m | V m/s | Q _{Hidrolika} m ³ /s | Q _{Hidrologi} m ³ /s | Ket. |
|-----------|--------------|-----|-----|------|-------|--------|------------------|------|-------|-------|--|--|------|
| T37 | 27 | 1.0 | 1.4 | 1.11 | 0.022 | 0.0002 | 1.105 | 3.21 | 0.344 | 0.322 | 0.356 | 0.3 | OK |
| T38 | 31 | 1.2 | 1.6 | 1.19 | 0.022 | 0.0002 | 1.428 | 3.58 | 0.399 | 0.354 | 0.551 | 0.5 | OK |
| T39 | 31 | 1.2 | 1.6 | 1.19 | 0.022 | 0.0002 | 1.428 | 3.58 | 0.399 | 0.354 | 0.551 | 0.5 | OK |
| T40 | 31 | 1.2 | 1.6 | 1.19 | 0.022 | 0.0002 | 1.428 | 3.58 | 0.399 | 0.354 | 0.551 | 0.5 | OK |
| T41 | 37 | 1.6 | 1.4 | 1.11 | 0.022 | 0.0002 | 1.768 | 3.81 | 0.464 | 0.384 | 0.678 | 0.6 | OK |
| T42 | 32 | 1.4 | 1.2 | 0.94 | 0.022 | 0.0002 | 1.309 | 3.27 | 0.400 | 0.347 | 0.454 | 0.4 | OK |
| T43 | 35 | 1.4 | 1.8 | 1.45 | 0.022 | 0.0002 | 2.023 | 4.29 | 0.472 | 0.396 | 0.801 | 0.7 | OK |
| T44 | 25 | 0.8 | 1.2 | 0.94 | 0.022 | 0.0002 | 0.748 | 2.67 | 0.280 | 0.282 | 0.211 | 0.2 | OK |
| T45 | 20 | 0.6 | 1.0 | 0.77 | 0.022 | 0.0002 | 0.459 | 2.13 | 0.215 | 0.237 | 0.109 | 0.1 | OK |
| T46 | 32 | 1.4 | 1.2 | 0.94 | 0.022 | 0.0002 | 1.309 | 3.27 | 0.400 | 0.347 | 0.454 | 0.4 | OK |
| T47 | 40 | 1.6 | 2.0 | 1.62 | 0.022 | 0.0002 | 2.584 | 4.83 | 0.535 | 0.430 | 1.112 | 1.1 | OK |
| T48 | 25 | 0.8 | 1.2 | 0.94 | 0.022 | 0.0002 | 0.748 | 2.67 | 0.280 | 0.282 | 0.211 | 0.2 | OK |
| T49 | 25 | 0.8 | 1.2 | 0.94 | 0.022 | 0.0002 | 0.748 | 2.67 | 0.280 | 0.282 | 0.211 | 0.2 | OK |
| T50 | 25 | 0.8 | 1.2 | 0.94 | 0.022 | 0.0002 | 0.748 | 2.67 | 0.280 | 0.282 | 0.211 | 0.2 | OK |
| T51 | 35 | 1.4 | 1.8 | 1.45 | 0.022 | 0.0002 | 2.023 | 4.29 | 0.472 | 0.396 | 0.801 | 0.7 | OK |
| T52 | 37 | 1.6 | 1.4 | 1.11 | 0.022 | 0.0002 | 1.768 | 3.81 | 0.464 | 0.384 | 0.678 | 0.6 | OK |
| T53 | 32 | 1.4 | 1.2 | 0.94 | 0.022 | 0.0002 | 1.309 | 3.27 | 0.400 | 0.347 | 0.454 | 0.4 | OK |

| | | | | | | | | | | | | | |
|-----|----|-----|-----|------|-------|--------|-------|------|-------|-------|-------|-----|----|
| T54 | 31 | 1.2 | 1.6 | 1.19 | 0.022 | 0.0002 | 1.428 | 3.58 | 0.399 | 0.354 | 0.551 | 0.5 | OK |
| T55 | 39 | 1.6 | 1.8 | 1.45 | 0.022 | 0.0002 | 2.312 | 4.49 | 0.515 | 0.417 | 0.964 | 0.9 | OK |
| T56 | 27 | 1.0 | 1.4 | 1.11 | 0.022 | 0.0002 | 1.105 | 3.21 | 0.344 | 0.322 | 0.356 | 0.3 | OK |
| T57 | 25 | 0.8 | 1.2 | 0.94 | 0.022 | 0.0002 | 0.748 | 2.67 | 0.280 | 0.282 | 0.211 | 0.2 | OK |
| T58 | 27 | 1.0 | 1.4 | 1.11 | 0.022 | 0.0002 | 1.105 | 3.21 | 0.344 | 0.322 | 0.356 | 0.3 | OK |
| T59 | 37 | 1.6 | 1.4 | 1.11 | 0.022 | 0.0002 | 1.768 | 3.81 | 0.464 | 0.384 | 0.678 | 0.6 | OK |
| T60 | 31 | 1.2 | 1.6 | 1.19 | 0.022 | 0.0002 | 1.428 | 3.58 | 0.399 | 0.354 | 0.551 | 0.5 | OK |
| T61 | 20 | 0.6 | 1.0 | 0.77 | 0.022 | 0.0002 | 0.459 | 2.13 | 0.215 | 0.237 | 0.109 | 0.1 | OK |
| T62 | 39 | 1.6 | 1.8 | 1.45 | 0.022 | 0.0002 | 2.312 | 4.49 | 0.515 | 0.417 | 0.964 | 0.9 | OK |
| T63 | 40 | 1.6 | 2.0 | 1.62 | 0.022 | 0.0002 | 2.584 | 4.83 | 0.535 | 0.430 | 1.112 | 1.1 | OK |
| T64 | 32 | 1.4 | 1.2 | 0.94 | 0.022 | 0.0002 | 1.309 | 3.27 | 0.400 | 0.347 | 0.454 | 0.4 | OK |
| T65 | 39 | 1.6 | 1.8 | 1.45 | 0.022 | 0.0002 | 2.312 | 4.49 | 0.515 | 0.417 | 0.964 | 0.9 | OK |
| T66 | 31 | 1.2 | 1.6 | 1.19 | 0.022 | 0.0002 | 1.428 | 3.58 | 0.399 | 0.354 | 0.551 | 0.5 | OK |
| T67 | 32 | 1.4 | 1.2 | 0.94 | 0.022 | 0.0002 | 1.309 | 3.27 | 0.400 | 0.347 | 0.454 | 0.4 | OK |
| T68 | 31 | 1.2 | 1.6 | 1.19 | 0.022 | 0.0002 | 1.428 | 3.58 | 0.399 | 0.354 | 0.551 | 0.5 | OK |
| T69 | 31 | 1.2 | 1.6 | 1.19 | 0.022 | 0.0002 | 1.428 | 3.58 | 0.399 | 0.354 | 0.551 | 0.5 | OK |
| T70 | 35 | 1.4 | 1.8 | 1.45 | 0.022 | 0.0002 | 2.023 | 4.29 | 0.472 | 0.396 | 0.801 | 0.7 | OK |
| T71 | 31 | 1.2 | 1.6 | 1.19 | 0.022 | 0.0002 | 1.428 | 3.58 | 0.399 | 0.354 | 0.551 | 0.5 | OK |
| T72 | 39 | 1.6 | 1.8 | 1.45 | 0.022 | 0.0002 | 2.312 | 4.49 | 0.515 | 0.417 | 0.964 | 0.9 | OK |
| T73 | 25 | 0.8 | 1.2 | 0.94 | 0.022 | 0.0002 | 0.748 | 2.67 | 0.280 | 0.282 | 0.211 | 0.2 | OK |

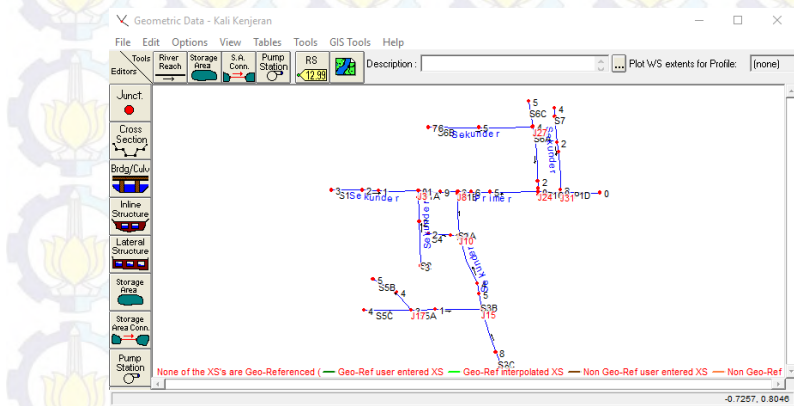
| | | | | | | | | | | | | | |
|-----|----|-----|-----|------|-------|--------|-------|------|-------|-------|-------|-----|----|
| T74 | 32 | 1.4 | 1.2 | 0.94 | 0.022 | 0.0002 | 1.309 | 3.27 | 0.400 | 0.347 | 0.454 | 0.4 | OK |
| T75 | 27 | 1.0 | 1.4 | 1.11 | 0.022 | 0.0002 | 1.105 | 3.21 | 0.344 | 0.322 | 0.356 | 0.3 | OK |
| T76 | 27 | 1.0 | 1.4 | 1.11 | 0.022 | 0.0002 | 1.105 | 3.21 | 0.344 | 0.322 | 0.356 | 0.3 | OK |
| T77 | 37 | 1.6 | 1.4 | 1.11 | 0.022 | 0.0002 | 1.768 | 3.81 | 0.464 | 0.384 | 0.678 | 0.6 | OK |
| T78 | 37 | 1.6 | 1.4 | 1.11 | 0.022 | 0.0002 | 1.768 | 3.81 | 0.464 | 0.384 | 0.678 | 0.6 | OK |
| T79 | 31 | 1.2 | 1.6 | 1.19 | 0.022 | 0.0002 | 1.428 | 3.58 | 0.399 | 0.354 | 0.551 | 0.5 | OK |
| T80 | 37 | 1.6 | 1.4 | 1.11 | 0.022 | 0.0002 | 1.768 | 3.81 | 0.464 | 0.384 | 0.678 | 0.6 | OK |
| T81 | 40 | 1.6 | 2.0 | 1.62 | 0.022 | 0.0002 | 2.584 | 4.83 | 0.535 | 0.430 | 1.112 | 1.1 | OK |
| T82 | 36 | 1.5 | 2.0 | 1.62 | 0.022 | 0.0002 | 2.423 | 4.73 | 0.512 | 0.419 | 1.016 | 1.0 | OK |
| T83 | 32 | 1.4 | 1.2 | 0.94 | 0.022 | 0.0002 | 1.309 | 3.27 | 0.400 | 0.347 | 0.454 | 0.4 | OK |
| T84 | 35 | 1.4 | 1.8 | 1.45 | 0.022 | 0.0002 | 2.023 | 4.29 | 0.472 | 0.396 | 0.801 | 0.7 | OK |
| T85 | 40 | 1.6 | 2.0 | 1.62 | 0.022 | 0.0002 | 2.584 | 4.83 | 0.535 | 0.430 | 1.112 | 1.1 | OK |
| T86 | 43 | 2.5 | 2.5 | 2.04 | 0.022 | 0.0002 | 5.100 | 6.58 | 0.775 | 0.545 | 2.779 | 2.7 | OK |

(Sumber: Hasil perhitungan)

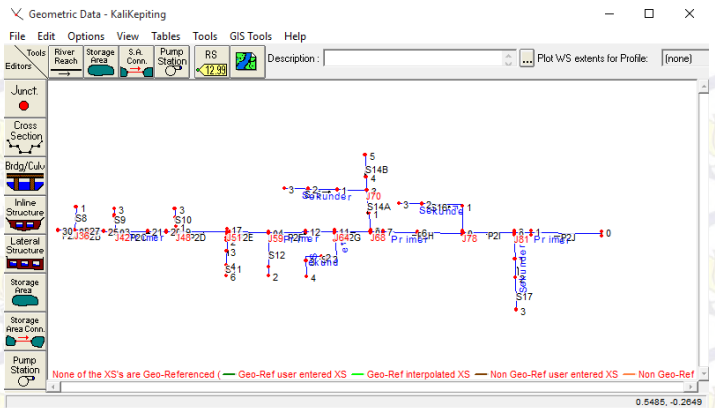
4.4.2. Analisa Kapasitas Saluran Sekunder dan Primer dengan Program Bantu HEC-RAS

Perhitungan saluran sekunder dan primer akan dilakukan dengan program bantu HEC-RAS. Penampang saluran direncanakan berbentuk persegi empat. Untuk saluran sekunder, jika dimensi yang didapatkan dari hasil HEC-RAS terdapat pada *precast* U-Ditch (Tabel 4.29), maka saluran tersebut akan menggunakan pasangan beton *precast*. Sedangkan jika dimensi yang didapatkan tidak ada pada *precast* U-Ditch, maka saluran akan menggunakan perkuatan dengan *sheet pile* pada tebing saluran. Parameter yang digunakan dalam HEC-RAS adalah hidrograf saluran tersier yang didapat dari HEC-HMS kemudian ditambahkan dengan *baseflow*. *Baseflow* direncanakan sebesar 30% dari *peak discharge*-nya. Hidrograf yang sudah ditambah *baseflow* bisa dilihat pada Lampiran 3 dan Lampiran 4.

Langkah pertama dalam simulasi HEC-RAS adalah membuat skema saluran. Hampir sama dengan HEC-HMS namun disini hanya memasukkan saluran sekunder dan primernya. Hasilnya bisa dilihat pada Gambar 4.8 untuk DAS Kali Kenjeran dan Gambar 4.9 untuk DAS Kali Kepiting.

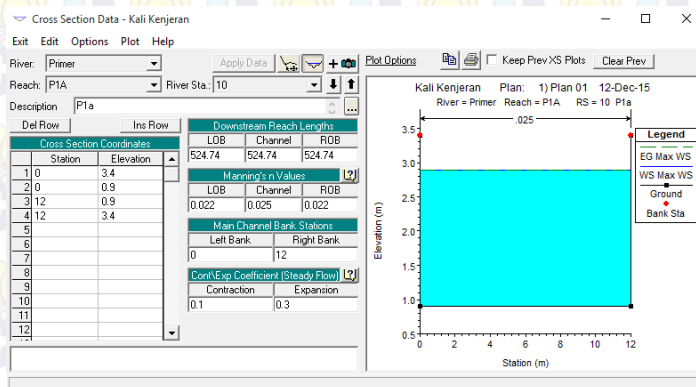


Gambar 4.8 Skema saluran HEC-RAS DAS Kali Kenjeran



Gambar 4.9 Skema saluran HEC-RAS DAS Kali Kepiting

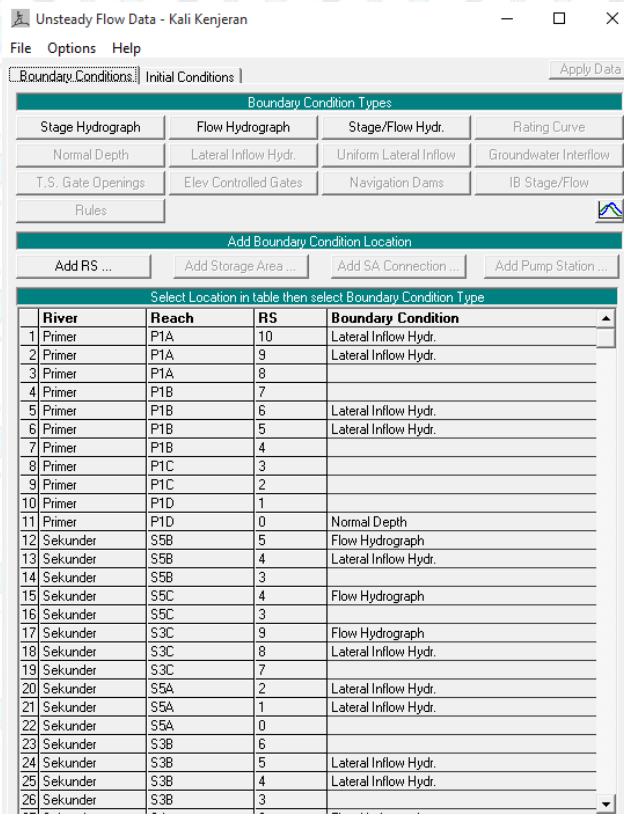
Kemudian input bentuk penampangnya. Dalam *Cross Section Data* juga terdapat inputan panjang saluran serta koefisien manning. Koefisien manning sebesar 0,022 untuk LOB dan ROB serta 0,025 untuk *Channel*. Salah satu hasil *cross section* bisa dilihat pada Gambar 4.10.



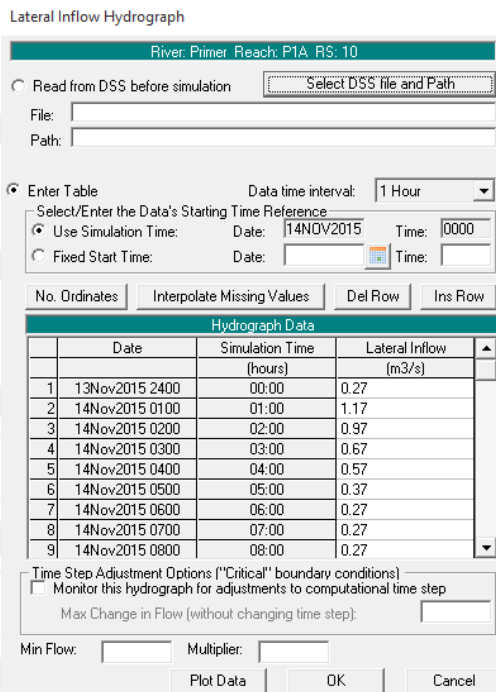
Gambar 4.10 *Cross Section* saluran pada HEC-RAS

Langkah berikutnya adalah menginput hidrograf saluran tersier pada masing - masing *cross section*-nya dalam *Unsteady*

Flow Data. Pada tab *Boundary Conditions*, semua *cross section* yang berada di hulu isi dengan *Flow Hydrograph*. Kemudian untuk *cross section* lainnya isi dengan *Lateral Inflow Hydrograph*. Namun untuk *cross section* yang paling hilir saluran primer isi dengan *Normal Depth*. Hasilnya bisa dilihat pada Gambar 4.11. Salah satu contoh inputan hidrograf bisa dilihat pada Gambar 4.12.

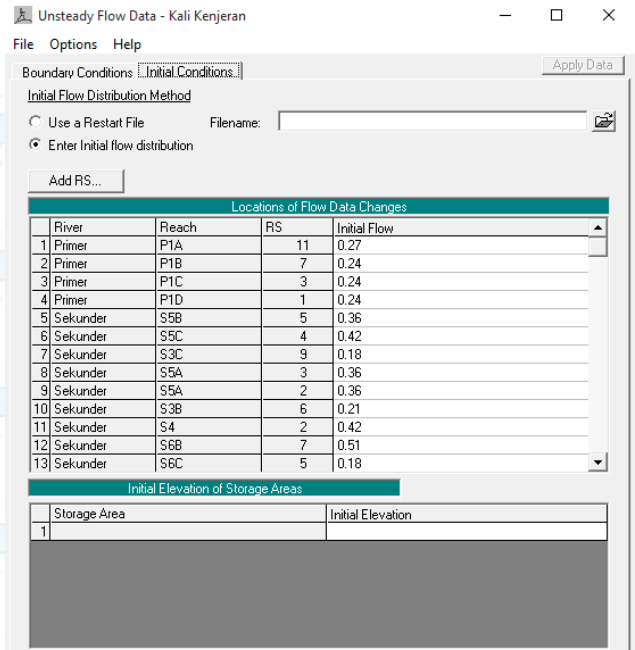


Gambar 4.11 *Boundary Conditions*



Gambar 4.12 Hidrograf HEC-RAS

Kemudian pada tab *Initial Conditions*, input nilai debit sesuai pada jam ke 00:00 nya. Hasil Initial Conditions bisa dilihat pada Gambar 4.13.



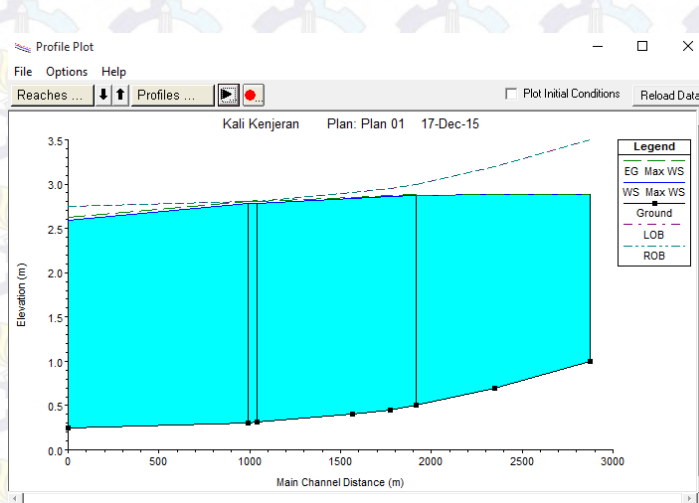
Gambar 4.13 *Initial Conditions*

Setelah semua data dimasukkan, maka selanjutnya adalah me-*running* program HEC-RAS. Cara melakukannya adalah:

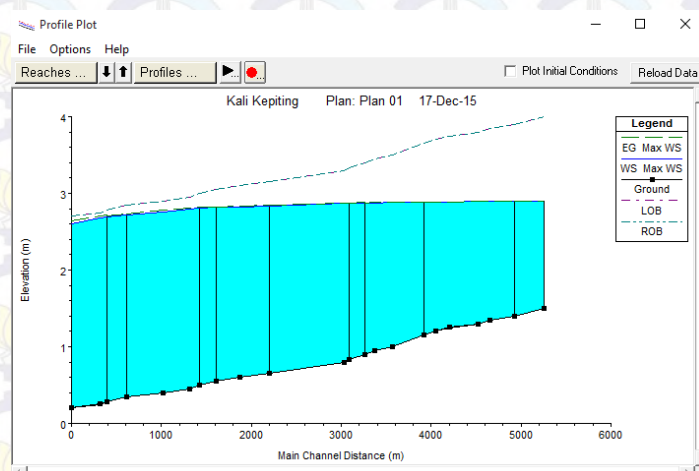
1. Pilih menu *run*
2. Pilih *unsteady flow analysis*
3. Centang *geometry preprocessor*, *unsteady flow simulation*, dan *post processor*
4. Isi *simulation time window* sesuai dengan waktu *flow hydrograph*
5. Tekan tombol *compute*

Output dari HEC-RAS bisa dilihat pada menu *View* → *Water Surface Profiles*. Output ini menampilkan potongan memanjang saluran sepanjang penampang. Saluran primer Kali Kenjeran dan Kali Kepiting bisa dilihat pada Gambar 4.14 dan

Gambar 4.15. Untuk output saluran sekunder bisa dilihat pada Lampiran 5 dan Lampiran 6.



Gambar 4.14 Potongan memanjang Kali Kenjeran



Gambar 4.15 Potongan memanjang Kali Kepiting

Berdasarkan output HEC-RAS diatas, saluran primer sudah memenuhi. Berikut Tabel 4.32 dan Tabel 4.33 untuk dimensi saluran sekunder dan primer masing - masing DAS.

Tabel 4.32 Dimensi Saluran Sekunder dan Primer DAS Kali Kenjeran

| Kode Sal. | S | B m | H m | Bentuk Saluran |
|-----------|--------|-----|-----|----------------|
| S1a | 0.0003 | 3 | 2.5 | Tipe 44 |
| S1b | 0.0003 | 3 | 2.5 | Tipe 44 |
| S1c | 0.0002 | 3 | 2.5 | Tipe 44 |
| S2a | 0.0003 | 3 | 2.5 | Tipe 44 |
| S2b | 0.0004 | 3 | 2.5 | Tipe 44 |
| S2c | 0.0004 | 3 | 2.5 | Tipe 44 |
| S3a | 0.0003 | 5 | 2.5 | Persegi |
| S3b | 0.0003 | 5 | 2.5 | Persegi |
| S3c | 0.0004 | 5 | 2.5 | Persegi |
| S3d | 0.0003 | 5 | 2.5 | Persegi |
| S3e | 0.0004 | 5 | 2.5 | Persegi |
| S3f | 0.0003 | 5 | 2.5 | Persegi |
| S3g | 0.0003 | 5 | 2.5 | Persegi |
| S4a | 0.0002 | 3 | 2.5 | Tipe 44 |
| S4b | 0.0003 | 3 | 2.5 | Tipe 44 |
| S5a | 0.0002 | 4 | 2.5 | Persegi |
| S5b | 0.0002 | 4 | 2.5 | Persegi |
| S5c | 0.0003 | 4 | 2.5 | Persegi |
| S5d | 0.0004 | 4 | 2.5 | Persegi |

| Kode Sal. | S | B m | H m | Bentuk Saluran |
|-----------|--------|-----|-----|----------------|
| S5e | 0.0002 | 4 | 2.5 | Persegi |
| S6a | 0.0003 | 3 | 2.5 | Tipe 44 |
| S6b | 0.0003 | 3 | 2.5 | Tipe 44 |
| S6c | 0.0003 | 3 | 2.5 | Tipe 44 |
| S6d | 0.0003 | 3 | 2.5 | Tipe 44 |
| S6e | 0.0003 | 3 | 2.5 | Tipe 44 |
| S6f | 0.0005 | 3 | 2.5 | Tipe 44 |
| S6g | 0.0002 | 3 | 2.5 | Tipe 44 |
| S7a | 0.0002 | 4 | 2.5 | Persegi |
| S7b | 0.0003 | 4 | 2.5 | Persegi |
| S7c | 0.0002 | 4 | 2.5 | Persegi |
| S7d | 0.0003 | 4 | 2.5 | Persegi |
| P1a | 0.0006 | 12 | 2.5 | Persegi |
| P1b | 0.0005 | 12 | 2.5 | Persegi |
| P1c | 0.0004 | 12 | 2.5 | Persegi |
| P1d | 0.0002 | 12 | 2.5 | Persegi |
| P1e | 0.0002 | 12 | 2.5 | Persegi |
| P1f | 0.0002 | 12 | 2.5 | Persegi |
| P1g | 0.0001 | 12 | 2.5 | Persegi |

(Sumber: Hasil perhitungan HEC-RAS)

Tabel 4.33 Dimensi Saluran Sekunder dan Primer
DAS Kali Kepiting

| Kode Sal. | S | B m | H m | Bentuk Saluran | Kode Sal. | S | B m | H m | Bentuk Saluran |
|-----------|--------|-----|-----|----------------|-----------|--------|-----|-----|----------------|
| S8 | 0.0002 | 4 | 2.5 | Persegi | S16b | 0.0007 | 4 | 2.5 | Persegi |
| S9a | 0.0004 | 4 | 2.5 | Persegi | S16c | 0.0008 | 4 | 2.5 | Persegi |
| S9b | 0.0005 | 4 | 2.5 | Persegi | S17a | 0.0007 | 4 | 2.5 | Persegi |
| S9c | 0.0004 | 4 | 2.5 | Persegi | S17b | 0.0009 | 4 | 2.5 | Persegi |
| S10a | 0.0004 | 3 | 2.5 | Tipe 44 | S17c | 0.0008 | 4 | 2.5 | Persegi |
| S10b | 0.0004 | 3 | 2.5 | Tipe 44 | P2a | 0.0003 | 18 | 2.5 | Persegi |
| S10c | 0.0004 | 3 | 2.5 | Tipe 44 | P2b | 0.0002 | 18 | 2.5 | Persegi |
| S11a | 0.0003 | 4 | 2.5 | Persegi | P2c | 0.0004 | 18 | 2.5 | Persegi |
| S11b | 0.0005 | 4 | 2.5 | Persegi | P2d | 0.0002 | 18 | 2.5 | Persegi |
| S11c | 0.0003 | 4 | 2.5 | Persegi | P2e | 0.0003 | 18 | 2.5 | Persegi |
| S11d | 0.0003 | 4 | 2.5 | Persegi | P2f | 0.0004 | 18 | 2.5 | Persegi |
| S11e | 0.0004 | 4 | 2.5 | Persegi | P2g | 0.0004 | 18 | 2.5 | Persegi |
| S11f | 0.0004 | 4 | 2.5 | Persegi | P2h | 0.0003 | 18 | 2.5 | Persegi |
| S12a | 0.0006 | 3 | 2.5 | Tipe 44 | P2i | 0.0005 | 18 | 2.5 | Persegi |
| S12b | 0.0007 | 3 | 2.5 | Tipe 44 | P2j | 0.0004 | 18 | 2.5 | Persegi |
| S13a | 0.0007 | 4 | 2.5 | Persegi | P2k | 0.0006 | 18 | 2.5 | Persegi |
| S13b | 0.0005 | 4 | 2.5 | Persegi | P2l | 0.0002 | 18 | 2.5 | Persegi |
| S13c | 0.0004 | 4 | 2.5 | Persegi | P2m | 0.0002 | 18 | 2.5 | Persegi |
| S13d | 0.0004 | 4 | 2.5 | Persegi | P2n | 0.0002 | 18 | 2.5 | Persegi |
| S14a | 0.0004 | 4 | 2.5 | Persegi | P2o | 0.0003 | 18 | 2.5 | Persegi |
| S14b | 0.0004 | 4 | 2.5 | Persegi | P2p | 0.0004 | 18 | 2.5 | Persegi |
| S14c | 0.0005 | 4 | 2.5 | Persegi | P2q | 0.0002 | 18 | 2.5 | Persegi |
| S14d | 0.0006 | 4 | 2.5 | Persegi | P2r | 0.0001 | 18 | 2.5 | Persegi |
| S15a | 0.0003 | 4 | 2.5 | Persegi | P2s | 0.0003 | 18 | 2.5 | Persegi |
| S15b | 0.0005 | 4 | 2.5 | Persegi | P2t | 0.0004 | 18 | 2.5 | Persegi |
| S15c | 0.0006 | 4 | 2.5 | Persegi | P2u | 0.0002 | 18 | 2.5 | Persegi |
| S16a | 0.0005 | 4 | 2.5 | Persegi | | | | | |

(Sumber: Hasil perhitungan HEC-RAS)

4.4.3. Analisa Boezem dengan Program Bantu HEC-RAS

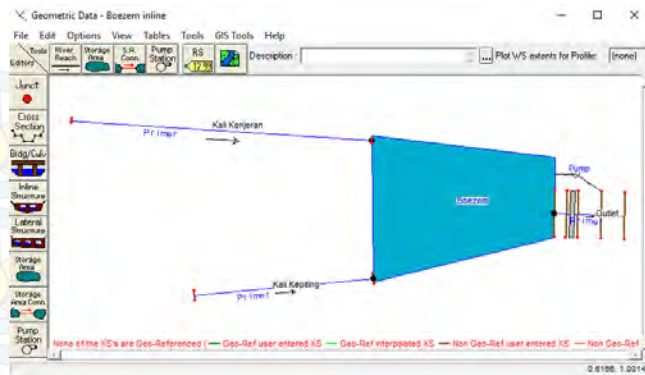
Boezem diperlukan karena adanya *backwater* akibat pasang surut muka air laut yang terjadi pada hilir Saluran Primer Kali Kenjeran dan Kali Kepiting. Dalam Tugas Akhir ini, analisa boezem menggunakan program bantu HEC-RAS.

Posisi boezem direncanakan seperti pada Gambar 4.16 dengan luas 200.000 m² serta kedalaman 2,5 m. Elevasi boezem direncanakan sama dengan elevasi hilir Saluran Kali Kepiting, yaitu +0,2 m. Hal ini dikarenakan elevasi hilir Saluran Kali Kepiting lebih rendah dari pada Saluran Kali Kenjeran yaitu sebesar +0,25 m.



Gambar 4.16 Lokasi rencana boezem

Sama seperti bab sebelumnya, langkah pertama adalah membuat skema pada *Geometric Data*. Hasil skemanya bisa dilihat pada Gambar 4.17 berikut.



Gambar 4.17 Skema boezem HEC-RAS

Saluran Kali Kenjeran dan Saluran Kali Kepiting hanya dibuat masing - masing dua *cross sections* yang paling hilir, yaitu P1g dan P2u. Berikut inputan *cross sections* pada kedua saluran:

| Cross Section Data - Boezem inline | | | | | |
|------------------------------------|---------------|-------------|------|-------------------|--|
| Exit | | Edit | | Options Plot Help | |
| River: | Primer | Apply Data | | | |
| Reach: | Kali Kenjeran | River Sta.: | | 1 | |
| Description: | P1g | Del Row | | Ins Row | |
| Downstream Reach Lengths | | | | | |
| | LOB | Channel | ROB | | |
| 990 | 990 | 990 | 990 | | |
| Manning's n Values | | | | | |
| | LOB | Channel | ROB | | |
| 0.02 | 0.025 | 0.02 | 0.02 | | |
| Main Channel Bank Stations | | | | | |
| | Left Bank | Right Bank | | | |
| 0 | 12 | | | | |
| Cont/Exp Coefficient (Steady Flow) | | | | | |
| | Contraction | Expansion | | | |
| 0.1 | 0.3 | | | | |

| Cross Section Data - Boezem inline | | | | | |
|------------------------------------|---------------|-------------|--------|-------------------|--|
| Exit | | Edit | | Options Plot Help | |
| River: | Primer | Apply Data | | | |
| Reach: | Kali Kepiting | River Sta.: | | 1 | |
| Description: | P2u | Del Row | | Ins Row | |
| Downstream Reach Lengths | | | | | |
| | LOB | Channel | ROB | | |
| 315.11 | 315.11 | 315.11 | 315.11 | | |
| Manning's n Values | | | | | |
| | LOB | Channel | ROB | | |
| 0.02 | 0.025 | 0.02 | 0.02 | | |
| Main Channel Bank Stations | | | | | |
| | Left Bank | Right Bank | | | |
| 0 | 18 | | | | |
| Cont/Exp Coefficient (Steady Flow) | | | | | |
| | Contraction | Expansion | | | |
| 0.1 | 0.3 | | | | |

Gambar 4.18 *Cross sections* hilir Kali Kenjeran dan Kali Kepiting

Saluran outlet direncanakan dengan panjang 30 m dan lebar 20 m. Buat saluran outlet dengan 4 *cross sections*. *Cross section* 1 (10 m) untuk pompa, *cross section* 2 (10 m) dan 3 (5 m) untuk pintu, serta *cross section* 4 (5 m) untuk inlet dari boezem. Berikut inputan *cross sections* pada outlet:

River: Primer Reach: Outlet River Sta.: []

Downstream Reach Lengths

| LOB | Channel | ROB |
|-----|---------|-----|
| 10 | 10 | 10 |

Manning's n Values

| LOB | Channel | ROB |
|------|---------|------|
| 0.02 | 0.025 | 0.02 |

Main Channel Bank Stations

| Left Bank | Right Bank |
|-----------|------------|
| 0 | 20 |

Con/Exp Coefficient (Steady Flow)

| Contraction | Expansion |
|-------------|-----------|
| 0.1 | 0.3 |

River: Primer Reach: Outlet River Sta.: []

Downstream Reach Lengths

| LOB | Channel | ROB |
|-----|---------|-----|
| 10 | 10 | 10 |

Manning's n Values

| LOB | Channel | ROB |
|------|---------|------|
| 0.02 | 0.025 | 0.02 |

Main Channel Bank Stations

| Left Bank | Right Bank |
|-----------|------------|
| 0 | 20 |

Con/Exp Coefficient (Steady Flow)

| Contraction | Expansion |
|-------------|-----------|
| 0.1 | 0.3 |

River: Primer Reach: Outlet River Sta.: []

Downstream Reach Lengths

| LOB | Channel | ROB |
|-----|---------|-----|
| 5 | 5 | 5 |

Manning's n Values

| LOB | Channel | ROB |
|------|---------|------|
| 0.02 | 0.025 | 0.02 |

Main Channel Bank Stations

| Left Bank | Right Bank |
|-----------|------------|
| 0 | 20 |

Con/Exp Coefficient (Steady Flow)

| Contraction | Expansion |
|-------------|-----------|
| 0.1 | 0.3 |

River: Primer Reach: Outlet River Sta.: []

Downstream Reach Lengths

| LOB | Channel | ROB |
|-----|---------|-----|
| 5 | 5 | 5 |

Manning's n Values

| LOB | Channel | ROB |
|------|---------|------|
| 0.02 | 0.025 | 0.02 |

Main Channel Bank Stations

| Left Bank | Right Bank |
|-----------|------------|
| 0 | 20 |

Con/Exp Coefficient (Steady Flow)

| Contraction | Expansion |
|-------------|-----------|
| 0.1 | 0.3 |

Gambar 4.19 Cross sections Outlet

Elevasi hulu pada Outlet (*cross section 4*) disamakan dengan elevasi boezem yaitu sebesar +0,2 m.

Kemudian gambar *Storage Area*. Pada saat menggambar storage area, pastikan garisnya memotong Saluran Kali Kenjeran dan Kali Kepiting serta Saluran Outlet. Hal ini dimaksudkan agar ketiga saluran *connect* dengan boezemnya. Masuk ke *Storage Area Editor*, input luas dan elevasi boezem seperti pada Gambar 4.20.

Storage Area Editor

Storage Area: Boezem

Connections and References to this Storage Area

| | |
|----------|-----------------|
| XS: RS=4 | XS: RS=0 |
| XS: RS=0 | Pump: Pump (to) |

Area times depth method Area (1000 m²)

Min Elev: 0.2

Gambar 4.20 Storage Area Editor

Langkah selanjutnya adalah membuat pompa. Jumlah pompa direncanakan 4 buah dengan debit masing - masing pompa $2,5 \text{ m}^3/\text{s}$ dan maksimal head 6 m. Input data pompa seperti pada Gambar 4.21 dan Gambar 4.22.

Pump Station Name: Pump

Pump Connection Data | Pump Group Data | Advanced Control Rules

Pump From: Storage area: Boezem Set RS | Set SA | Del

Distance from upstream RS to the pump intake: []

Pump To: Primer Outlet RS: 1 Set RS | Set SA | Del

Distance from the upstream RS to the pump outlet: []

Gambar 4.21 Pump Connection Data

Pump Station Name: Pump

Pump Connection Data | Pump Group Data | Advanced Control Rules

Group Name: Group #1 Add Group Delete Group ... Rename Group ...

Pump Groups

Number of Pumps in Group: 4

Startup (min): 0 Shutdown (min): 0

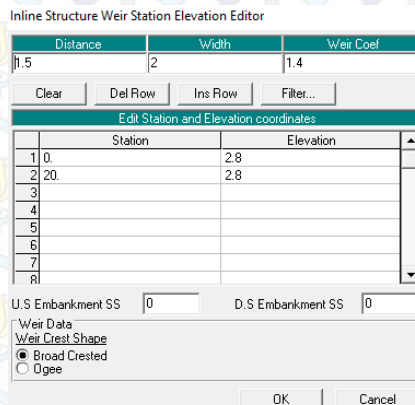
Bias group operations to On (at start of simulation)

| Pump Operations | | |
|-----------------|----------------|-----------------|
| Pump Name | WS Elev On (m) | WS Elev Off (m) |
| 1 Pump #1 | 1 | 0.5 |
| 2 Pump #2 | 1 | 0.5 |
| 3 Pump #3 | 1 | 0.5 |
| 4 Pump #4 | 1 | 0.5 |

| Pump Efficiency Curve | | |
|-----------------------|-------------------------|-----|
| Head(m) | Flow(m ³ /s) | |
| 1 | 6 | 2.1 |
| 2 | 5 | 2.2 |
| 3 | 4 | 2.3 |
| 4 | 3 | 2.4 |
| 5 | 2 | 2.5 |
| 6 | | |
| 7 | | |
| 8 | | |
| 9 | | |

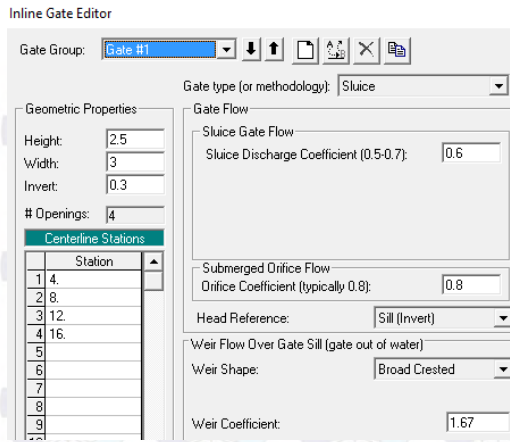
Gambar 4.22 Pump Group Data

Terakhir dalam *Geometric Data* adalah membuat pintu. Pintu direncanakan 4 buah dengan lebar 3 m dan tinggi 2,5 m. Klik *Inline Structure* pada window utama. Pilih *reach Outlet*, kemudian *Option → Add an inline structure*, masukkan 2.5. Maksudnya adalah posisi pintu berada antara *cross section 3* dan *cross section 2*. Klik *Weir/Embankment* kemudian input nilai - nilai seperti pada Gambar 4.23.



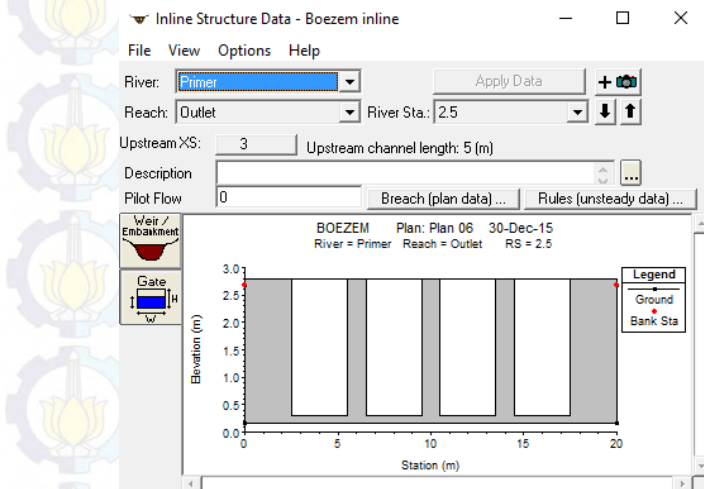
Gambar 4.23 Weir Station

Distance adalah jarak pintu terhadap *cross section 3* sedangkan Width adalah lebar *embankment*. Kemudian klik *Gate* untuk inputan data pintu. Masukkan data pintu seperti pada Gambar 4.24 berikut:



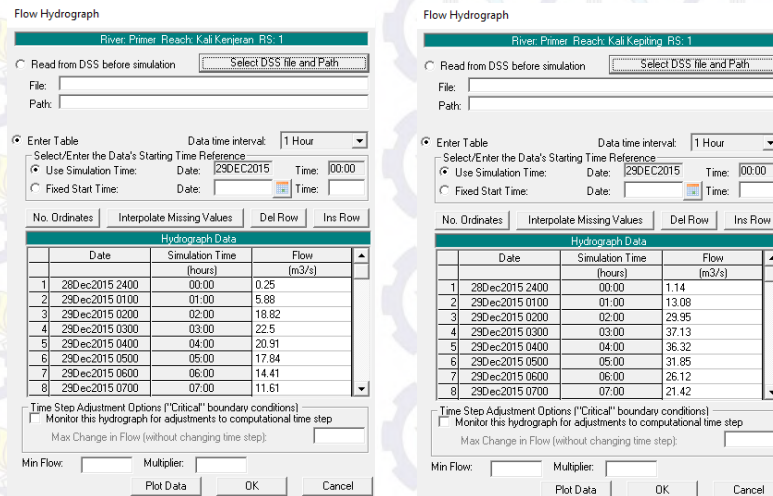
Gambar 4.24 Gate Editor

Outputnya akan tampak seperti pada Gambar 4.25 berikut:



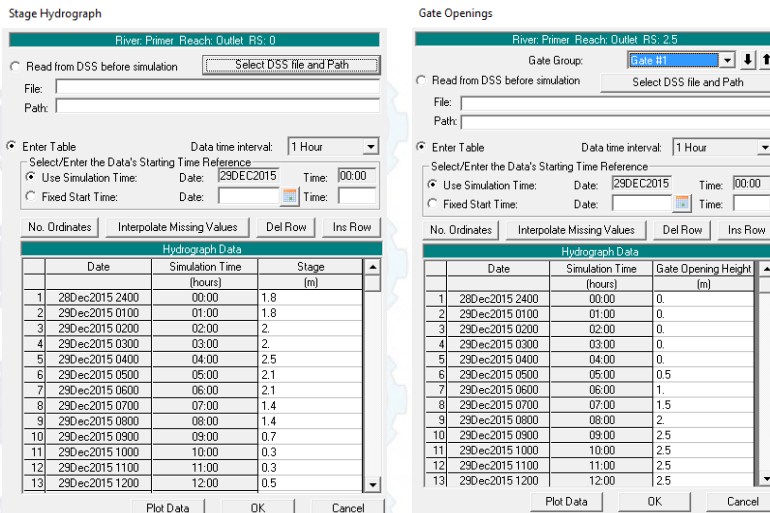
Gambar 4.25 Inline Structure Editor

Setelah input *Geometric Data* sudah selesai, selanjutnya adalah menginput *Unsteady Flow Data*. Hidrograf untuk Saluran Kali Kenjeran dan Kali Kepiting bisa didapat dari outputan HEC-RAS sebelumnya. Kemudian ambil hidrograf yang paling hilir (P1g dan P2u) untuk dimasukkan pada analisa bozem ini. Berikut dapat dilihat pada Gambar 4.26 untuk hidrograf Kali Kenjeran dan Kali Kepiting.



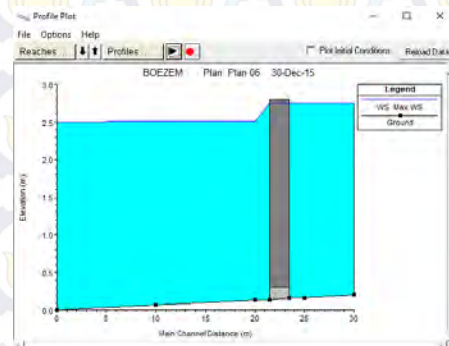
Gambar 4.26 Flow Hydrograph Kali Kenjeran dan Kali Kenjeran

Pilih *Stage Hydrograph* untuk Outlet lalu input data pasang surut air laut. Dalam Tugas Akhir ini direncanakan pada kondisi ekstrim, waktu kondisi pasang disamakan dengan waktu debit puncak. Kemudian pilih *T.S. Gate Openings* untuk mengatur tinggi bukaan pintu. Pintu direncanakan tertutup pada saat air laut pasang dan terbuka berangsur - angsur ketika air laut mulai surut. *Stage Hydrograph* untuk Outlet dan *Gate Openings* untuk pintu bisa dilihat pada Gambar 4.27.



Gambar 4.27 Stage Hydrograph dan Gate Openings

Setelah semua sudah di input, terakhir adalah me-*running* HEC-RAS. Output dari analisa boezem pada waktu puncak bisa dilihat pada Gambar 4.28 berikut.



Gambar 4.28 Saluran Outlet pada kondisi puncak

Berdasarkan hasil analisa tersebut dapat disimpulkan bahwa perencanaan boezem, termasuk di dalamnya pintu dan pompa, sudah dapat memenuhi.

BAB V

KESIMPULAN DAN SARAN

5.1. Kesimpulan

Berdasarkan hasil analisa dan pembahasan dalam Tugas Akhir ini, maka dapat diambil kesimpulan sebagai berikut:

1. Banjir terjadi karena dimensi saluran primer yang kurang memadai. Berdasarkan hasil perhitungan didapat lebar Saluran Kali Kenjeran sebesar 12 m dan Saluran Kali Kepiting sebesar 18 m. Namun lebar eksisting Saluran Kali Kenjeran hanya 10 m dan Saluran Kali Kepiting 16 m.
2. Berdasarkan perhitungan HEC-HMS, didapat besar debit rencana dari setiap sub DAS berkisar antara $0,1 \text{ m}^3/\text{s}$ sampai $2,8 \text{ m}^3/\text{s}$.
3. Saluran tersier direncanakan dengan *precast U-Ditch* sesuai pada Tabel 4.23. Dimensinya didapat cukup variatif, berkisar antara $60 \times 100 \text{ cm}$ hingga $250 \times 250 \text{ cm}$. Untuk saluran sekunder direncanakan hanya satu tipe dimensi yang menggunakan U-Ditch, yaitu $300 \times 250 \text{ cm}$. Sedangkan dua tipe dimensi lainnya menggunakan perkuatan *sheet pile* dengan dimensi $400 \times 250 \text{ cm}$ dan $500 \times 250 \text{ cm}$. Saluran primer direncanakan dengan perkuatan *sheet pile*. Dimensi Saluran Kali Kenjeran adalah $12 \times 2,5 \text{ m}$ dan Kali Kepiting sebesar $18 \times 2,5 \text{ m}$.

Tabel 5.1 Tipe U-Ditch yang dipakai

| Tipe | B | H |
|------|-----|-----|
| | m | m |
| 20 | 0.6 | 1.0 |
| 25 | 0.8 | 1.2 |
| 27 | 1.0 | 1.4 |
| 31 | 1.2 | 1.6 |
| 32 | 1.4 | 1.2 |
| 35 | 1.4 | 1.8 |

| Tipe | B | H |
|------|-----|-----|
| | m | m |
| 36 | 1.5 | 2.0 |
| 37 | 1.6 | 1.4 |
| 39 | 1.6 | 1.8 |
| 40 | 1.6 | 2.0 |
| 43 | 2.5 | 2.5 |
| 44 | 3.0 | 2.5 |

4. Akibat adanya *backwater* maka direncanakan pembangunan boezem seluas 200.000 m² dengan kedalaman 2,5 m disertai dengan 4 pompa (Q 1 pompa = 2,5 m³/s) dan 4 pintu (dimensi 1 pintu = 3 m x 2,5 m).

5.2. Saran

Berdasarkan penggerjaan Tugas Akhir ini, penulis memberikan beberapa saran antara lain:

1. Sedimentasi yang terjadi perlu dikontrol. Dalam Tugas Akhir ini, penulis memberikan toleransi tinggi sedimen hingga 15% dari tinggi U-Ditch. Apabila Tugas Akhir ini dipakai di lapangan, maka perlu adanya pengerukan sedimentasi secara berkala. Sehingga tinggi sedimen tidak melebihi batas toleransi yang menyebabkan banjir.
2. Perlunya kelengkapan data eksisting untuk membandingkan kodisi di lapangan dan perencanaan. Penulis tidak mendapatkan data eksisting saluran, sehingga hanya membandingkan dimensi saluran primer di lapangan dan perencanaan secara kasat mata.

DAFTAR PUSTAKA

- Anggrahini. 1996. **Hidrolik Saluran Terbuka**. Surabaya: CV. Citra Media.
- Chow, Ven Te. 1985. **Hidrolik Saluran Terbuka**. Jakarta: Erlangga.
- Departemen Permukiman dan Prasarana Wilayah Direktorat Jenderal Tata Perkotaan dan Tata Perdesaan. 2003. **Buku Panduan dan Petunjuk Praktis Pengelolaan Drainase Perkotaan**. Jakarta.
- Linsley, R.K., Kohler, M.A., & Paulus, J.L.H. 1982. **Hydrology for Engineers**. New York: McGraw Hill.
- Lasmito, U. 2010. **Modul Ajar Hidrologi**. Surabaya: ITS.
- Soemarto. 1995. **Hidrologi Teknik**. Jakarta: Erlangga.
- Soewarno. 1995. **Hidrologi: Aplikasi Metode Statistik untuk Analisis Data Jilid 1**. Bandung: NOVA.
- Soewarno. 1995. **Hidrologi: Aplikasi Metode Statistik untuk Analisis Data Jilid 2**. Bandung: NOVA.
- Sofia, F. 2006. **Sistem Bangunan Drainase**. Surabaya: ITS.
- Sri Harto. 1993. **Analisis Hidrologi**. Jakarta: Gramedia Pustaka Utama.
- Sri Harto. 1993. **Hidrologi Terapan**. Yogyakarta: Biro Penerbit Keluarga Mahasiswa Teknik Sipil UGM.

Subarkah, I. 1980. **Hidrologi untuk Bangunan Air**. Bandung: NOVA.

Sugiyanto, Ir, M.Eng. 2001. **Diklat kuliah Pengendali Banjir**. Semarang: Universitas Diponogoro.

Suhartanto, Ery. 2008. **Panduan HEC-HMS**. Malang: CV Citra.

Suripin. 2004. **Sistem Drainase Perkotaan yang Berkelanjutan**. Yogyakarta: Andi Offset.

Triadmojo, Bambang. 2008. **Hidrologi Terapan**. Jakarta: Beta Offset.

USACE. 2000. **HEC-HMS Technical Reference Manual**. USA: HEC-HMS.

USACE. 2013. **HEC-HMS User's Manual**. USA: HEC-HMS.

USACE. 2010. **HEC-RAS Technical Reference Manual**. USA: HEC-RAS.

USACE. 2010. **HEC-RAS User's Manual**. USA: HEC-RAS.

Lampiran 1

Tabel L1. Hidrograf Saluran Tersier DAS Kali Kenjeran PUH 5 Tahun

| Jam | 0:00 | 1:00 | 2:00 | 3:00 | 4:00 | 5:00 | 6:00 | 7:00 | 8:00 | 9:00 | 10:00 | 11:00 | 12:00 | 13:00 - 24.00 |
|-----|------|------|------|------|------|------|------|------|------|------|-------|-------|-------|---------------|
| T1 | 0 | 1.1 | 0.9 | 0.5 | 0.4 | 0.2 | 0.1 | 0 | 0 | 0 | 0 | 0 | 0 | 0 |
| T2 | 0 | 0.7 | 0.5 | 0.3 | 0.2 | 0.1 | 0 | 0 | 0 | 0 | 0 | 0 | 0 | 0 |
| T3 | 0 | 0.3 | 0.6 | 0.3 | 0.2 | 0.1 | 0 | 0 | 0 | 0 | 0 | 0 | 0 | 0 |
| T4 | 0 | 0.9 | 0.7 | 0.4 | 0.3 | 0.1 | 0 | 0 | 0 | 0 | 0 | 0 | 0 | 0 |
| T5 | 0 | 0.4 | 0.3 | 0.2 | 0.1 | 0 | 0 | 0 | 0 | 0 | 0 | 0 | 0 | 0 |
| T6 | 0 | 0.3 | 0.4 | 0.2 | 0.2 | 0.1 | 0 | 0 | 0 | 0 | 0 | 0 | 0 | 0 |
| T7 | 0 | 0.5 | 0.6 | 0.4 | 0.3 | 0.2 | 0.1 | 0 | 0 | 0 | 0 | 0 | 0 | 0 |
| T8 | 0 | 0.3 | 0.3 | 0.2 | 0.1 | 0.1 | 0 | 0 | 0 | 0 | 0 | 0 | 0 | 0 |
| T9 | 0 | 0.7 | 0.6 | 0.4 | 0.3 | 0.1 | 0 | 0 | 0 | 0 | 0 | 0 | 0 | 0 |
| T10 | 0 | 0.5 | 0.5 | 0.3 | 0.2 | 0.1 | 0 | 0 | 0 | 0 | 0 | 0 | 0 | 0 |
| T11 | 0 | 0.7 | 0.5 | 0.3 | 0.2 | 0.1 | 0 | 0 | 0 | 0 | 0 | 0 | 0 | 0 |
| T12 | 0 | 0.4 | 0.4 | 0.2 | 0.2 | 0.1 | 0 | 0 | 0 | 0 | 0 | 0 | 0 | 0 |
| T13 | 0 | 0.4 | 0.3 | 0.2 | 0.1 | 0 | 0 | 0 | 0 | 0 | 0 | 0 | 0 | 0 |
| T14 | 0 | 1 | 1 | 0.6 | 0.4 | 0.2 | 0.1 | 0 | 0 | 0 | 0 | 0 | 0 | 0 |
| T15 | 0 | 0.7 | 0.5 | 0.3 | 0.2 | 0.1 | 0 | 0 | 0 | 0 | 0 | 0 | 0 | 0 |
| T16 | 0 | 0.4 | 0.7 | 0.5 | 0.3 | 0.2 | 0.1 | 0 | 0 | 0 | 0 | 0 | 0 | 0 |
| T17 | 0 | 0.6 | 0.4 | 0.3 | 0.2 | 0.1 | 0 | 0 | 0 | 0 | 0 | 0 | 0 | 0 |
| T18 | 0 | 0.5 | 1 | 0.9 | 0.6 | 0.4 | 0.2 | 0.1 | 0 | 0 | 0 | 0 | 0 | 0 |
| T19 | 0 | 0.4 | 0.4 | 0.3 | 0.2 | 0.1 | 0 | 0 | 0 | 0 | 0 | 0 | 0 | 0 |
| T20 | 0 | 0.6 | 0.4 | 0.3 | 0.2 | 0.1 | 0 | 0 | 0 | 0 | 0 | 0 | 0 | 0 |
| T21 | 0 | 0.7 | 0.9 | 0.6 | 0.4 | 0.2 | 0.1 | 0 | 0 | 0 | 0 | 0 | 0 | 0 |
| T22 | 0 | 0.4 | 0.3 | 0.2 | 0.1 | 0.1 | 0 | 0 | 0 | 0 | 0 | 0 | 0 | 0 |

100

Lampiran 2

Tabel L2. Hidrograf Saluran Tersier DAS Kali Kepiting PUH 5 Tahun

| Jam | 0:00 | 1:00 | 2:00 | 3:00 | 4:00 | 5:00 | 6:00 | 7:00 | 8:00 | 9:00 | 10:00 | 11:00 | 12:00 | 13:00 - 24.00 |
|-----|------|------|------|------|------|------|------|------|------|------|-------|-------|-------|---------------|
| T37 | 0 | 0.4 | 0.3 | 0.2 | 0.1 | 0.1 | 0 | 0 | 0 | 0 | 0 | 0 | 0 | 0 |
| T38 | 0 | 0.5 | 0.6 | 0.4 | 0.3 | 0.1 | 0.1 | 0 | 0 | 0 | 0 | 0 | 0 | 0 |
| T39 | 0 | 0.5 | 0.4 | 0.3 | 0.2 | 0.1 | 0 | 0 | 0 | 0 | 0 | 0 | 0 | 0 |
| T40 | 0 | 0.5 | 0.6 | 0.4 | 0.3 | 0.1 | 0.1 | 0 | 0 | 0 | 0 | 0 | 0 | 0 |
| T41 | 0 | 0.4 | 0.6 | 0.5 | 0.3 | 0.2 | 0.1 | 0 | 0 | 0 | 0 | 0 | 0 | 0 |
| T42 | 0 | 0.4 | 0.4 | 0.2 | 0.2 | 0.1 | 0 | 0 | 0 | 0 | 0 | 0 | 0 | 0 |
| T43 | 0 | 0.8 | 0.5 | 0.3 | 0.2 | 0.1 | 0 | 0 | 0 | 0 | 0 | 0 | 0 | 0 |
| T44 | 0 | 0.2 | 0.1 | 0.1 | 0.1 | 0 | 0 | 0 | 0 | 0 | 0 | 0 | 0 | 0 |
| T45 | 0 | 0.1 | 0.1 | 0.1 | 0 | 0 | 0 | 0 | 0 | 0 | 0 | 0 | 0 | 0 |
| T46 | 0 | 0.4 | 0.4 | 0.2 | 0.2 | 0.1 | 0 | 0 | 0 | 0 | 0 | 0 | 0 | 0 |
| T47 | 0 | 1.2 | 0.8 | 0.5 | 0.3 | 0.1 | 0 | 0 | 0 | 0 | 0 | 0 | 0 | 0 |
| T48 | 0 | 0.2 | 0.3 | 0.2 | 0.1 | 0.1 | 0 | 0 | 0 | 0 | 0 | 0 | 0 | 0 |
| T49 | 0 | 0.1 | 0.2 | 0.2 | 0.1 | 0.1 | 0 | 0 | 0 | 0 | 0 | 0 | 0 | 0 |
| T50 | 0 | 0.2 | 0.2 | 0.1 | 0.1 | 0 | 0 | 0 | 0 | 0 | 0 | 0 | 0 | 0 |
| T51 | 0 | 0.6 | 0.7 | 0.5 | 0.3 | 0.2 | 0.1 | 0 | 0 | 0 | 0 | 0 | 0 | 0 |
| T52 | 0 | 0.5 | 0.6 | 0.4 | 0.3 | 0.2 | 0.1 | 0 | 0 | 0 | 0 | 0 | 0 | 0 |
| T53 | 0 | 0.1 | 0.3 | 0.4 | 0.3 | 0.2 | 0.1 | 0.1 | 0 | 0 | 0 | 0 | 0 | 0 |
| T54 | 0 | 0.5 | 0.4 | 0.2 | 0.2 | 0.1 | 0 | 0 | 0 | 0 | 0 | 0 | 0 | 0 |
| T55 | 0 | 0.7 | 0.9 | 0.6 | 0.4 | 0.2 | 0.1 | 0 | 0 | 0 | 0 | 0 | 0 | 0 |
| T56 | 0 | 0.2 | 0.3 | 0.2 | 0.2 | 0.1 | 0 | 0 | 0 | 0 | 0 | 0 | 0 | 0 |
| T57 | 0 | 0.2 | 0.2 | 0.1 | 0.1 | 0 | 0 | 0 | 0 | 0 | 0 | 0 | 0 | 0 |
| T58 | 0 | 0.3 | 0.2 | 0.1 | 0.1 | 0.1 | 0 | 0 | 0 | 0 | 0 | 0 | 0 | 0 |

| | | | | | | | | | | | | | | | |
|-----|---|-----|-----|-----|-----|-----|-----|-----|-----|---|---|---|---|---|---|
| T59 | 0 | 0.6 | 0.4 | 0.2 | 0.2 | 0.1 | 0 | 0 | 0 | 0 | 0 | 0 | 0 | 0 | 0 |
| T60 | 0 | 0.5 | 0.6 | 0.4 | 0.3 | 0.1 | 0.1 | 0 | 0 | 0 | 0 | 0 | 0 | 0 | 0 |
| T61 | 0 | 0.1 | 0.2 | 0.1 | 0.1 | 0 | 0 | 0 | 0 | 0 | 0 | 0 | 0 | 0 | 0 |
| T62 | 0 | 1 | 0.7 | 0.4 | 0.3 | 0.1 | 0 | 0 | 0 | 0 | 0 | 0 | 0 | 0 | 0 |
| T63 | 0 | 1.2 | 0.9 | 0.5 | 0.4 | 0.2 | 0 | 0 | 0 | 0 | 0 | 0 | 0 | 0 | 0 |
| T64 | 0 | 0.2 | 0.4 | 0.3 | 0.3 | 0.2 | 0.1 | 0 | 0 | 0 | 0 | 0 | 0 | 0 | 0 |
| T65 | 0 | 0.5 | 1 | 0.8 | 0.6 | 0.4 | 0.2 | 0.1 | 0 | 0 | 0 | 0 | 0 | 0 | 0 |
| T66 | 0 | 0.4 | 0.5 | 0.4 | 0.2 | 0.1 | 0.1 | 0 | 0 | 0 | 0 | 0 | 0 | 0 | 0 |
| T67 | 0 | 0.3 | 0.4 | 0.3 | 0.2 | 0.1 | 0.1 | 0 | 0 | 0 | 0 | 0 | 0 | 0 | 0 |
| T68 | 0 | 0.4 | 0.5 | 0.3 | 0.2 | 0.1 | 0.1 | 0 | 0 | 0 | 0 | 0 | 0 | 0 | 0 |
| T69 | 0 | 0.3 | 0.5 | 0.4 | 0.3 | 0.2 | 0.1 | 0 | 0 | 0 | 0 | 0 | 0 | 0 | 0 |
| T70 | 0 | 0.2 | 0.7 | 0.7 | 0.5 | 0.4 | 0.2 | 0.1 | 0.1 | 0 | 0 | 0 | 0 | 0 | 0 |
| T71 | 0 | 0.6 | 0.5 | 0.3 | 0.2 | 0.1 | 0 | 0 | 0 | 0 | 0 | 0 | 0 | 0 | 0 |
| T72 | 0 | 0.7 | 1 | 0.7 | 0.5 | 0.3 | 0.1 | 0 | 0 | 0 | 0 | 0 | 0 | 0 | 0 |
| T73 | 0 | 0.1 | 0.2 | 0.1 | 0.1 | 0.1 | 0 | 0 | 0 | 0 | 0 | 0 | 0 | 0 | 0 |
| T74 | 0 | 0.2 | 0.4 | 0.3 | 0.2 | 0.1 | 0.1 | 0 | 0 | 0 | 0 | 0 | 0 | 0 | 0 |
| T75 | 0 | 0.2 | 0.3 | 0.2 | 0.2 | 0.1 | 0 | 0 | 0 | 0 | 0 | 0 | 0 | 0 | 0 |
| T76 | 0 | 0.3 | 0.3 | 0.2 | 0.1 | 0.1 | 0 | 0 | 0 | 0 | 0 | 0 | 0 | 0 | 0 |
| T77 | 0 | 0.6 | 0.6 | 0.4 | 0.2 | 0.1 | 0 | 0 | 0 | 0 | 0 | 0 | 0 | 0 | 0 |
| T78 | 0 | 0.1 | 0.5 | 0.7 | 0.5 | 0.4 | 0.2 | 0.1 | 0.1 | 0 | 0 | 0 | 0 | 0 | 0 |
| T79 | 0 | 0.6 | 0.5 | 0.3 | 0.2 | 0.1 | 0 | 0 | 0 | 0 | 0 | 0 | 0 | 0 | 0 |
| T80 | 0 | 0.3 | 0.6 | 0.5 | 0.4 | 0.2 | 0.1 | 0.1 | 0 | 0 | 0 | 0 | 0 | 0 | 0 |
| T81 | 0 | 0.6 | 1.2 | 1 | 0.7 | 0.5 | 0.2 | 0.1 | 0 | 0 | 0 | 0 | 0 | 0 | 0 |
| T82 | 0 | 0.6 | 1 | 0.8 | 0.6 | 0.4 | 0.2 | 0.1 | 0 | 0 | 0 | 0 | 0 | 0 | 0 |

| | | | | | | | | | | | | | | |
|-----|---|-----|-----|-----|-----|-----|-----|-----|-----|-----|-----|-----|-----|-----|
| T83 | 0 | 0.2 | 0.4 | 0.3 | 0.2 | 0.2 | 0.1 | 0 | 0 | 0 | 0 | 0 | 0 | 0 |
| T84 | 0 | 0.5 | 0.7 | 0.5 | 0.4 | 0.2 | 0.1 | 0 | 0 | 0 | 0 | 0 | 0 | 0 |
| T85 | 0 | 0.6 | 1.1 | 0.9 | 0.6 | 0.4 | 0.2 | 0.1 | 0 | 0 | 0 | 0 | 0 | 0 |
| T86 | 0 | 0.1 | 1.6 | 2.7 | 2.8 | 2.3 | 1.7 | 1.1 | 0.7 | 0.4 | 0.2 | 0.1 | 0.1 | 0.1 |
| B10 | 0 | 0.3 | 0.2 | 0.1 | 0.1 | 0 | 0 | 0 | 0 | 0 | 0 | 0 | 0 | 0 |
| B11 | 0 | 0.2 | 0.1 | 0.1 | 0 | 0 | 0 | 0 | 0 | 0 | 0 | 0 | 0 | 0 |
| B12 | 0 | 0.3 | 0.7 | 0.5 | 0.4 | 0.2 | 0.1 | 0 | 0 | 0 | 0 | 0 | 0 | 0 |
| B13 | 0 | 0.2 | 0.3 | 0.2 | 0.1 | 0.1 | 0 | 0 | 0 | 0 | 0 | 0 | 0 | 0 |
| B14 | 0 | 0.3 | 0.4 | 0.3 | 0.2 | 0.1 | 0 | 0 | 0 | 0 | 0 | 0 | 0 | 0 |
| B15 | 0 | 0.2 | 0.2 | 0.1 | 0.1 | 0 | 0 | 0 | 0 | 0 | 0 | 0 | 0 | 0 |
| B16 | 0 | 0.4 | 0.5 | 0.3 | 0.2 | 0.1 | 0 | 0 | 0 | 0 | 0 | 0 | 0 | 0 |
| B17 | 0 | 0.3 | 0.6 | 0.5 | 0.3 | 0.2 | 0.1 | 0 | 0 | 0 | 0 | 0 | 0 | 0 |
| B18 | 0 | 0.8 | 0.5 | 0.3 | 0.2 | 0.1 | 0 | 0 | 0 | 0 | 0 | 0 | 0 | 0 |
| B19 | 0 | 0.6 | 0.9 | 0.6 | 0.4 | 0.2 | 0.1 | 0 | 0 | 0 | 0 | 0 | 0 | 0 |
| B20 | 0 | 2.9 | 3.8 | 2.3 | 1.6 | 0.8 | 0.3 | 0.1 | 0 | 0 | 0 | 0 | 0 | 0 |
| B21 | 0 | 1.1 | 1.3 | 0.8 | 0.5 | 0.3 | 0.1 | 0 | 0 | 0 | 0 | 0 | 0 | 0 |
| B22 | 0 | 0.2 | 0.2 | 0.1 | 0.1 | 0 | 0 | 0 | 0 | 0 | 0 | 0 | 0 | 0 |
| B23 | 0 | 0.1 | 0.5 | 0.6 | 0.6 | 0.4 | 0.3 | 0.2 | 0.1 | 0 | 0 | 0 | 0 | 0 |
| B24 | 0 | 0.3 | 0.2 | 0.1 | 0.1 | 0 | 0 | 0 | 0 | 0 | 0 | 0 | 0 | 0 |
| B25 | 0 | 0.2 | 0.3 | 0.2 | 0.1 | 0.1 | 0 | 0 | 0 | 0 | 0 | 0 | 0 | 0 |
| B26 | 0 | 0.3 | 0.2 | 0.1 | 0.1 | 0 | 0 | 0 | 0 | 0 | 0 | 0 | 0 | 0 |
| B27 | 0 | 0.9 | 0.7 | 0.4 | 0.3 | 0.1 | 0 | 0 | 0 | 0 | 0 | 0 | 0 | 0 |
| B28 | 0 | 0.4 | 0.5 | 0.3 | 0.2 | 0.1 | 0 | 0 | 0 | 0 | 0 | 0 | 0 | 0 |
| B29 | 0 | 0.3 | 0.6 | 0.6 | 0.4 | 0.3 | 0.1 | 0.1 | 0 | 0 | 0 | 0 | 0 | 0 |

104

Lampiran 3

Tabel L3. Hidrograf + Baseflow Saluran Tersier DAS Kali Kenjeran PUH 5 Tahun

| Jam | 0:00 | 1:00 | 2:00 | 3:00 | 4:00 | 5:00 | 6:00 | 7:00 | 8:00 | 9:00 | 10:00 | 11:00 | 12:00 | 13:00 - 24.00 |
|-----|------|------|------|------|------|------|------|------|------|------|-------|-------|-------|---------------|
| T1 | 0.33 | 1.43 | 1.23 | 0.83 | 0.73 | 0.53 | 0.43 | 0.33 | 0.33 | 0.33 | 0.33 | 0.33 | 0.33 | 0.33 |
| T2 | 0.21 | 0.91 | 0.71 | 0.51 | 0.41 | 0.31 | 0.21 | 0.21 | 0.21 | 0.21 | 0.21 | 0.21 | 0.21 | 0.21 |
| T3 | 0.18 | 0.48 | 0.78 | 0.48 | 0.38 | 0.28 | 0.18 | 0.18 | 0.18 | 0.18 | 0.18 | 0.18 | 0.18 | 0.18 |
| T4 | 0.27 | 1.17 | 0.97 | 0.67 | 0.57 | 0.37 | 0.27 | 0.27 | 0.27 | 0.27 | 0.27 | 0.27 | 0.27 | 0.27 |
| T5 | 0.12 | 0.52 | 0.42 | 0.32 | 0.22 | 0.12 | 0.12 | 0.12 | 0.12 | 0.12 | 0.12 | 0.12 | 0.12 | 0.12 |
| T6 | 0.12 | 0.42 | 0.52 | 0.32 | 0.32 | 0.22 | 0.12 | 0.12 | 0.12 | 0.12 | 0.12 | 0.12 | 0.12 | 0.12 |
| T7 | 0.18 | 0.68 | 0.78 | 0.58 | 0.48 | 0.38 | 0.28 | 0.18 | 0.18 | 0.18 | 0.18 | 0.18 | 0.18 | 0.18 |
| T8 | 0.09 | 0.39 | 0.39 | 0.29 | 0.19 | 0.19 | 0.09 | 0.09 | 0.09 | 0.09 | 0.09 | 0.09 | 0.09 | 0.09 |
| T9 | 0.21 | 0.91 | 0.81 | 0.61 | 0.51 | 0.31 | 0.21 | 0.21 | 0.21 | 0.21 | 0.21 | 0.21 | 0.21 | 0.21 |
| T10 | 0.15 | 0.65 | 0.65 | 0.45 | 0.35 | 0.25 | 0.15 | 0.15 | 0.15 | 0.15 | 0.15 | 0.15 | 0.15 | 0.15 |
| T11 | 0.21 | 0.91 | 0.71 | 0.51 | 0.41 | 0.31 | 0.21 | 0.21 | 0.21 | 0.21 | 0.21 | 0.21 | 0.21 | 0.21 |
| T12 | 0.12 | 0.52 | 0.52 | 0.32 | 0.32 | 0.22 | 0.12 | 0.12 | 0.12 | 0.12 | 0.12 | 0.12 | 0.12 | 0.12 |
| T13 | 0.12 | 0.52 | 0.42 | 0.32 | 0.22 | 0.12 | 0.12 | 0.12 | 0.12 | 0.12 | 0.12 | 0.12 | 0.12 | 0.12 |
| T14 | 0.3 | 1.3 | 1.3 | 0.9 | 0.7 | 0.5 | 0.4 | 0.3 | 0.3 | 0.3 | 0.3 | 0.3 | 0.3 | 0.3 |
| T15 | 0.21 | 0.91 | 0.71 | 0.51 | 0.41 | 0.31 | 0.21 | 0.21 | 0.21 | 0.21 | 0.21 | 0.21 | 0.21 | 0.21 |
| T16 | 0.21 | 0.61 | 0.91 | 0.71 | 0.51 | 0.41 | 0.31 | 0.21 | 0.21 | 0.21 | 0.21 | 0.21 | 0.21 | 0.21 |
| T17 | 0.18 | 0.78 | 0.58 | 0.48 | 0.38 | 0.28 | 0.18 | 0.18 | 0.18 | 0.18 | 0.18 | 0.18 | 0.18 | 0.18 |
| T18 | 0.3 | 0.8 | 1.3 | 1.2 | 0.9 | 0.7 | 0.5 | 0.4 | 0.3 | 0.3 | 0.3 | 0.3 | 0.3 | 0.3 |
| T19 | 0.12 | 0.52 | 0.52 | 0.42 | 0.32 | 0.22 | 0.12 | 0.12 | 0.12 | 0.12 | 0.12 | 0.12 | 0.12 | 0.12 |
| T20 | 0.18 | 0.78 | 0.58 | 0.48 | 0.38 | 0.28 | 0.18 | 0.18 | 0.18 | 0.18 | 0.18 | 0.18 | 0.18 | 0.18 |
| T21 | 0.27 | 0.97 | 1.17 | 0.87 | 0.67 | 0.47 | 0.37 | 0.27 | 0.27 | 0.27 | 0.27 | 0.27 | 0.27 | 0.27 |
| T22 | 0.12 | 0.52 | 0.42 | 0.32 | 0.22 | 0.22 | 0.12 | 0.12 | 0.12 | 0.12 | 0.12 | 0.12 | 0.12 | 0.12 |

Lampiran 4

Tabel L4. Hidrograf + Baseflow Saluran Tersier DAS Kali Kepiting PUH 5 Tahun

| Jam | 0:00 | 1:00 | 2:00 | 3:00 | 4:00 | 5:00 | 6:00 | 7:00 | 8:00 | 9:00 | 10:00 | 11:00 | 12:00 | 13:00 - 24.00 |
|-----|------|------|------|------|------|------|------|------|------|------|-------|-------|-------|---------------|
| T37 | 0.12 | 0.52 | 0.42 | 0.32 | 0.22 | 0.22 | 0.12 | 0.12 | 0.12 | 0.12 | 0.12 | 0.12 | 0.12 | 0.12 |
| T38 | 0.18 | 0.68 | 0.78 | 0.58 | 0.48 | 0.28 | 0.28 | 0.18 | 0.18 | 0.18 | 0.18 | 0.18 | 0.18 | 0.18 |
| T39 | 0.15 | 0.65 | 0.55 | 0.45 | 0.35 | 0.25 | 0.15 | 0.15 | 0.15 | 0.15 | 0.15 | 0.15 | 0.15 | 0.15 |
| T40 | 0.18 | 0.68 | 0.78 | 0.58 | 0.48 | 0.28 | 0.28 | 0.18 | 0.18 | 0.18 | 0.18 | 0.18 | 0.18 | 0.18 |
| T41 | 0.18 | 0.58 | 0.78 | 0.68 | 0.48 | 0.38 | 0.28 | 0.18 | 0.18 | 0.18 | 0.18 | 0.18 | 0.18 | 0.18 |
| T42 | 0.12 | 0.52 | 0.52 | 0.32 | 0.32 | 0.22 | 0.12 | 0.12 | 0.12 | 0.12 | 0.12 | 0.12 | 0.12 | 0.12 |
| T43 | 5:45 | 1.04 | 0.74 | 0.54 | 0.44 | 0.34 | 0.24 | 0.24 | 0.24 | 0.24 | 0.24 | 0.24 | 0.24 | 0.24 |
| T44 | 1:26 | 0.26 | 0.16 | 0.16 | 0.16 | 0.06 | 0.06 | 0.06 | 0.06 | 0.06 | 0.06 | 0.06 | 0.06 | 0.06 |
| T45 | 0.43 | 0.13 | 0.13 | 0.13 | 0.03 | 0.03 | 0.03 | 0.03 | 0.03 | 0.03 | 0.03 | 0.03 | 0.03 | 0.03 |
| T46 | 2:52 | 0.52 | 0.52 | 0.32 | 0.32 | 0.22 | 0.12 | 0.12 | 0.12 | 0.12 | 0.12 | 0.12 | 0.12 | 0.12 |
| T47 | 8:38 | 1.56 | 1.16 | 0.86 | 0.66 | 0.46 | 0.36 | 0.36 | 0.36 | 0.36 | 0.36 | 0.36 | 0.36 | 0.36 |
| T48 | 2:09 | 0.29 | 0.39 | 0.29 | 0.19 | 0.19 | 0.09 | 0.09 | 0.09 | 0.09 | 0.09 | 0.09 | 0.09 | 0.09 |
| T49 | 1:26 | 0.16 | 0.26 | 0.26 | 0.16 | 0.16 | 0.06 | 0.06 | 0.06 | 0.06 | 0.06 | 0.06 | 0.06 | 0.06 |
| T50 | 1:26 | 0.26 | 0.26 | 0.16 | 0.16 | 0.06 | 0.06 | 0.06 | 0.06 | 0.06 | 0.06 | 0.06 | 0.06 | 0.06 |
| T51 | 5:02 | 0.81 | 0.91 | 0.71 | 0.51 | 0.41 | 0.31 | 0.21 | 0.21 | 0.21 | 0.21 | 0.21 | 0.21 | 0.21 |
| T52 | 4:19 | 0.68 | 0.78 | 0.58 | 0.48 | 0.38 | 0.28 | 0.18 | 0.18 | 0.18 | 0.18 | 0.18 | 0.18 | 0.18 |
| T53 | 2:52 | 0.22 | 0.42 | 0.52 | 0.42 | 0.32 | 0.22 | 0.22 | 0.12 | 0.12 | 0.12 | 0.12 | 0.12 | 0.12 |
| T54 | 3:36 | 0.65 | 0.55 | 0.35 | 0.35 | 0.25 | 0.15 | 0.15 | 0.15 | 0.15 | 0.15 | 0.15 | 0.15 | 0.15 |
| T55 | 6:28 | 0.97 | 1.17 | 0.87 | 0.67 | 0.47 | 0.37 | 0.27 | 0.27 | 0.27 | 0.27 | 0.27 | 0.27 | 0.27 |
| T56 | 2:09 | 0.29 | 0.39 | 0.29 | 0.29 | 0.19 | 0.09 | 0.09 | 0.09 | 0.09 | 0.09 | 0.09 | 0.09 | 0.09 |
| T57 | 1:26 | 0.26 | 0.26 | 0.16 | 0.16 | 0.06 | 0.06 | 0.06 | 0.06 | 0.06 | 0.06 | 0.06 | 0.06 | 0.06 |
| T58 | 2:09 | 0.39 | 0.29 | 0.19 | 0.19 | 0.19 | 0.09 | 0.09 | 0.09 | 0.09 | 0.09 | 0.09 | 0.09 | 0.09 |

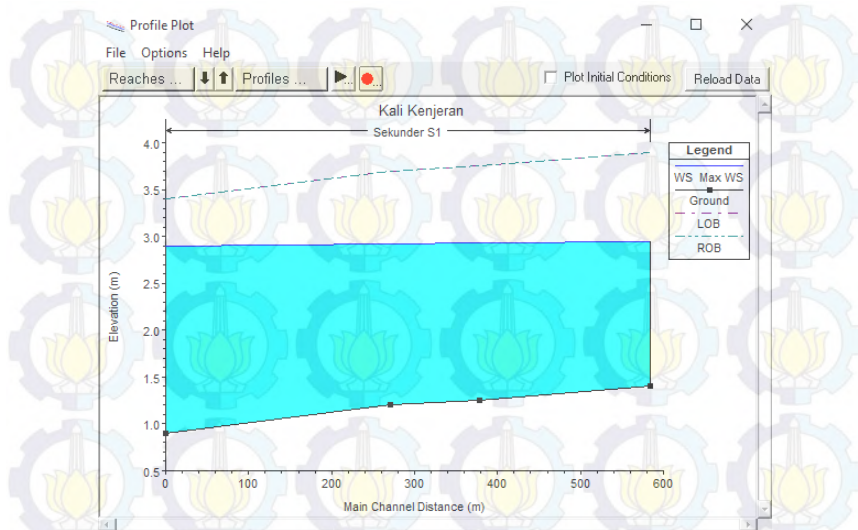
| | | | | | | | | | | | | | | |
|-----|------|------|------|------|------|------|------|------|------|------|------|------|------|------|
| T59 | 4:19 | 0.78 | 0.58 | 0.38 | 0.38 | 0.28 | 0.18 | 0.18 | 0.18 | 0.18 | 0.18 | 0.18 | 0.18 | 0.18 |
| T60 | 4:19 | 0.68 | 0.78 | 0.58 | 0.48 | 0.28 | 0.28 | 0.18 | 0.18 | 0.18 | 0.18 | 0.18 | 0.18 | 0.18 |
| T61 | 1:26 | 0.16 | 0.26 | 0.16 | 0.16 | 0.06 | 0.06 | 0.06 | 0.06 | 0.06 | 0.06 | 0.06 | 0.06 | 0.06 |
| T62 | 7:12 | 1.3 | 1 | 0.7 | 0.6 | 0.4 | 0.3 | 0.3 | 0.3 | 0.3 | 0.3 | 0.3 | 0.3 | 0.3 |
| T63 | 8:38 | 1.56 | 1.26 | 0.86 | 0.76 | 0.56 | 0.36 | 0.36 | 0.36 | 0.36 | 0.36 | 0.36 | 0.36 | 0.36 |
| T64 | 2:52 | 0.32 | 0.52 | 0.42 | 0.42 | 0.32 | 0.22 | 0.12 | 0.12 | 0.12 | 0.12 | 0.12 | 0.12 | 0.12 |
| T65 | 7:12 | 0.8 | 1.3 | 1.1 | 0.9 | 0.7 | 0.5 | 0.4 | 0.3 | 0.3 | 0.3 | 0.3 | 0.3 | 0.3 |
| T66 | 3:36 | 0.55 | 0.65 | 0.55 | 0.35 | 0.25 | 0.25 | 0.15 | 0.15 | 0.15 | 0.15 | 0.15 | 0.15 | 0.15 |
| T67 | 2:52 | 0.42 | 0.52 | 0.42 | 0.32 | 0.22 | 0.22 | 0.12 | 0.12 | 0.12 | 0.12 | 0.12 | 0.12 | 0.12 |
| T68 | 0.15 | 0.55 | 0.65 | 0.45 | 0.35 | 0.25 | 0.25 | 0.15 | 0.15 | 0.15 | 0.15 | 0.15 | 0.15 | 0.15 |
| T69 | 0.15 | 0.45 | 0.65 | 0.55 | 0.45 | 0.35 | 0.25 | 0.15 | 0.15 | 0.15 | 0.15 | 0.15 | 0.15 | 0.15 |
| T70 | 0.21 | 0.41 | 0.91 | 0.91 | 0.71 | 0.61 | 0.41 | 0.31 | 0.31 | 0.21 | 0.21 | 0.21 | 0.21 | 0.21 |
| T71 | 0.18 | 0.78 | 0.68 | 0.48 | 0.38 | 0.28 | 0.18 | 0.18 | 0.18 | 0.18 | 0.18 | 0.18 | 0.18 | 0.18 |
| T72 | 0.3 | 1 | 1.3 | 1 | 0.8 | 0.6 | 0.4 | 0.3 | 0.3 | 0.3 | 0.3 | 0.3 | 0.3 | 0.3 |
| T73 | 0.06 | 0.16 | 0.26 | 0.16 | 0.16 | 0.16 | 0.06 | 0.06 | 0.06 | 0.06 | 0.06 | 0.06 | 0.06 | 0.06 |
| T74 | 0.12 | 0.32 | 0.52 | 0.42 | 0.32 | 0.22 | 0.22 | 0.12 | 0.12 | 0.12 | 0.12 | 0.12 | 0.12 | 0.12 |
| T75 | 0.09 | 0.29 | 0.39 | 0.29 | 0.29 | 0.19 | 0.09 | 0.09 | 0.09 | 0.09 | 0.09 | 0.09 | 0.09 | 0.09 |
| T76 | 0.09 | 0.39 | 0.39 | 0.29 | 0.19 | 0.19 | 0.09 | 0.09 | 0.09 | 0.09 | 0.09 | 0.09 | 0.09 | 0.09 |
| T77 | 0.18 | 0.78 | 0.78 | 0.58 | 0.38 | 0.28 | 0.18 | 0.18 | 0.18 | 0.18 | 0.18 | 0.18 | 0.18 | 0.18 |
| T78 | 0.21 | 0.31 | 0.71 | 0.91 | 0.71 | 0.61 | 0.41 | 0.31 | 0.31 | 0.21 | 0.21 | 0.21 | 0.21 | 0.21 |
| T79 | 0.18 | 0.78 | 0.68 | 0.48 | 0.38 | 0.28 | 0.18 | 0.18 | 0.18 | 0.18 | 0.18 | 0.18 | 0.18 | 0.18 |
| T80 | 0.18 | 0.48 | 0.78 | 0.68 | 0.58 | 0.38 | 0.28 | 0.28 | 0.18 | 0.18 | 0.18 | 0.18 | 0.18 | 0.18 |
| T81 | 0.36 | 0.96 | 1.56 | 1.36 | 1.06 | 0.86 | 0.56 | 0.46 | 0.36 | 0.36 | 0.36 | 0.36 | 0.36 | 0.36 |
| T82 | 0.3 | 0.9 | 1.3 | 1.1 | 0.9 | 0.7 | 0.5 | 0.4 | 0.3 | 0.3 | 0.3 | 0.3 | 0.3 | 0.3 |

| | | | | | | | | | | | | | | | |
|-----|------|------|------|------|------|------|------|------|------|------|------|------|------|------|------|
| T83 | 0.12 | 0.32 | 0.52 | 0.42 | 0.32 | 0.32 | 0.22 | 0.12 | 0.12 | 0.12 | 0.12 | 0.12 | 0.12 | 0.12 | 0.12 |
| T84 | 0.21 | 0.71 | 0.91 | 0.71 | 0.61 | 0.41 | 0.31 | 0.21 | 0.21 | 0.21 | 0.21 | 0.21 | 0.21 | 0.21 | 0.21 |
| T85 | 0.33 | 0.93 | 1.43 | 1.23 | 0.93 | 0.73 | 0.53 | 0.43 | 0.33 | 0.33 | 0.33 | 0.33 | 0.33 | 0.33 | 0.33 |
| T86 | 0.84 | 0.94 | 2.44 | 3.54 | 3.64 | 3.14 | 2.54 | 1.94 | 1.54 | 1.24 | 1.04 | 0.94 | 0.94 | 0.94 | 0.94 |
| B10 | 0.09 | 0.39 | 0.29 | 0.19 | 0.19 | 0.09 | 0.09 | 0.09 | 0.09 | 0.09 | 0.09 | 0.09 | 0.09 | 0.09 | 0.09 |
| B11 | 0.06 | 0.26 | 0.16 | 0.16 | 0.06 | 0.06 | 0.06 | 0.06 | 0.06 | 0.06 | 0.06 | 0.06 | 0.06 | 0.06 | 0.06 |
| B12 | 0.21 | 0.51 | 0.91 | 0.71 | 0.61 | 0.41 | 0.31 | 0.21 | 0.21 | 0.21 | 0.21 | 0.21 | 0.21 | 0.21 | 0.21 |
| B13 | 0.09 | 0.29 | 0.39 | 0.29 | 0.19 | 0.19 | 0.09 | 0.09 | 0.09 | 0.09 | 0.09 | 0.09 | 0.09 | 0.09 | 0.09 |
| B14 | 0.12 | 0.42 | 0.52 | 0.42 | 0.32 | 0.22 | 0.12 | 0.12 | 0.12 | 0.12 | 0.12 | 0.12 | 0.12 | 0.12 | 0.12 |
| B15 | 0.06 | 0.26 | 0.26 | 0.16 | 0.16 | 0.06 | 0.06 | 0.06 | 0.06 | 0.06 | 0.06 | 0.06 | 0.06 | 0.06 | 0.06 |
| B16 | 0.15 | 0.55 | 0.65 | 0.45 | 0.35 | 0.25 | 0.15 | 0.15 | 0.15 | 0.15 | 0.15 | 0.15 | 0.15 | 0.15 | 0.15 |
| B17 | 0.18 | 0.48 | 0.78 | 0.68 | 0.48 | 0.38 | 0.28 | 0.18 | 0.18 | 0.18 | 0.18 | 0.18 | 0.18 | 0.18 | 0.18 |
| B18 | 0.24 | 1.04 | 0.74 | 0.54 | 0.44 | 0.34 | 0.24 | 0.24 | 0.24 | 0.24 | 0.24 | 0.24 | 0.24 | 0.24 | 0.24 |
| B19 | 0.27 | 0.87 | 1.17 | 0.87 | 0.67 | 0.47 | 0.37 | 0.27 | 0.27 | 0.27 | 0.27 | 0.27 | 0.27 | 0.27 | 0.27 |
| B20 | 1.14 | 4.04 | 4.94 | 3.44 | 2.74 | 1.94 | 1.44 | 1.24 | 1.14 | 1.14 | 1.14 | 1.14 | 1.14 | 1.14 | 1.14 |
| B21 | 0.39 | 1.49 | 1.69 | 1.19 | 0.89 | 0.69 | 0.49 | 0.39 | 0.39 | 0.39 | 0.39 | 0.39 | 0.39 | 0.39 | 0.39 |
| B22 | 0.06 | 0.26 | 0.26 | 0.16 | 0.16 | 0.06 | 0.06 | 0.06 | 0.06 | 0.06 | 0.06 | 0.06 | 0.06 | 0.06 | 0.06 |
| B23 | 0.18 | 0.28 | 0.68 | 0.78 | 0.78 | 0.58 | 0.48 | 0.38 | 0.28 | 0.18 | 0.18 | 0.18 | 0.18 | 0.18 | 0.18 |
| B24 | 0.09 | 0.39 | 0.29 | 0.19 | 0.19 | 0.09 | 0.09 | 0.09 | 0.09 | 0.09 | 0.09 | 0.09 | 0.09 | 0.09 | 0.09 |
| B25 | 0.09 | 0.29 | 0.39 | 0.29 | 0.19 | 0.19 | 0.09 | 0.09 | 0.09 | 0.09 | 0.09 | 0.09 | 0.09 | 0.09 | 0.09 |
| B26 | 0.09 | 0.39 | 0.29 | 0.19 | 0.19 | 0.09 | 0.09 | 0.09 | 0.09 | 0.09 | 0.09 | 0.09 | 0.09 | 0.09 | 0.09 |
| B27 | 0.27 | 1.17 | 0.97 | 0.67 | 0.57 | 0.37 | 0.27 | 0.27 | 0.27 | 0.27 | 0.27 | 0.27 | 0.27 | 0.27 | 0.27 |
| B28 | 0.15 | 0.55 | 0.65 | 0.45 | 0.35 | 0.25 | 0.15 | 0.15 | 0.15 | 0.15 | 0.15 | 0.15 | 0.15 | 0.15 | 0.15 |
| B29 | 0.18 | 0.48 | 0.78 | 0.78 | 0.58 | 0.48 | 0.28 | 0.28 | 0.18 | 0.18 | 0.18 | 0.18 | 0.18 | 0.18 | 0.18 |

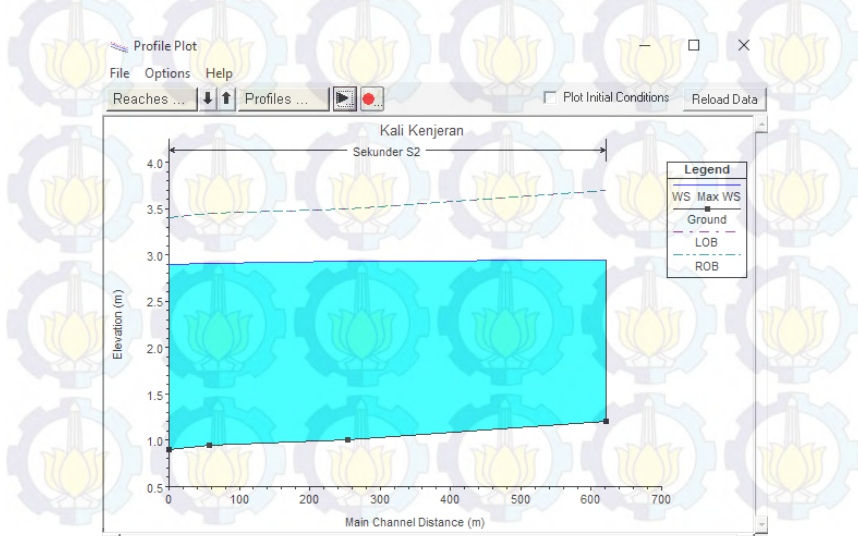
110

Lampiran 5

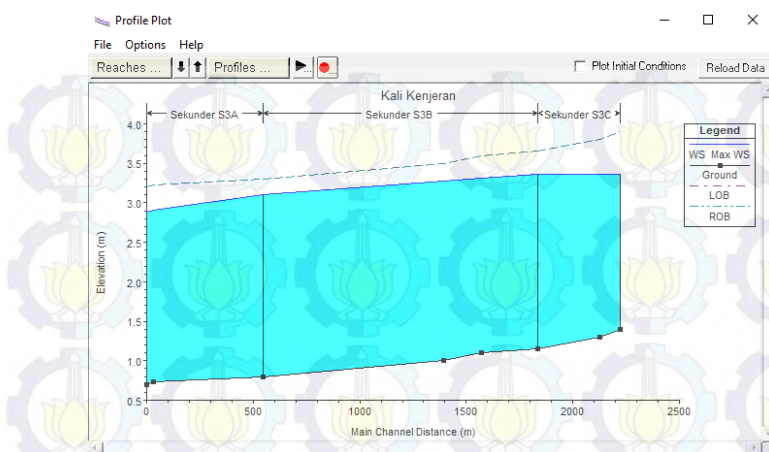
Profil HEC-RAS Saluran Sekunder DAS Kali Kenjeran



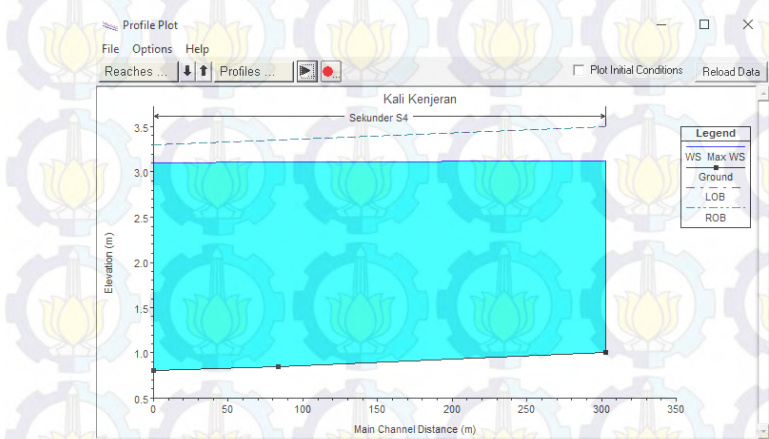
Gambar L1. Profil S1



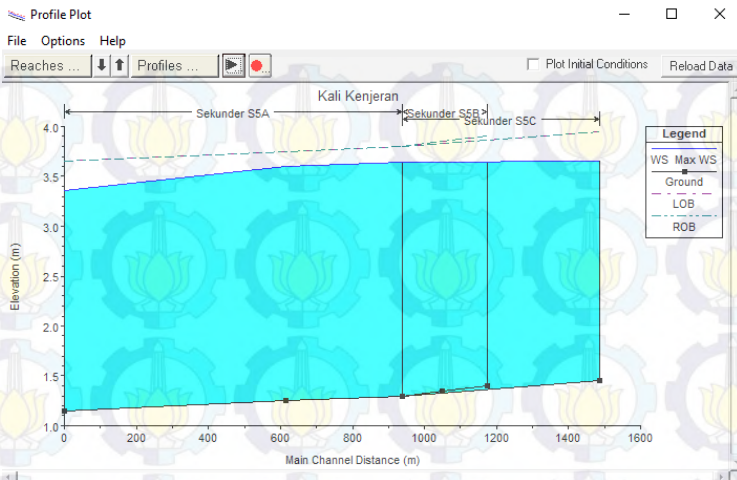
Gambar L2. Profil L2



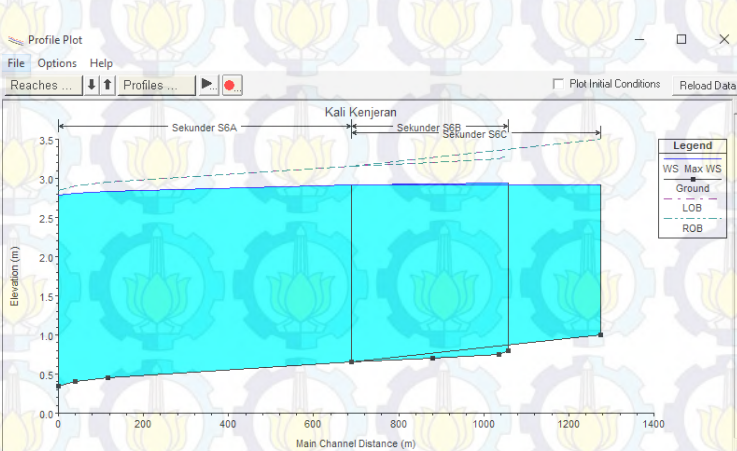
Gambar L3. Profil S3



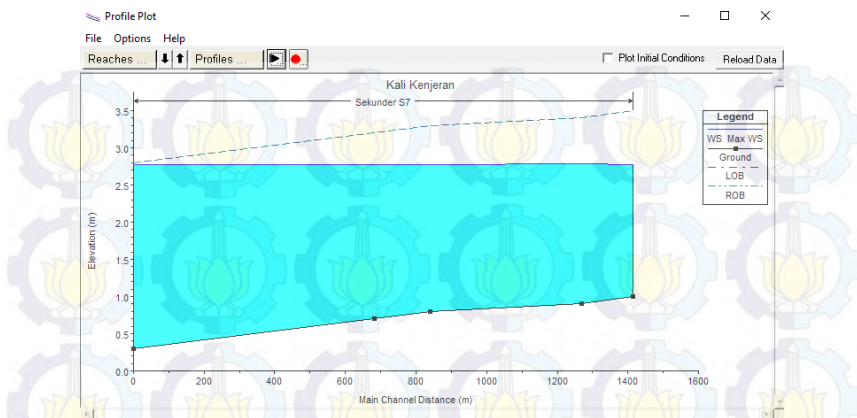
Gambar L4. Profil S4



Gambar L5. Profil S5



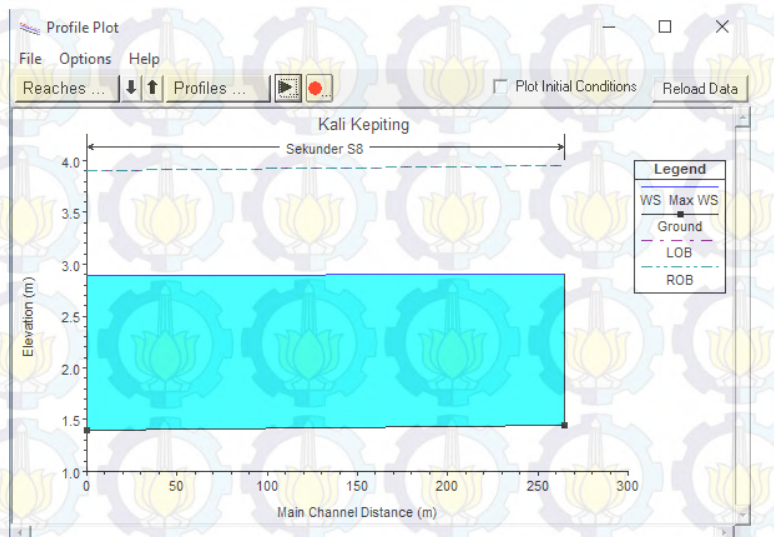
Gambar L6. Profil S6



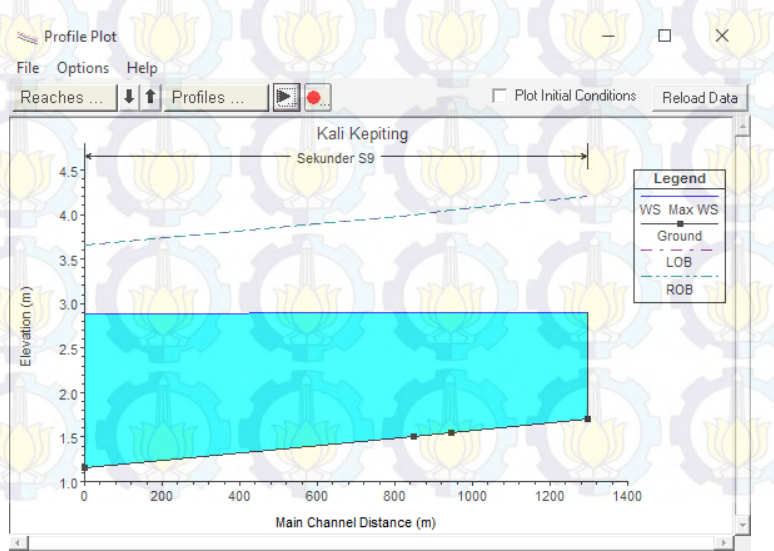
Gambar L7. Profil S7

Lampiran 6

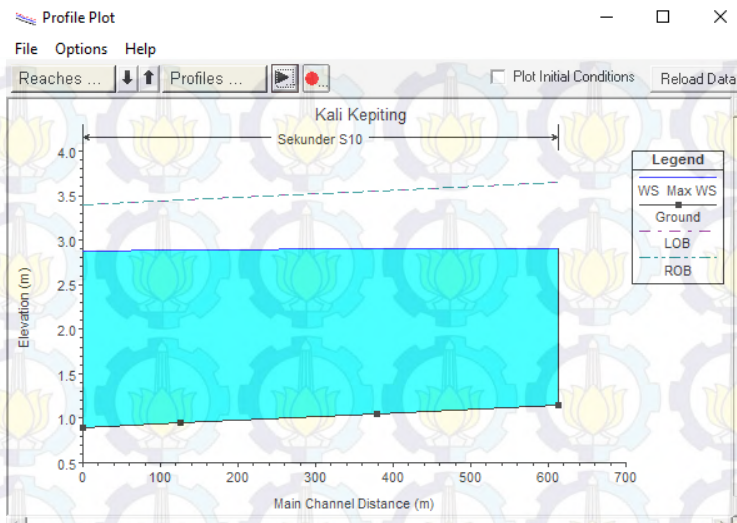
Profil HEC-RAS Saluran Sekunder DAS Kali Kepiting



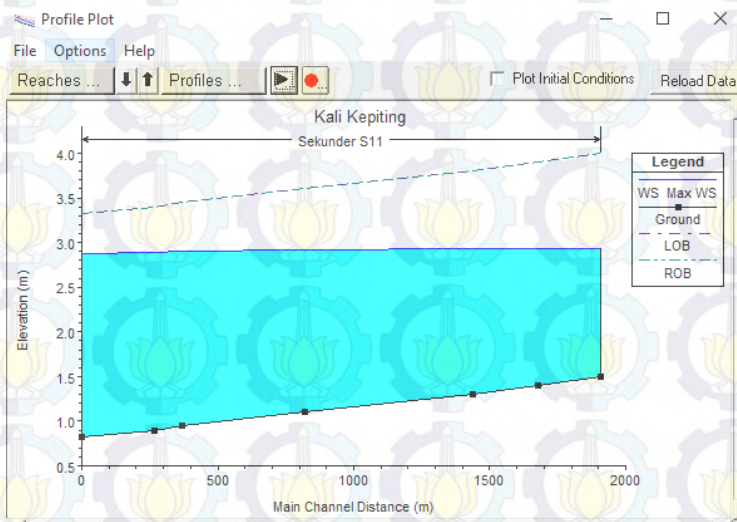
Gambar L8. Profil S8



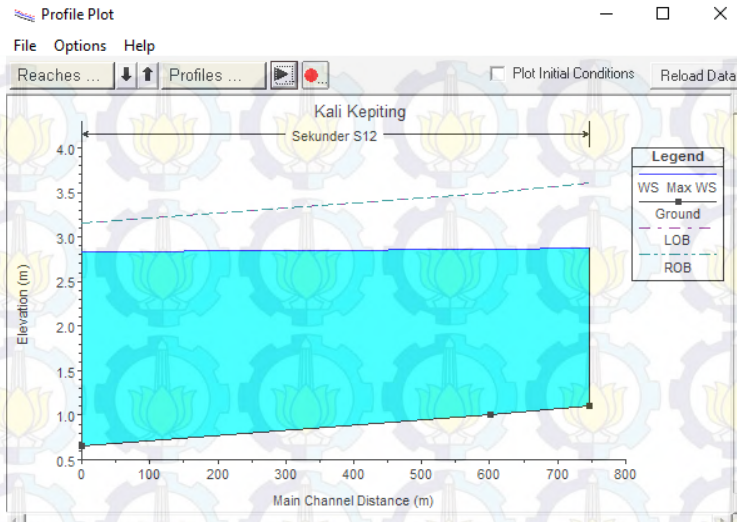
Gambar L9. Profil S9



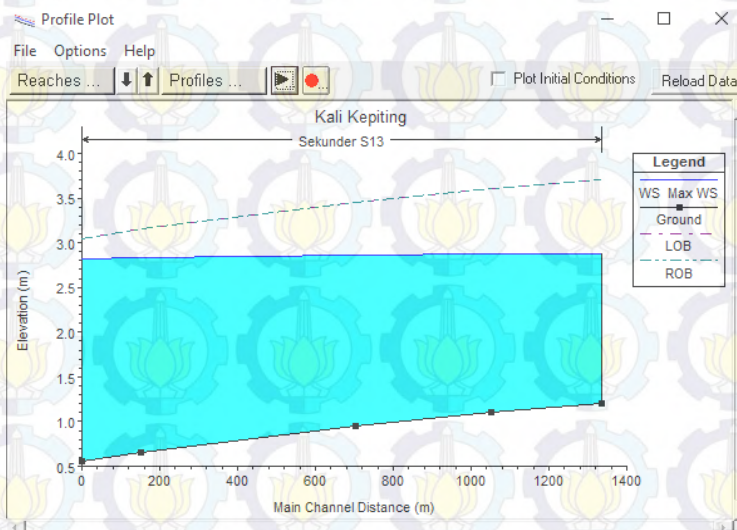
Gambar L10. Profil S10



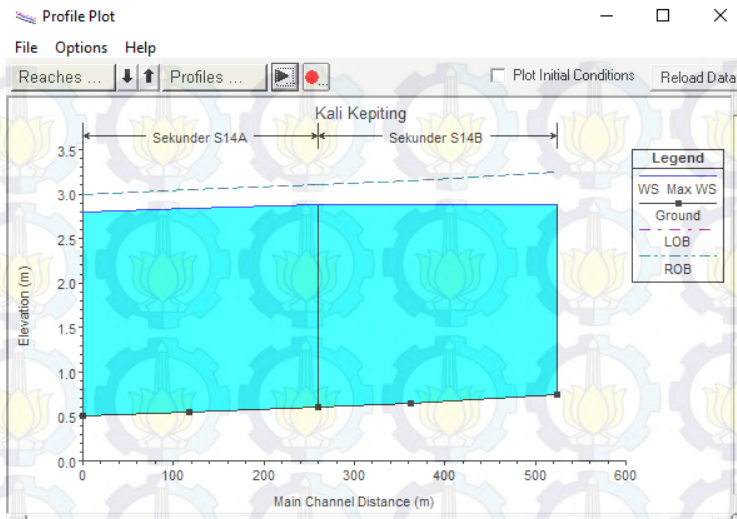
Gambar L11. Profil S11



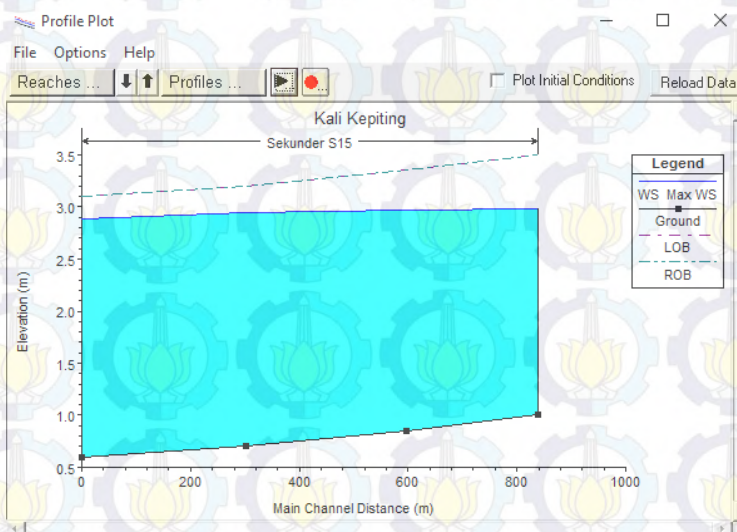
Gambar L12. Profil S12



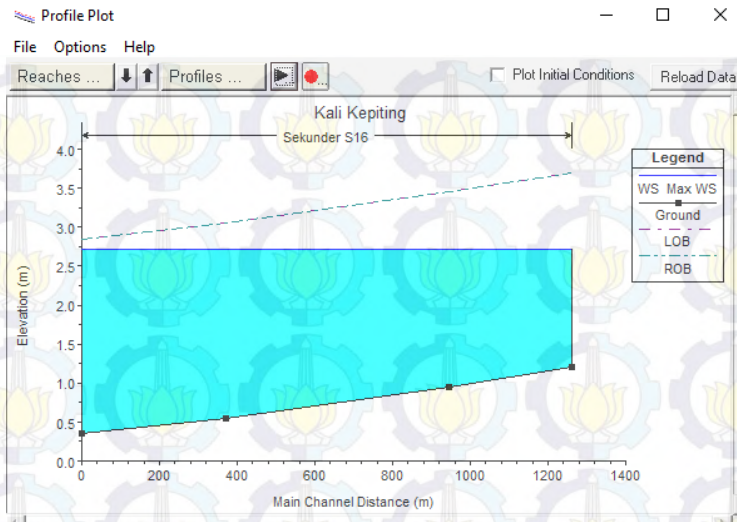
Gambar L13. Profil S13



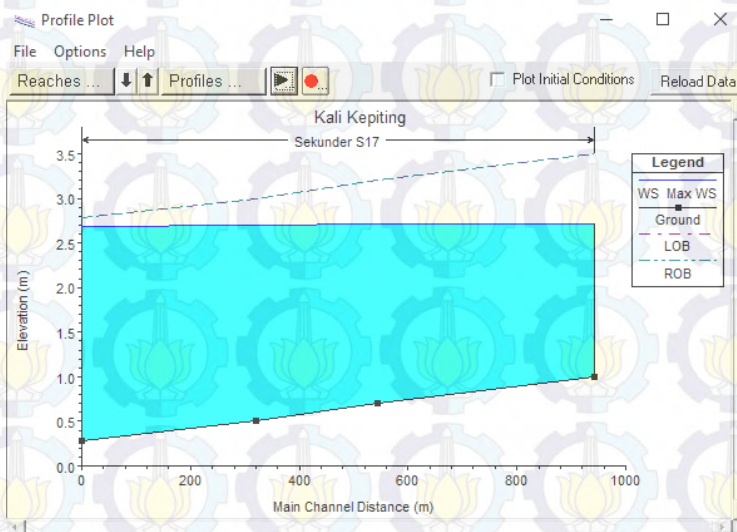
Gambar L14. Profil S14



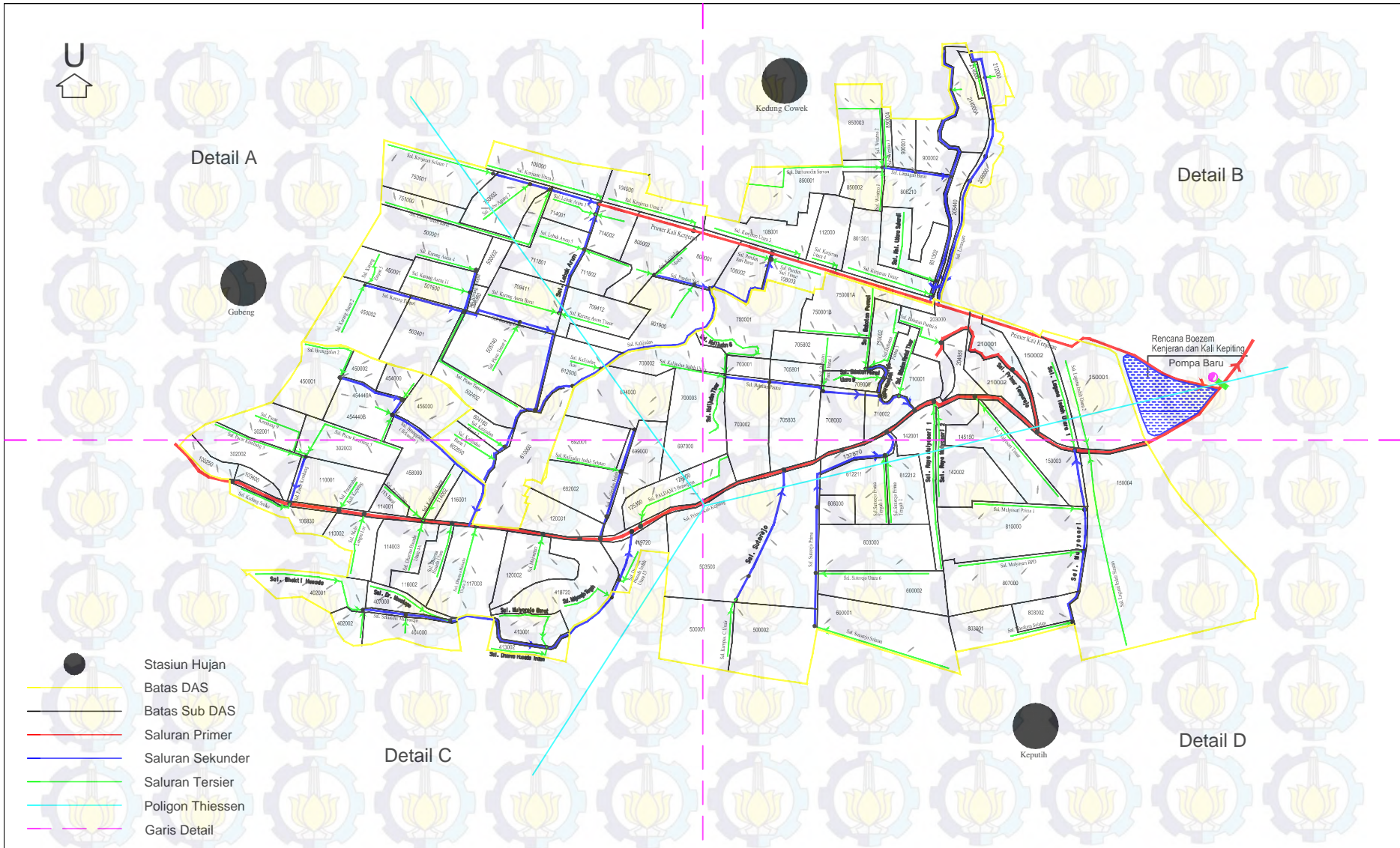
Gambar L15. Profil S15



Gambar L16. Profil S16

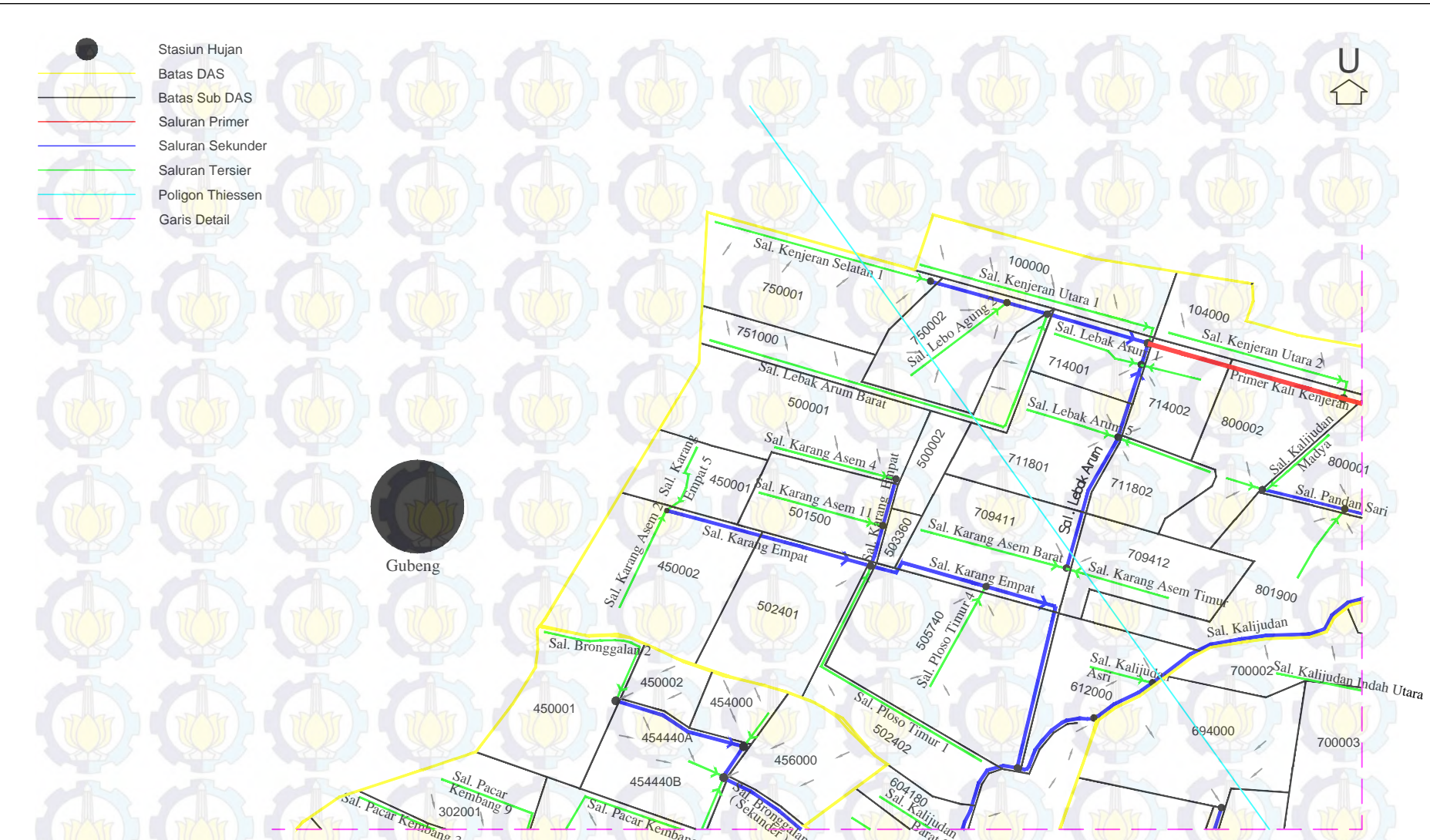


Gambar L17. Profil S17



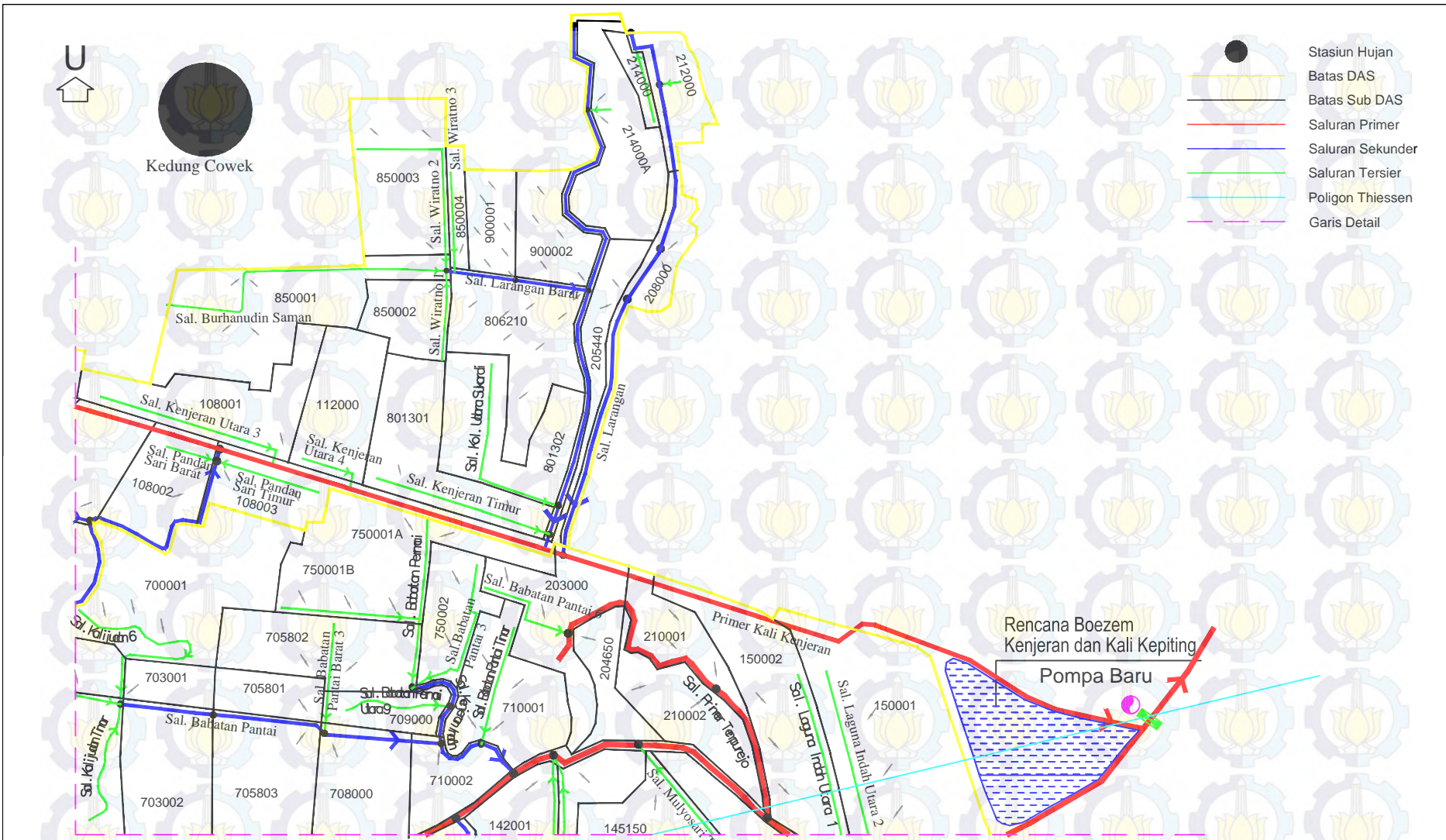
Sumber : Surabaya Drainage Master Plan

| INSTITUT TEKNOLOGI SEPULUH NOPEMBER FAKULTAS TEKNIK SIPIL DAN PERENCANAAN JURUSAN TEKNIK SIPIL | JUDUL TUGAS AKHIR | DOSEN PEMBIMBING | MAHASISWA | JUDUL GAMBAR | SKALA | HALAMAN |
|---|-------------------|------------------|-----------|--|--|-------------------------------|
| | | | | PERENCANAAN JARINGAN DRAINASE SUB SISTEM KALI KEPITING DAN KALI KENJERAN SURABAYA | Dr. techn. Umboro Lasminto S.T., M.Sc. | Ridwan Saqiq 31 11 100 104 |



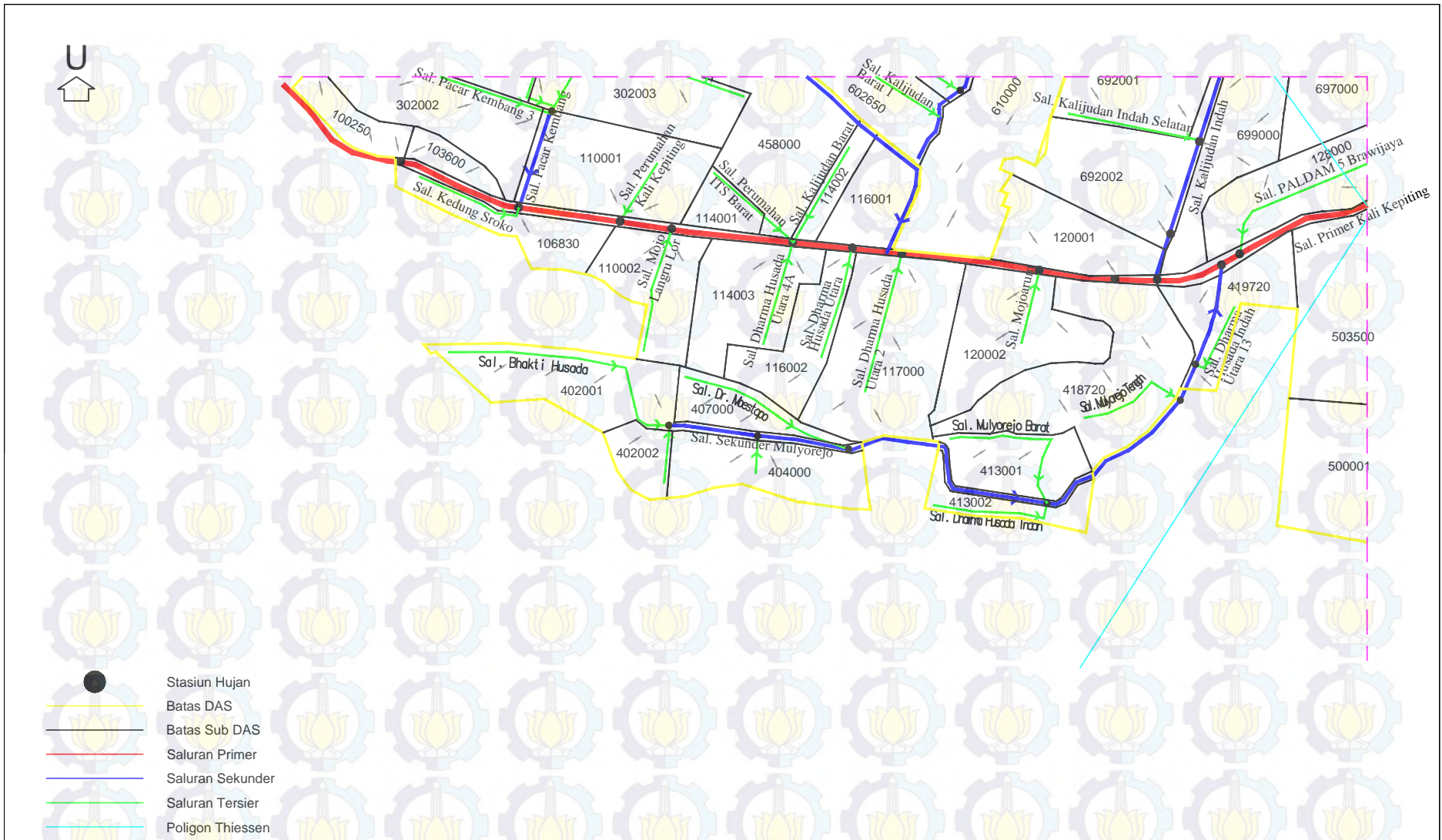
Sumber : Surabaya Drainage Master Plan

| INSTITUT TEKNOLOGI SEPULUH NOPEMBER FAKULTAS TEKNIK SIPIL DAN PERENCANAAN JURUSAN TEKNIK SIPIL | JUDUL TUGAS AKHIR | DOSEN PEMBIMBING | MAHASISWA | JUDUL GAMBAR | SKALA | HALAMAN |
|---|--|--|-------------------------------|---------------------------|-----------|---------|
| | PERENCANAAN JARINGAN DRAINASE SUB SISTEM KALI KEPITING DAN KALI KENJERAN SURABAYA | Dr. techn. Umboro Lasminto S.T., M.Sc. | Ridwan Sauqi 31 11 100 104 | Peta Lokasi (Detail A) | 1 : 12500 | |



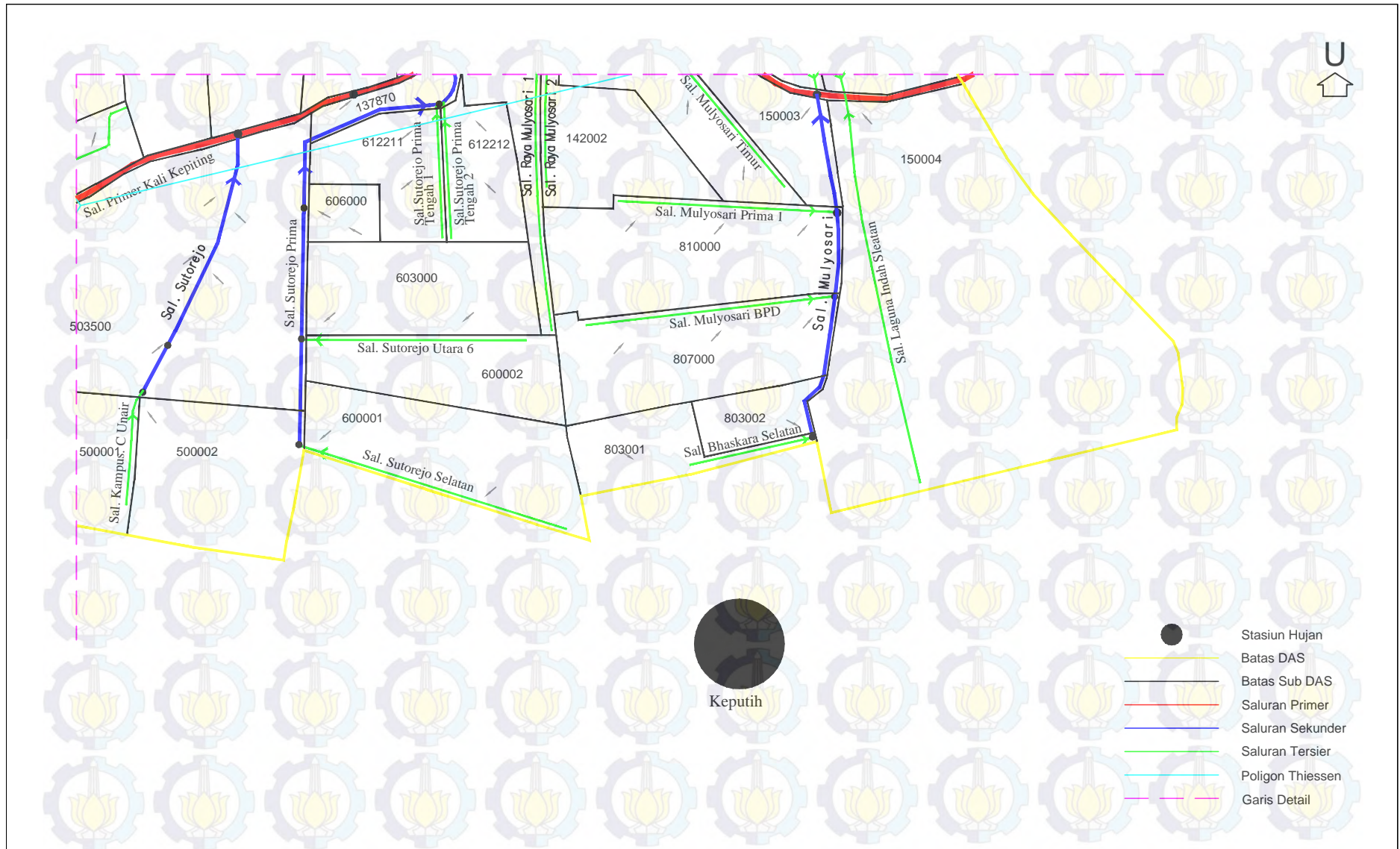
Sumber : Surabaya Drainage Master Plan

| INSTITUT TEKNOLOGI SEPULUH NOPEMBER FAKULTAS TEKNIK SIPIL DAN PERENCANAAN JURUSAN TEKNIK SIPIL | JUDUL TUGAS AKHIR | DOSEN PEMBIMBING | MAHASISWA | JUDUL GAMBAR | SKALA | HALAMAN |
|---|--|---|-------------------------------|---------------------------|-----------|---------|
|  | PERENCANAAN JARINGAN DRAINASE SUB SISTEM KALI KEPITING DAN KALI KENJERAN SURABAYA | Dr. techn. Umboro Lasmito S.T., M.Sc. | Ridwan Sauqi 31 11 100 104 | Peta Lokasi (Detail B) | 1 : 12500 | |



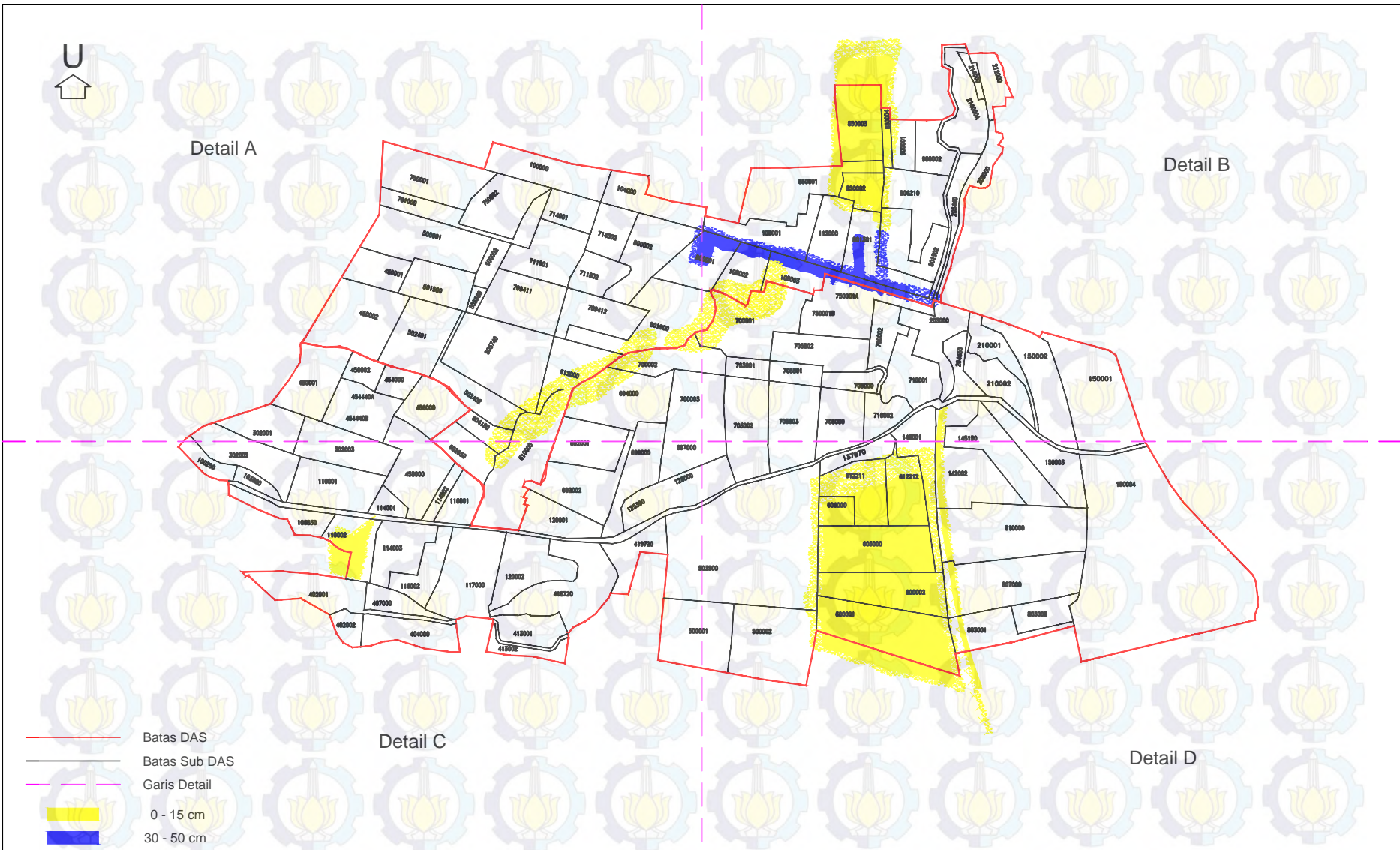
Sumber : Surabaya Drainage Master Plan

| INSTITUT TEKNOLOGI SEPULUH NOPEMBER FAKULTAS TEKNIK SIPIL DAN PERENCANAAN JURUSAN TEKNIK SIPIL | JUDUL TUGAS AKHIR | DOSEN PEMBIMBING | MAHASISWA | JUDUL GAMBAR | SKALA | HALAMAN |
|---|--|--|-------------------------------|---------------------------|-----------|---------|
| | PERENCANAAN JARINGAN DRAINASE SUB SISTEM KALI KEPITING DAN KALI KENJERAN SURABAYA | Dr. techn. Umboro Lasminto S.T., M.Sc. | Ridwan Sauqi 31 11 100 104 | Peta Lokasi (Detail C) | 1 : 12500 | |



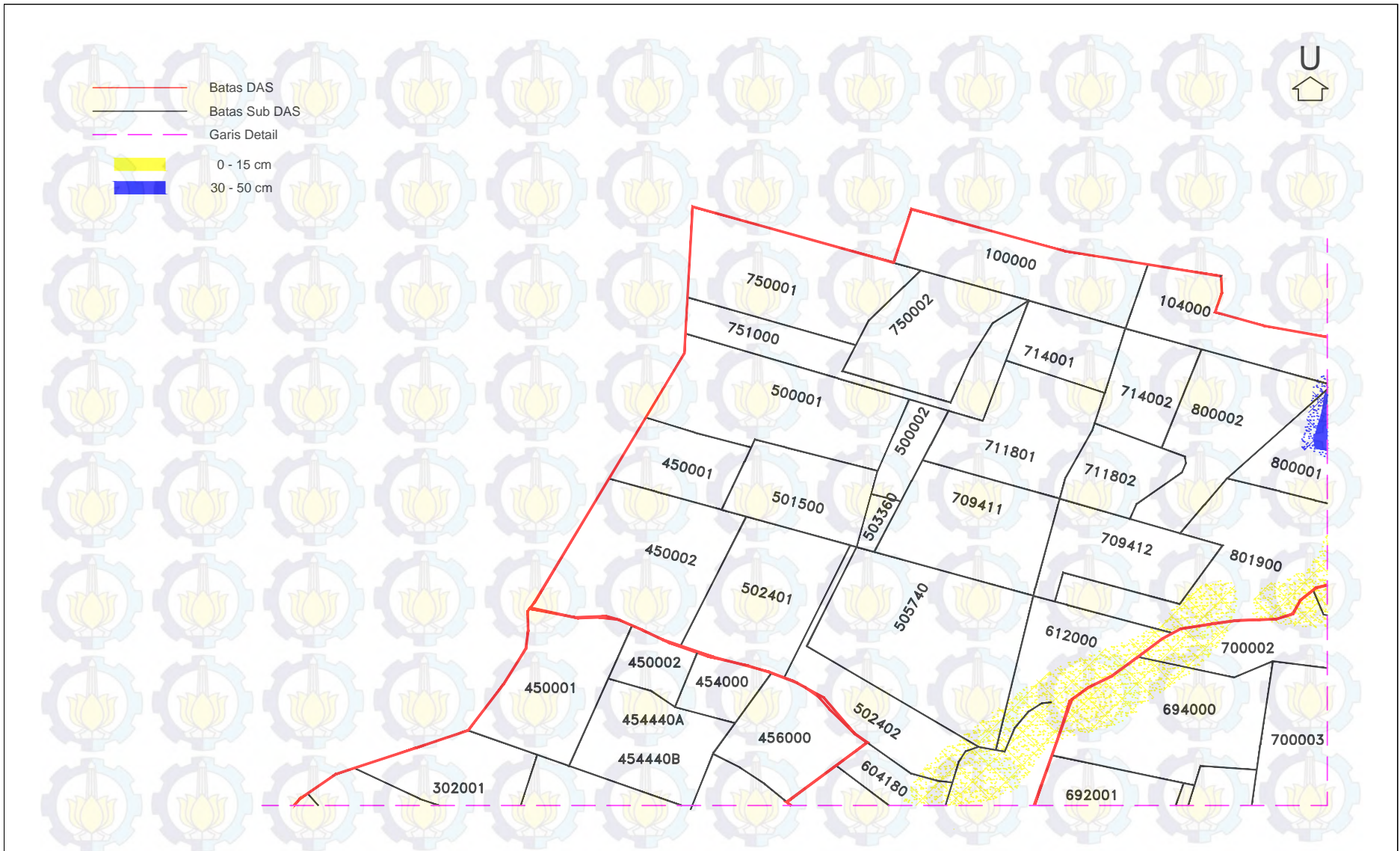
Sumber : Surabaya Drainage Master Plan

| INSTITUT TEKNOLOGI SEPULUH NOPEMBER FAKULTAS TEKNIK SIPIL DAN PERENCANAAN JURUSAN TEKNIK SIPIL | JUDUL TUGAS AKHIR | DOSEN PEMBIMBING | MAHASISWA | JUDUL GAMBAR | SKALA | HALAMAN |
|---|--|--|-------------------------------|---------------------------|-----------|---------|
| | PERENCANAAN JARINGAN DRAINASE SUB SISTEM KALI KEPITING DAN KALI KENJERAN SURABAYA | Dr. techn. Umboro Lasminto S.T., M.Sc. | Ridwan Sauqi 31 11 100 104 | Peta Lokasi (Detail D) | 1 : 12500 | |



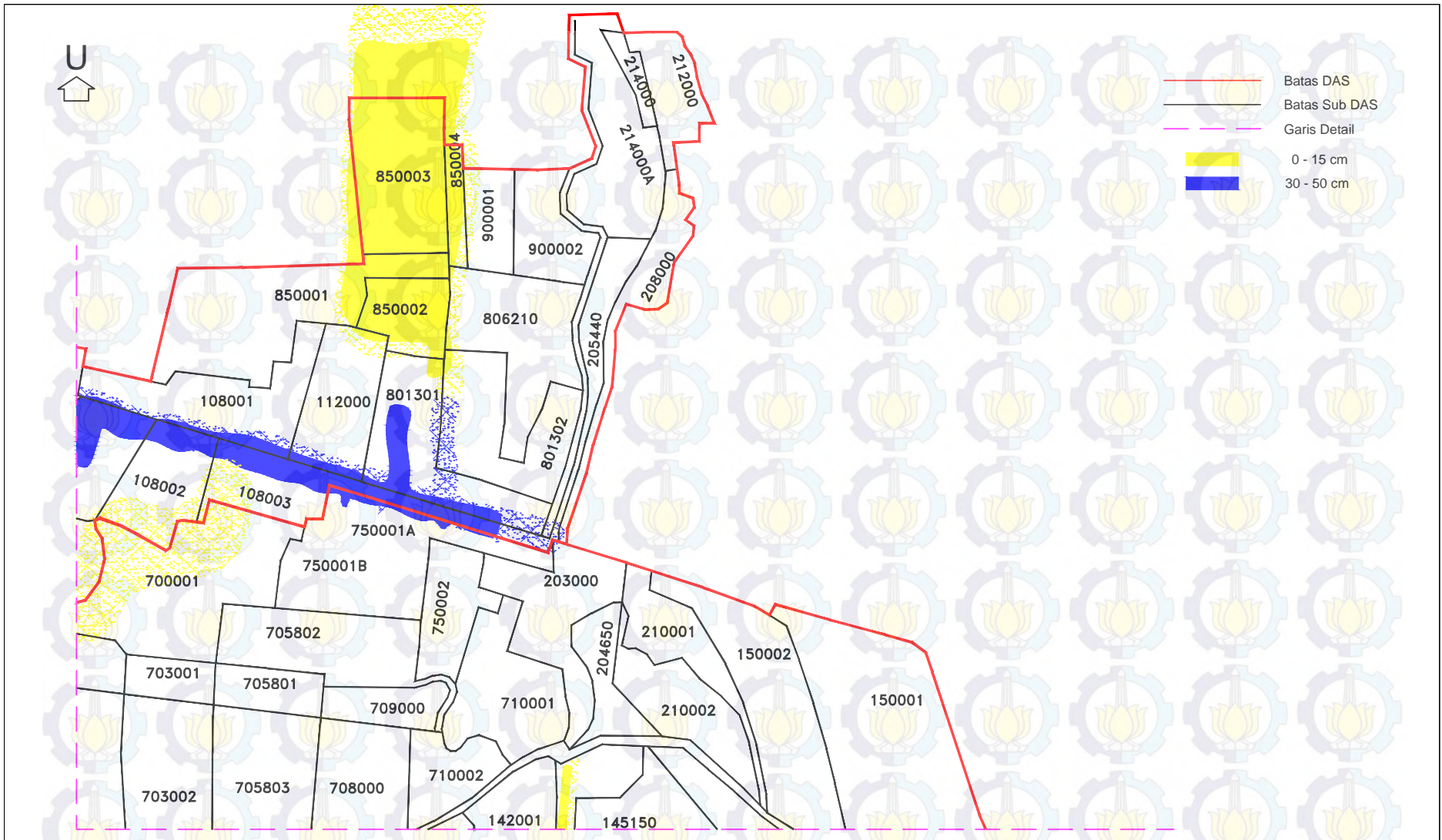
Sumber : Surabaya Drainage Master Plan

| Survei Jaringan Drainase Master Plan | | | | | | |
|---|---|--|-------------------------------|---------------|-----------|---------|
| INSTITUT TEKNOLOGI SEPULUH NOPEMBER FAKULTAS TEKNIK SIPIL DAN PERENCANAAN JURUSAN TEKNIK SIPIL | JUDUL TUGAS AKHIR | DOSEN PEMBIMBING | MAHASISWA | JUDUL GAMBAR | SKALA | HALAMAN |
| | PERENCANAAN JARINGAN DRAINASE SUB SISTEM KALI KEPITING DAN KALI KENURERAN SURABAYA | Dr. techn. Umboro Lasminto S.T., M.Sc. | Ridwan Saugi 31 11 100 104 | Peta Genangan | 1 : 25000 | |



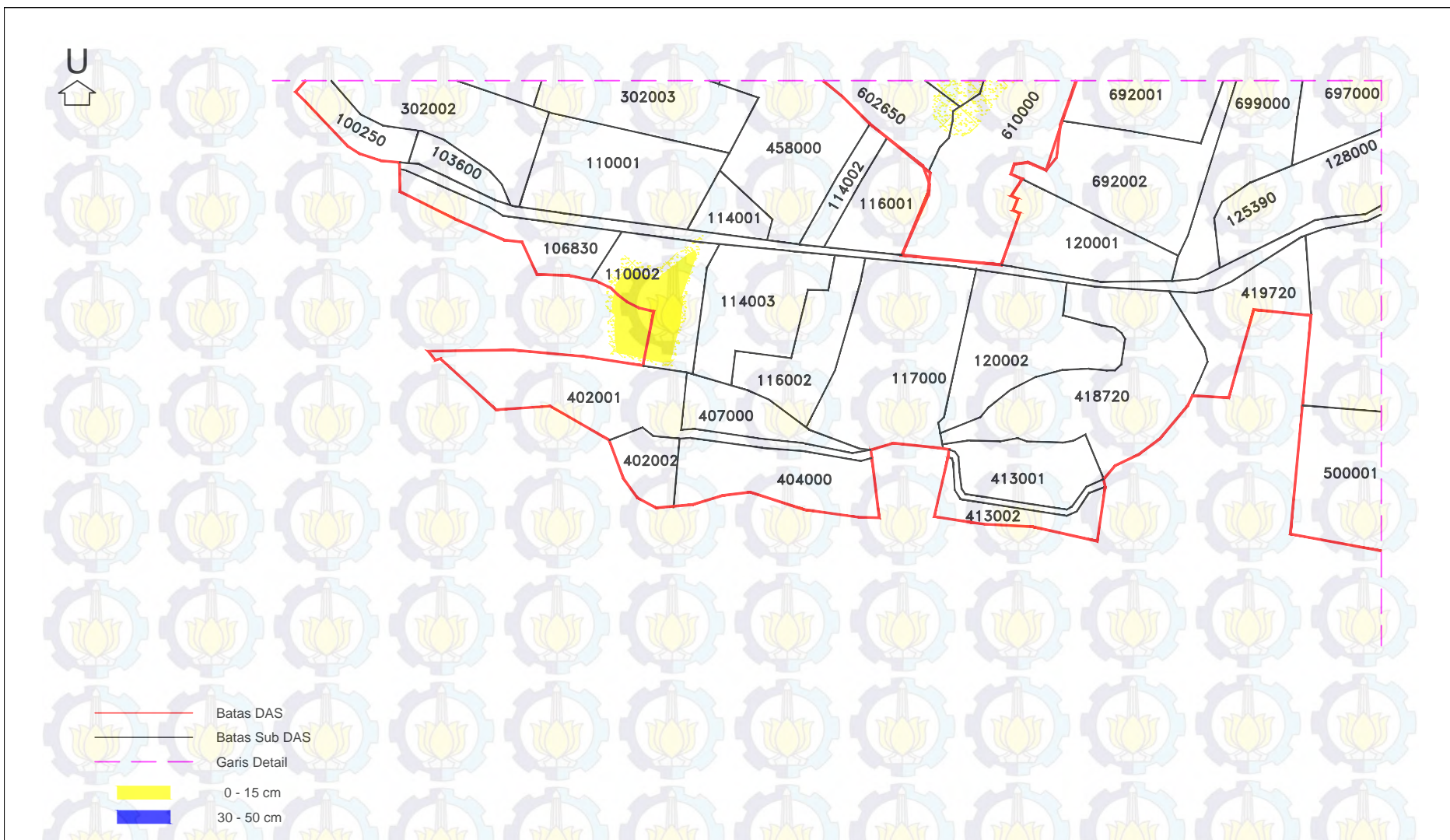
Sumber : Surabaya Drainage Master Plan

| INSTITUT TEKNOLOGI SEPULUH NOPEMBER FAKULTAS TEKNIK SIPIL DAN PERENCANAAN JURUSAN TEKNIK SIPIL | JUDUL TUGAS AKHIR | DOSEN PEMBIMBING | MAHASISWA | JUDUL GAMBAR | SKALA | HALAMAN |
|---|--|--|-------------------------------|-----------------------------|-----------|---------|
| | PERENCANAAN JARINGAN DRAINASE SUB SISTEM KALI KEPITING DAN KALI KENJERAN SURABAYA | Dr. techn. Umboro Lasminto S.T., M.Sc. | Ridwan Sauqi 31 11 100 104 | Peta Genangan (Detail A) | 1 : 12500 | |



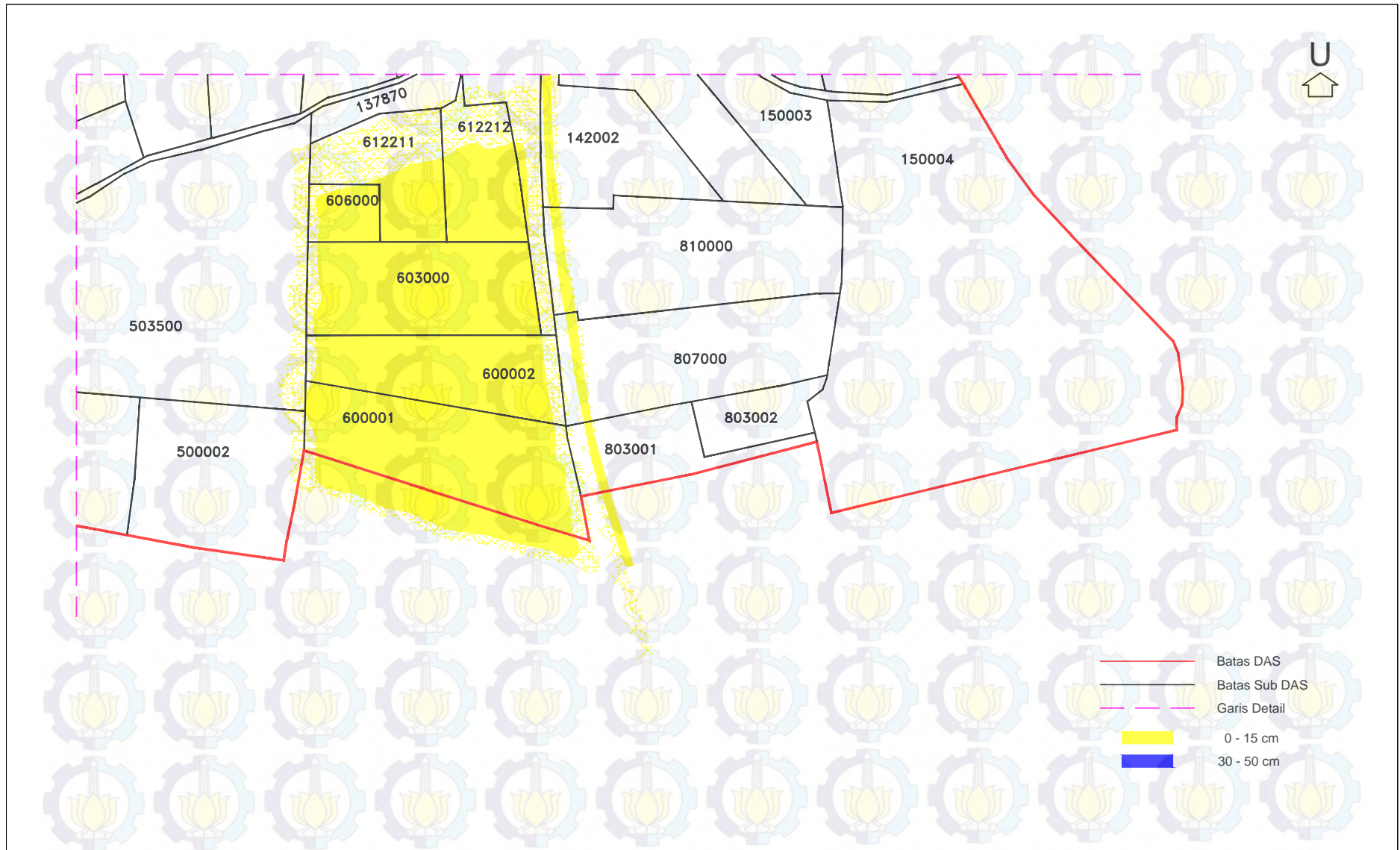
Sumber : Surabaya Drainage Master Plan

| INSTITUT TEKNOLOGI SEPULUH NOPEMBER FAKULTAS TEKNIK SIPIL DAN PERENCANAAN JURUSAN TEKNIK SIPIL | JUDUL TUGAS AKHIR | DOSEN PEMBIMBING | MAHASISWA | JUDUL GAMBAR | SKALA | HALAMAN |
|---|--|--|-------------------------------|-----------------------------|-----------|---------|
| | PERENCANAAN JARINGAN DRAINASE SUB SISTEM KALI KEPITING DAN KALI KENJERAN SURABAYA | Dr. techn. Umboro Lasminto S.T., M.Sc. | Ridwan Sauqi 31 11 100 104 | Peta Genangan (Detail B) | 1 : 12500 | |

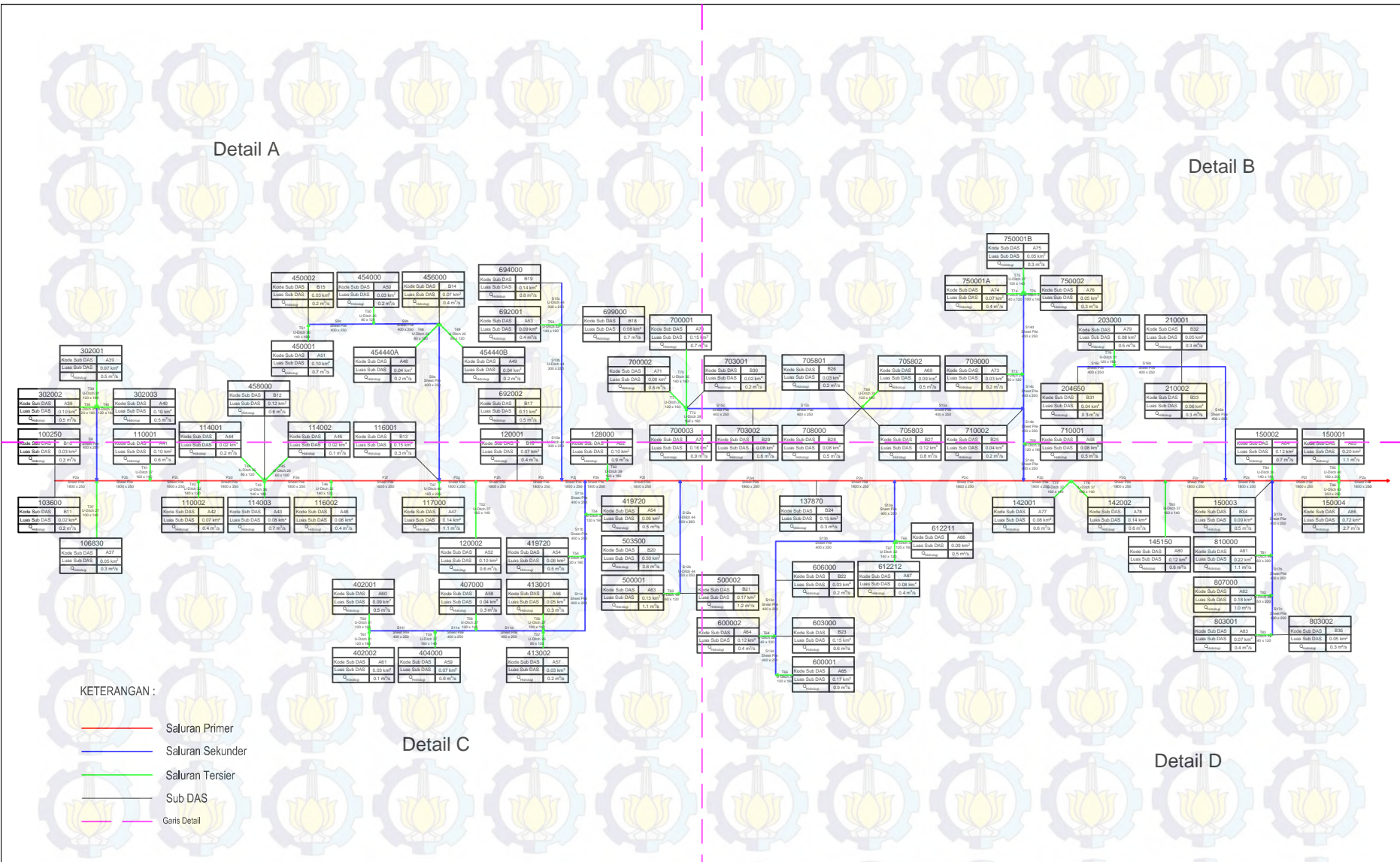


Sumber : Surabaya Drainage Master Plan

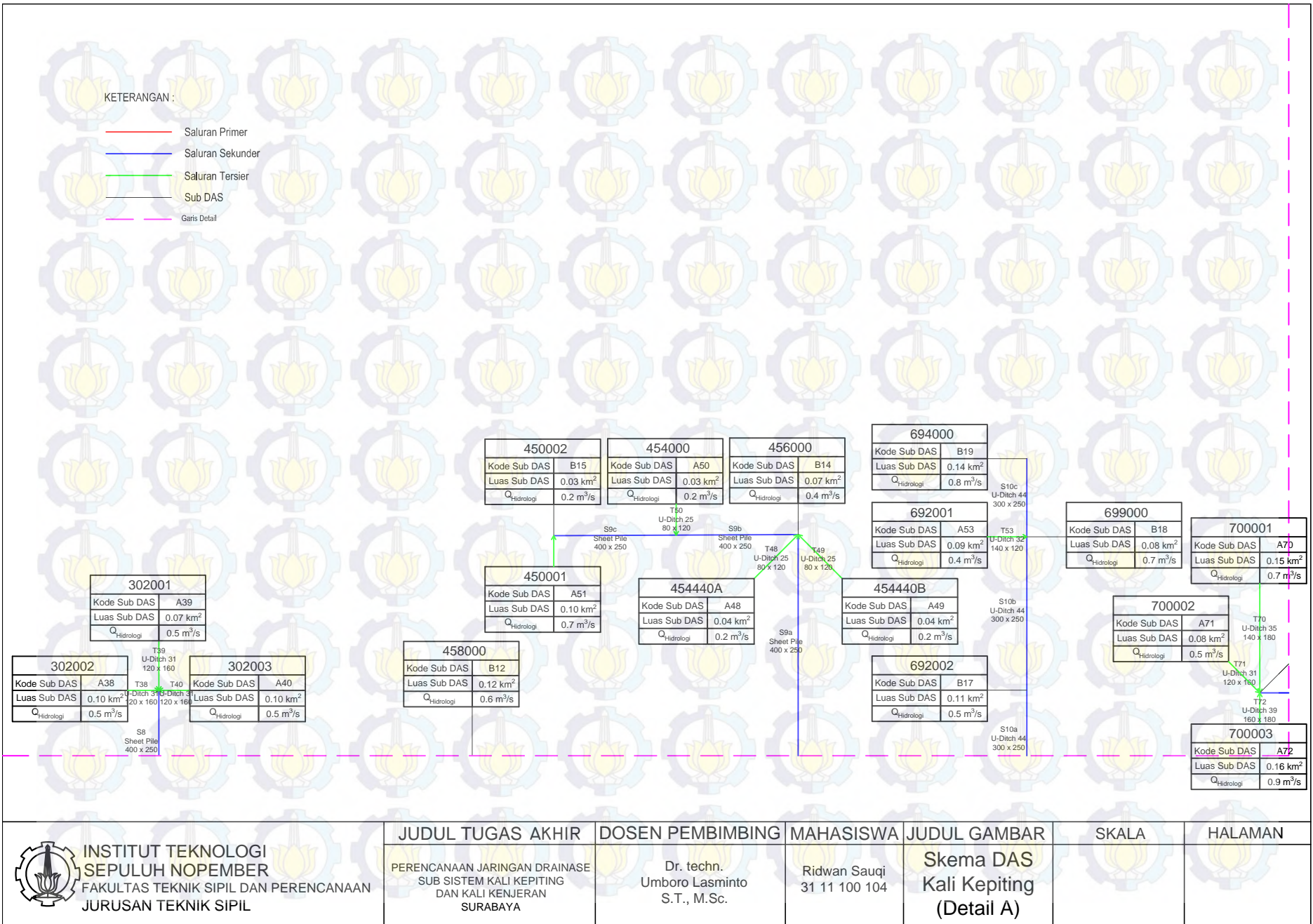
| INSTITUT TEKNOLOGI SEPULUH NOPEMBER FAKULTAS TEKNIK SIPIL DAN PERENCANAAN JURUSAN TEKNIK SIPIL | JUDUL TUGAS AKHIR | DOSEN PEMBIMBING | MAHASISWA | JUDUL GAMBAR | SKALA | HALAMAN |
|---|--|--|-------------------------------|-----------------------------|-----------|---------|
| | PERENCANAAN JARINGAN DRAINASE SUB SISTEM KALI KEPITING DAN KALI KENJERAN SURABAYA | Dr. techn. Umboro Lasminto S.T., M.Sc. | Ridwan Sauqi 31 11 100 104 | Peta Genangan (Detail C) | 1 : 12500 | |

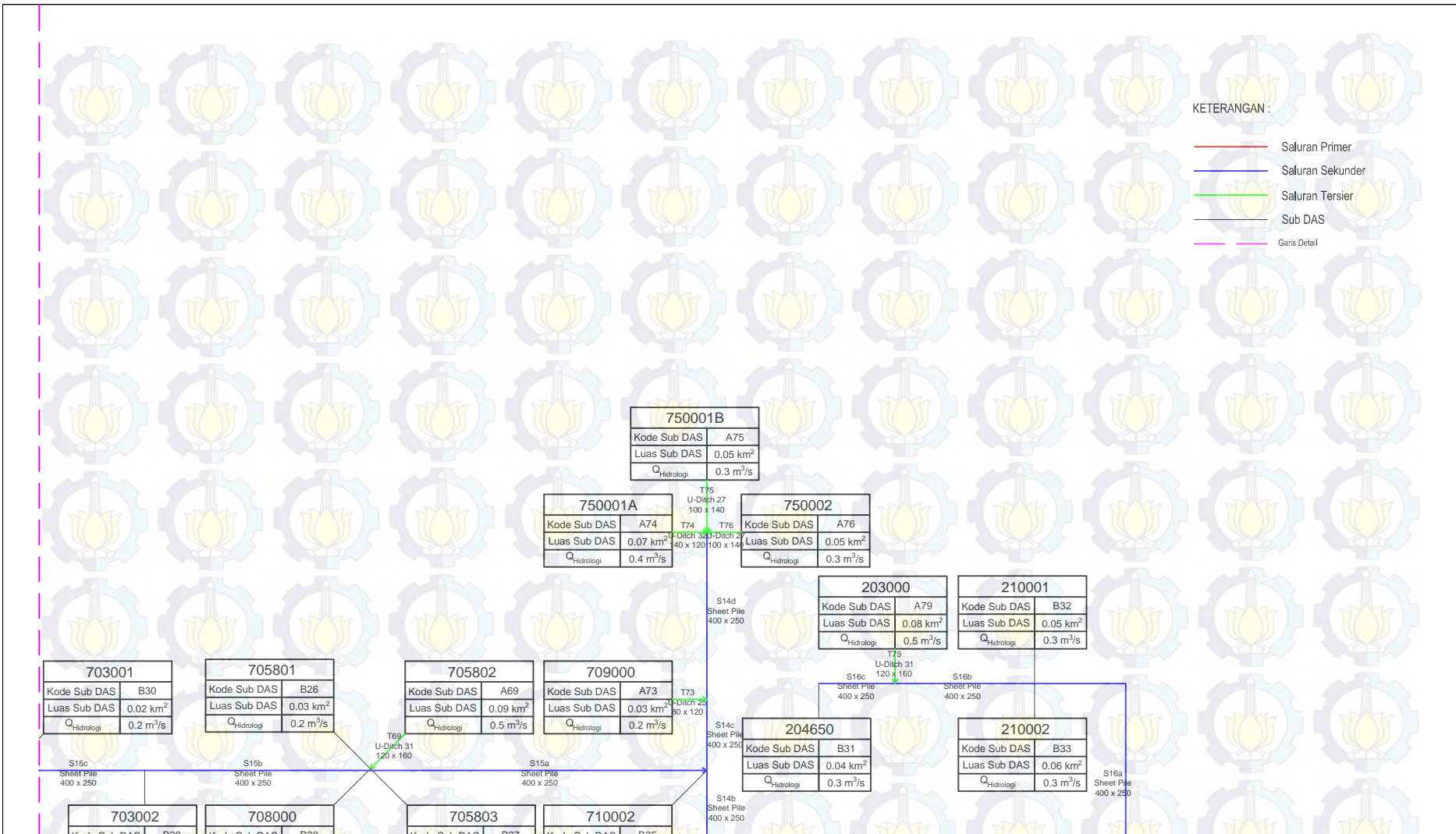


| INSTITUT TEKNOLOGI SEPULUH NOPEMBER FAKULTAS TEKNIK SIPIL DAN PERENCANAAN JURUSAN TEKNIK SIPIL | JUDUL TUGAS AKHIR | DOSEN PEMBIMBING | MAHASISWA | JUDUL GAMBAR | SKALA | HALAMAN |
|---|--|--|-------------------------------|-----------------------------|-----------|---------|
| | PERENCANAAN JARINGAN DRAINASE SUB SISTEM KALI KEPITING DAN KALI KENJERAN SURABAYA | Dr. techn. Umboro Lasminto S.T., M.Sc. | Ridwan Sauqi 31 11 100 104 | Peta Genangan (Detail D) | 1 : 12500 | |

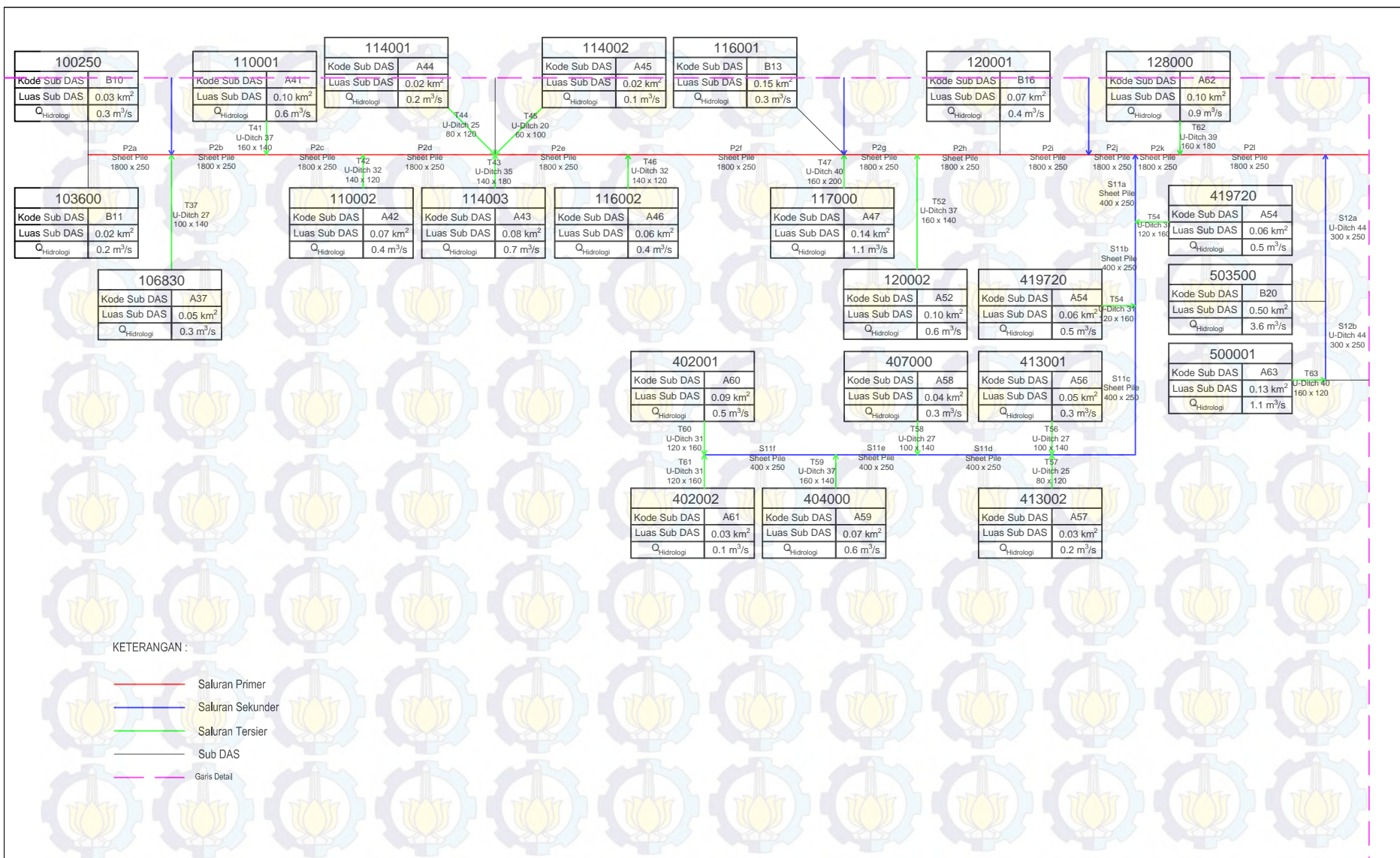


| INSTITUT TEKNOLOGI SEPULUH NOPEMBER FAKULTAS TEKNIK SIPIL DAN PERENCANAAN JURUSAN TEKNIK SIPIL | JUDUL TUGAS AKHIR | DOSEN PEMBIMBING | MAHASISWA | JUDUL GAMBAR | SKALA | HALAMAN |
|---|--|--|-------------------------------|----------------------------|-------|---------|
| | PERENCANAAN JARINGAN DRAINASE SUB SISTEM KALI KEPITING DAN KALI KENJERAN SURABAYA | Dr. techn. Umboro Lasminto S.T., M.Sc. | Ridwan Sauqi 31 11 100 104 | Skema DAS Kali Kepiting | | |

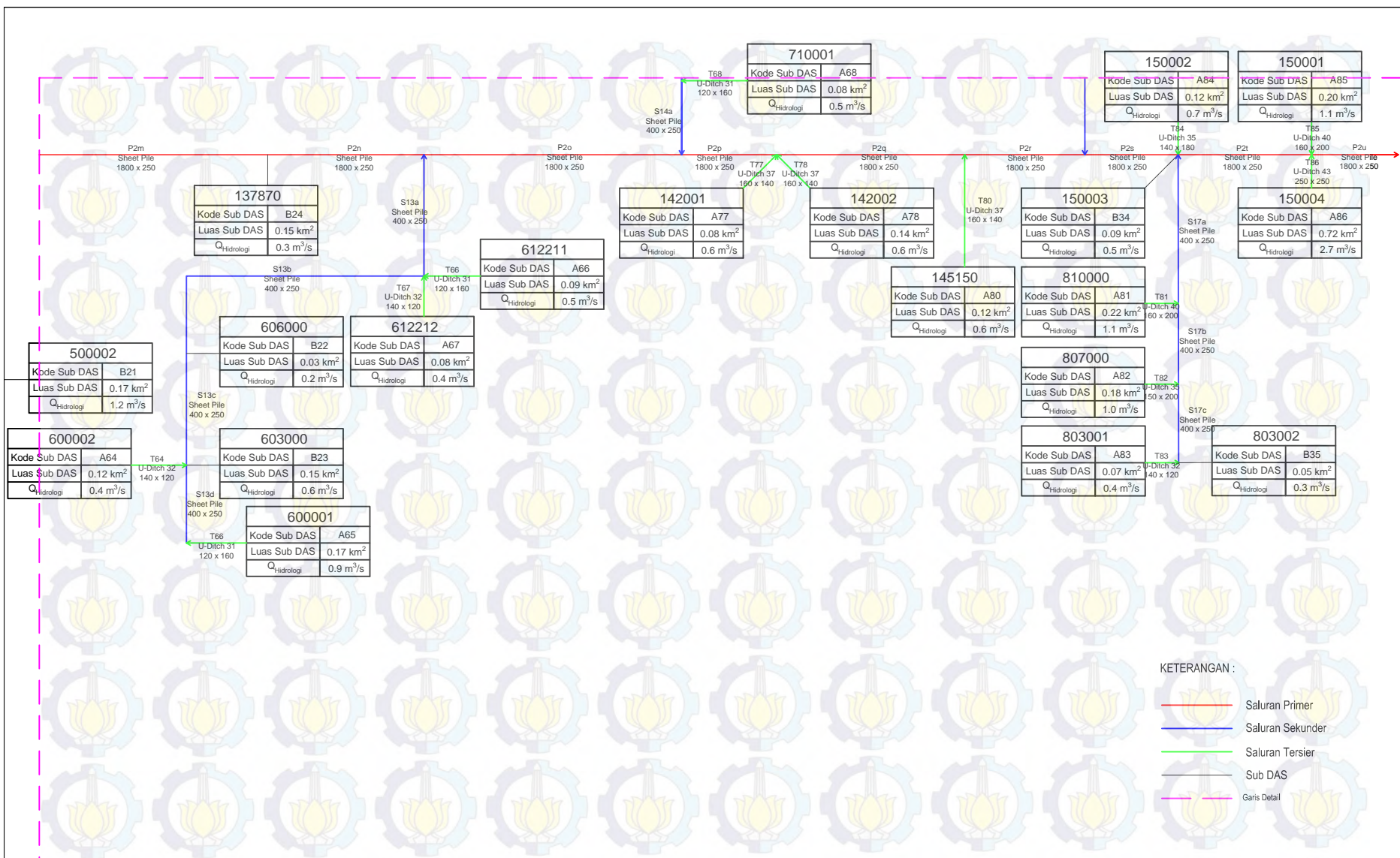




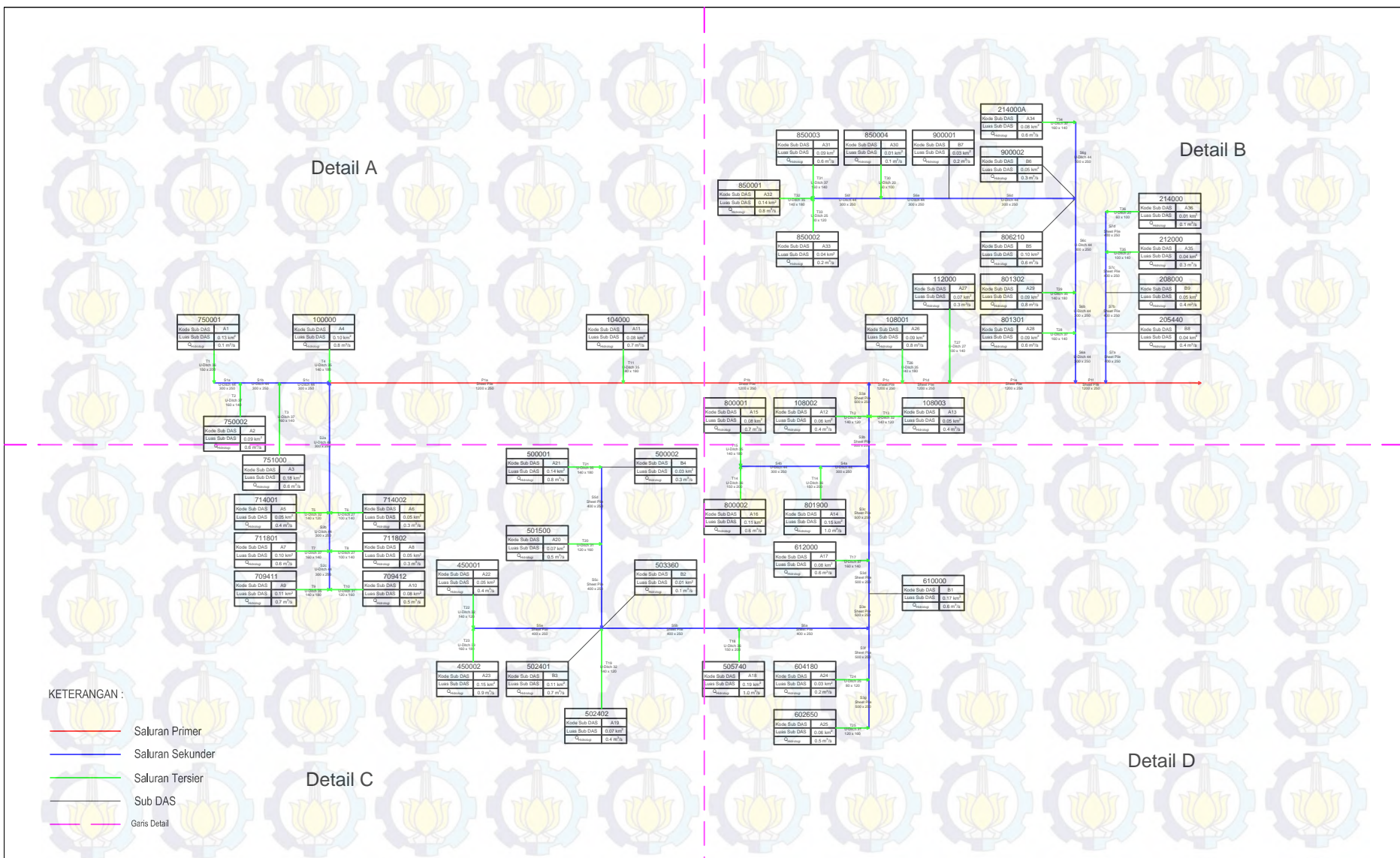
| INSTITUT TEKNOLOGI SEPULUH NOPEMBER FAKULTAS TEKNIK SIPIL DAN PERENCANAAN JURUSAN TEKNIK SIPIL | JUDUL TUGAS AKHIR | DOSEN PEMBIMBING | MAHASISWA | JUDUL GAMBAR | SKALA | HALAMAN |
|---|--|---|-------------------------------|--|-------|---------|
| | PERENCANAAN JARINGAN DRAINASE SUB SISTEM KALI KEPITING DAN KALI KENJERAN SURABAYA | Dr. techn. Umboro Lasmito S.T., M.Sc. | Ridwan Sauqi 31 11 100 104 | Skema DAS Kali Kepiting (Detail B) | | |



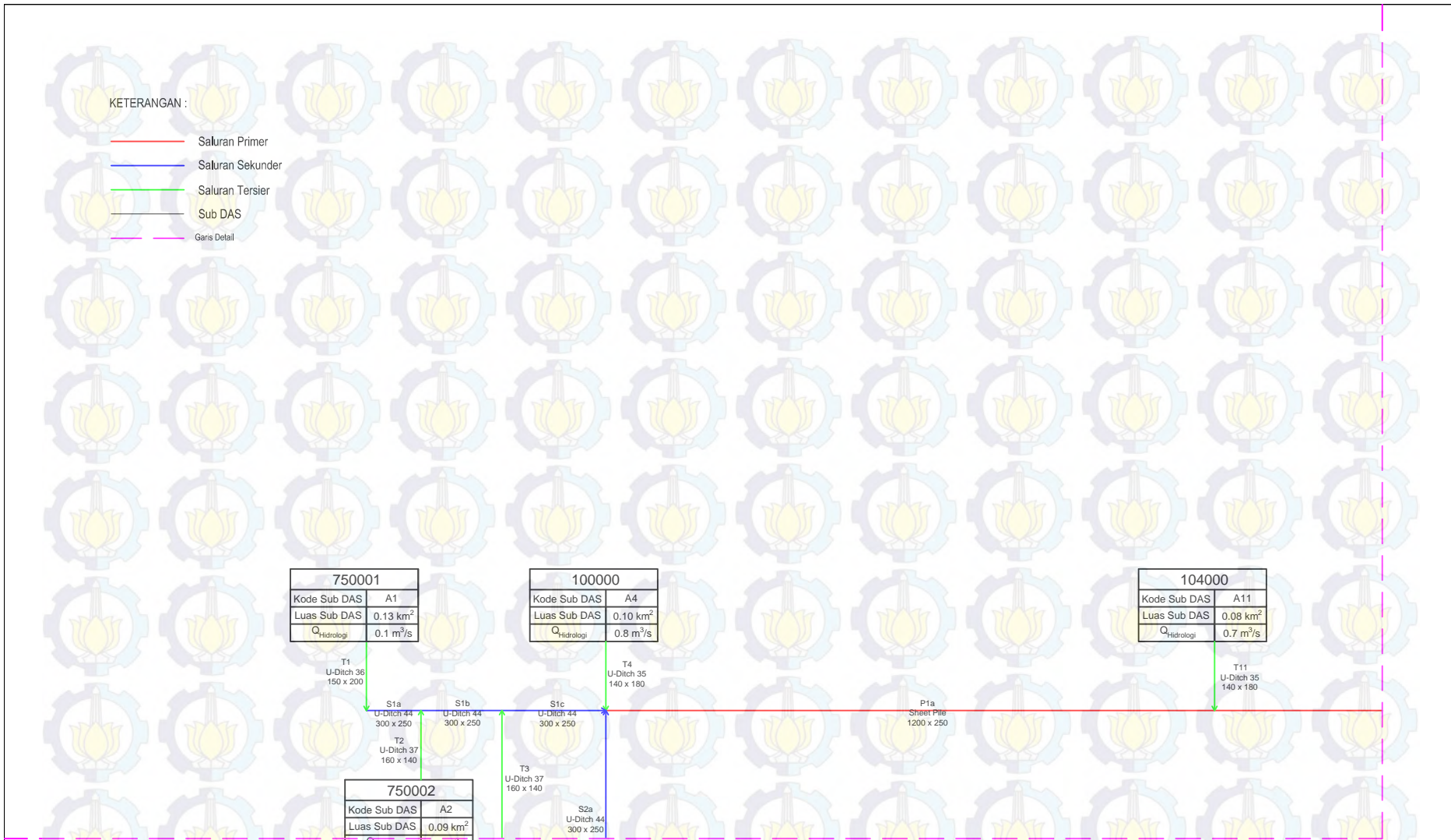
| INSTITUT TEKNOLOGI SEPULUH NOPEMBER | JUDUL TUGAS AKHIR | DOSEN PEMBIMBING | MAHASISWA | JUDUL GAMBAR | SKALA | HALAMAN |
|---|--|--|-------------------------------|--|-------|---------|
| FAKULTAS TEKNIK SIPIL DAN PERENCANAAN JURUSAN TEKNIK SIPIL | PERENCANAAN JARINGAN DRAINASE SUB SISTEM KALI KEPITING DAN KALI KENJERAN SURABAYA | Dr. techn. Umboro Lasminto S.T., M.Sc. | Ridwan Sauqi 31 11 100 104 | Skema DAS Kali Kepiting (Detail C) | | |



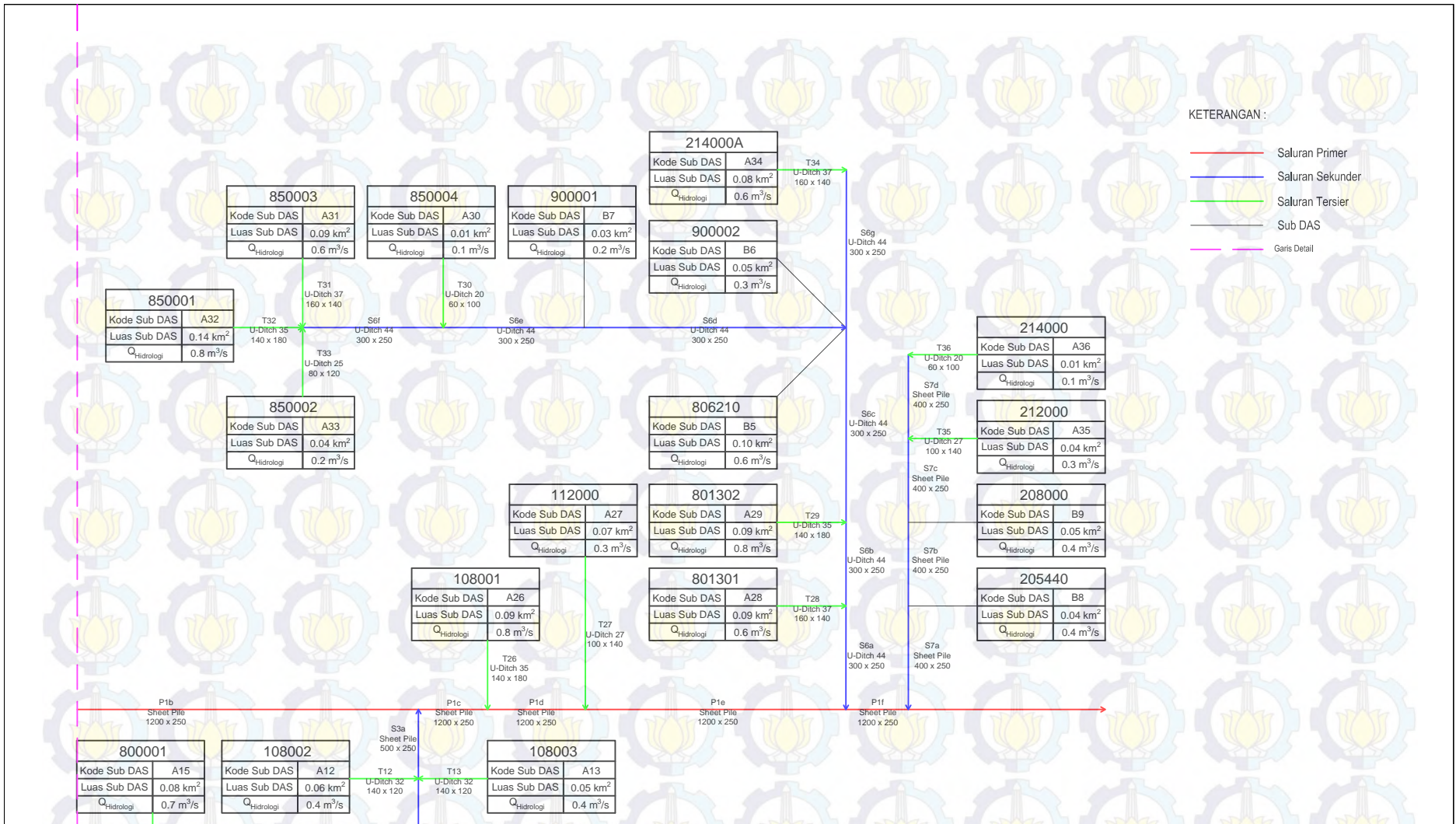
| INSTITUT TEKNOLOGI SEPULUH NOPEMBER FAKULTAS TEKNIK SIPIL DAN PERENCANAAN JURUSAN TEKNIK SIPIL | JUDUL TUGAS AKHIR | DOSEN PEMBIMBING | MAHASISWA | JUDUL GAMBAR | SKALA | HALAMAN |
|---|--|--|-------------------------------|--|-------|---------|
| | PERENCANAAN JARINGAN DRAINASE SUB SISTEM KALI KEPITING DAN KALI KENJERAN SURABAYA | Dr. techn. Umboro Lasminto S.T., M.Sc. | Ridwan Sauqi 31 11 100 104 | Skema DAS Kali Kepiting (Detail D) | | |



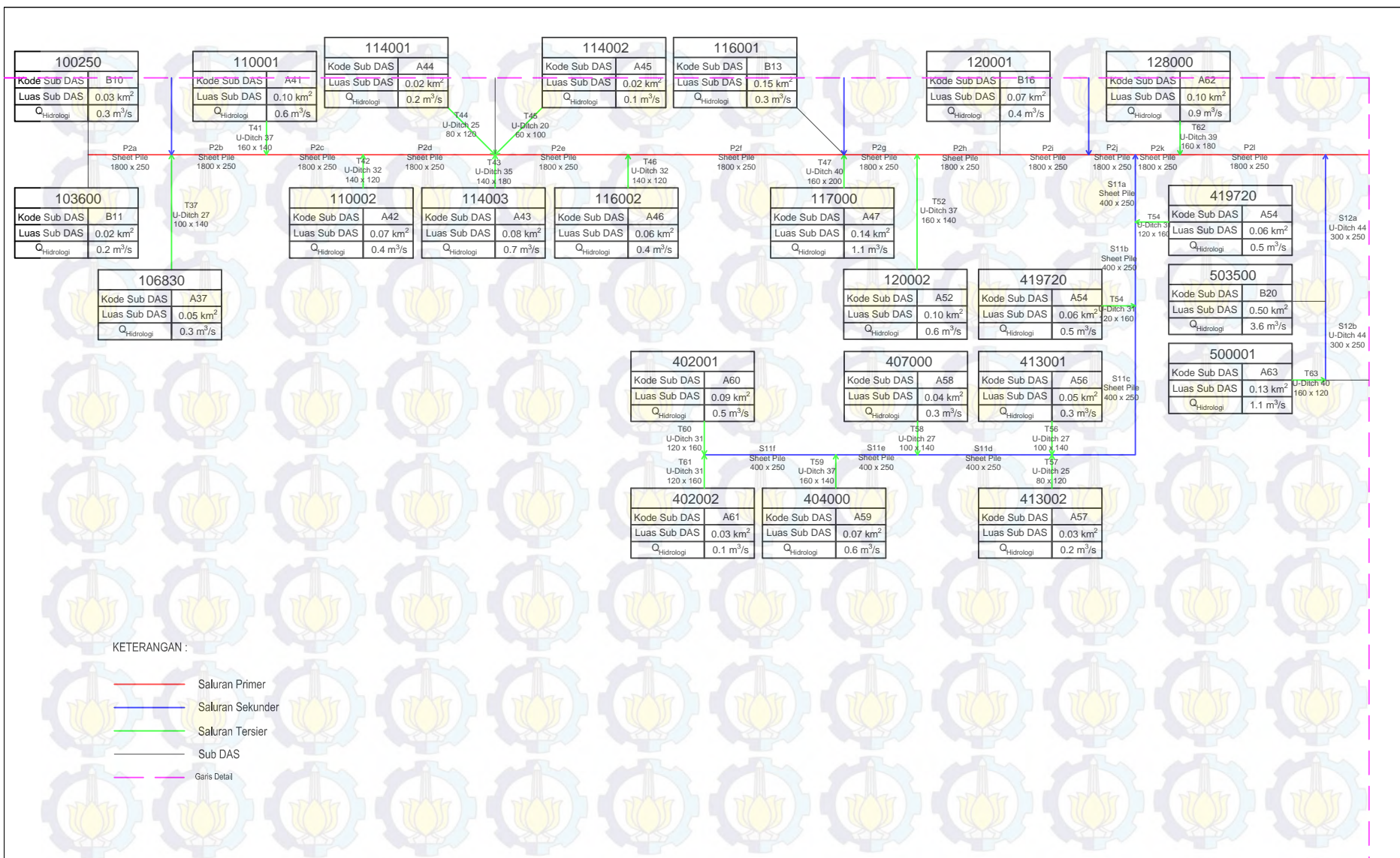
| INSTITUT TEKNOLOGI SEPULUH NOPEMBER | JUDUL TUGAS AKHIR | DOSEN PEMBIMBING | MAHASISWA | JUDUL GAMBAR | SKALA | HALAMAN |
|---|--|---|---------------------------------------|---|-------|---------|
| <p>FAKULTAS TEKNIK SIPIL DAN PERENCANAAN JURUSAN TEKNIK SIPIL</p> | <p>JUDUL TUGAS AKHIR</p> <p>PERENCANAAN JARINGAN DRAINASE SUB SISTEM KALI KEPITING DAN KALI KENJERAN SURABAYA</p> | <p>Dr. techn. Umboro Lasminto S.T., M.Sc.</p> | <p>Ridwan Sauqi 31 11 100 104</p> | <p>JUDUL GAMBAR</p> <p>Skema DAS Kali Kenjeran</p> | | |



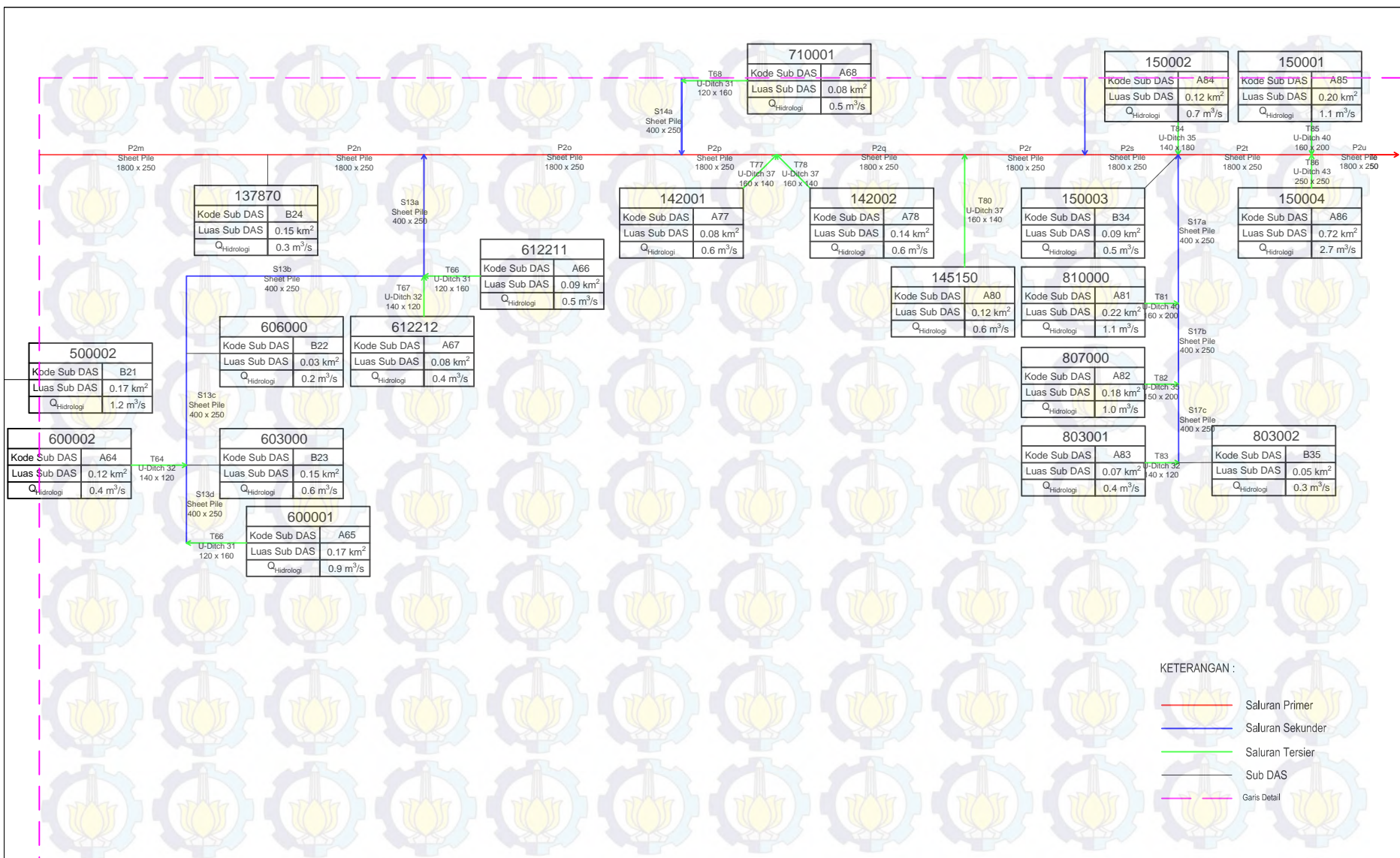
| INSTITUT TEKNOLOGI SEPULUH NOPEMBER FAKULTAS TEKNIK SIPIL DAN PERENCANAAN JURUSAN TEKNIK SIPIL | JUDUL TUGAS AKHIR PERENCANAAN JARINGAN DRAINASE SUB SISTEM KALI KEPITING DAN KALI KENJERAN SURABAYA | DOSEN PEMBIMBING Dr. techn. Umboro Lasminto S.T., M.Sc. | MAHASISWA Ridwan Sauqi 31 11 100 104 | JUDUL GAMBAR Skema DAS Kali Kenjeran (Detail A) | SKALA | HALAMAN |
|---|---|--|--|--|-------|---------|
|---|---|--|--|--|-------|---------|



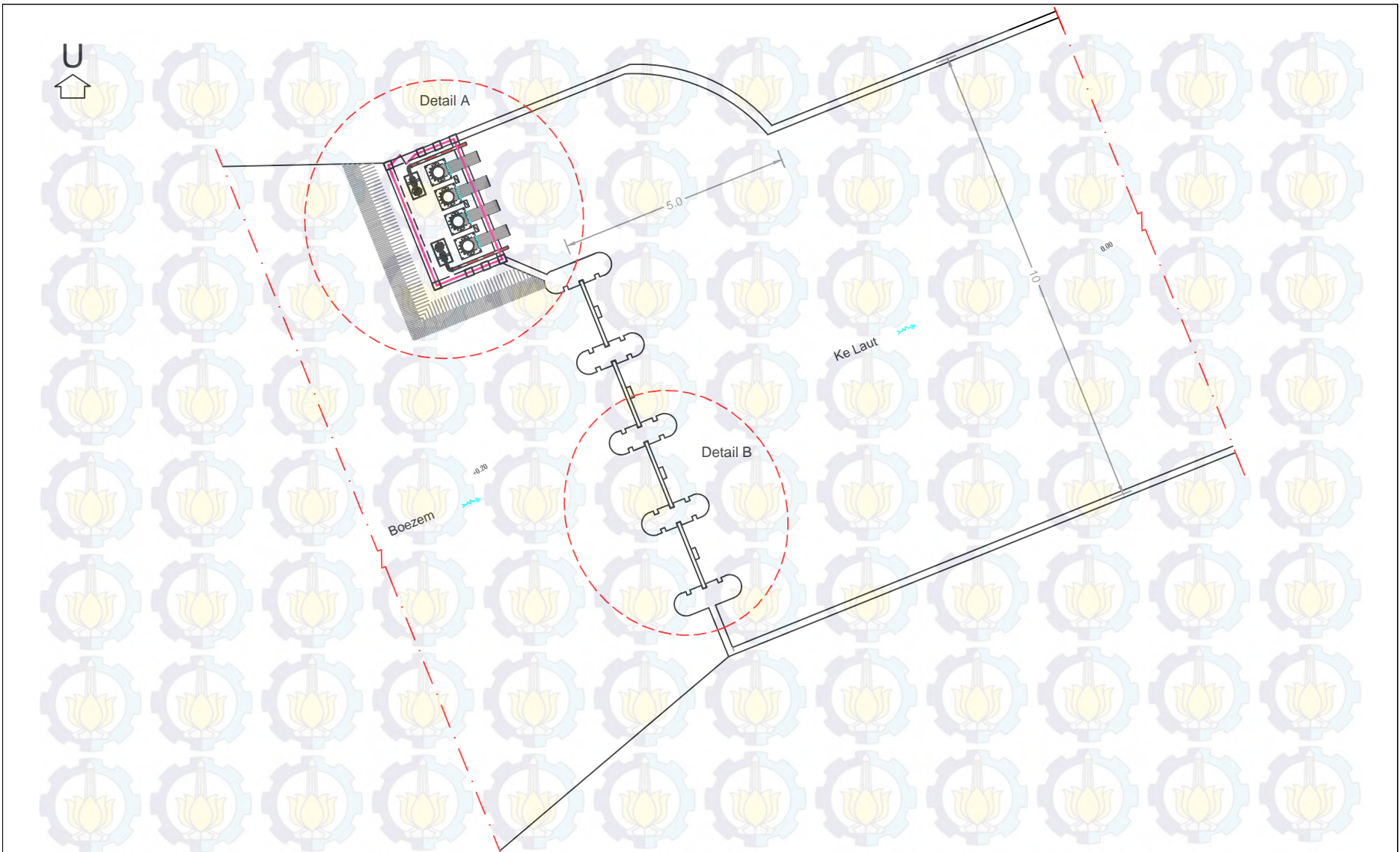
| INSTITUT TEKNOLOGI SEPULUH NOPEMBER | JUDUL TUGAS AKHIR | DOSEN PEMBIMBING | MAHASISWA | JUDUL GAMBAR | SKALA | HALAMAN |
|---|--|---|-------------------------------|--|-------|---------|
| FAKULTAS TEKNIK SIPIL DAN PERENCANAAN JURUSAN TEKNIK SIPIL | PERENCANAAN JARINGAN DRAINASE SUB SISTEM KALI KEPITING DAN KALI KENJERAN SURABAYA | Dr. techn. Umboro Lasmito S.T., M.Sc. | Ridwan Sauqi 31 11 100 104 | Skema DAS Kali Kenjeran (Detail B) | | |



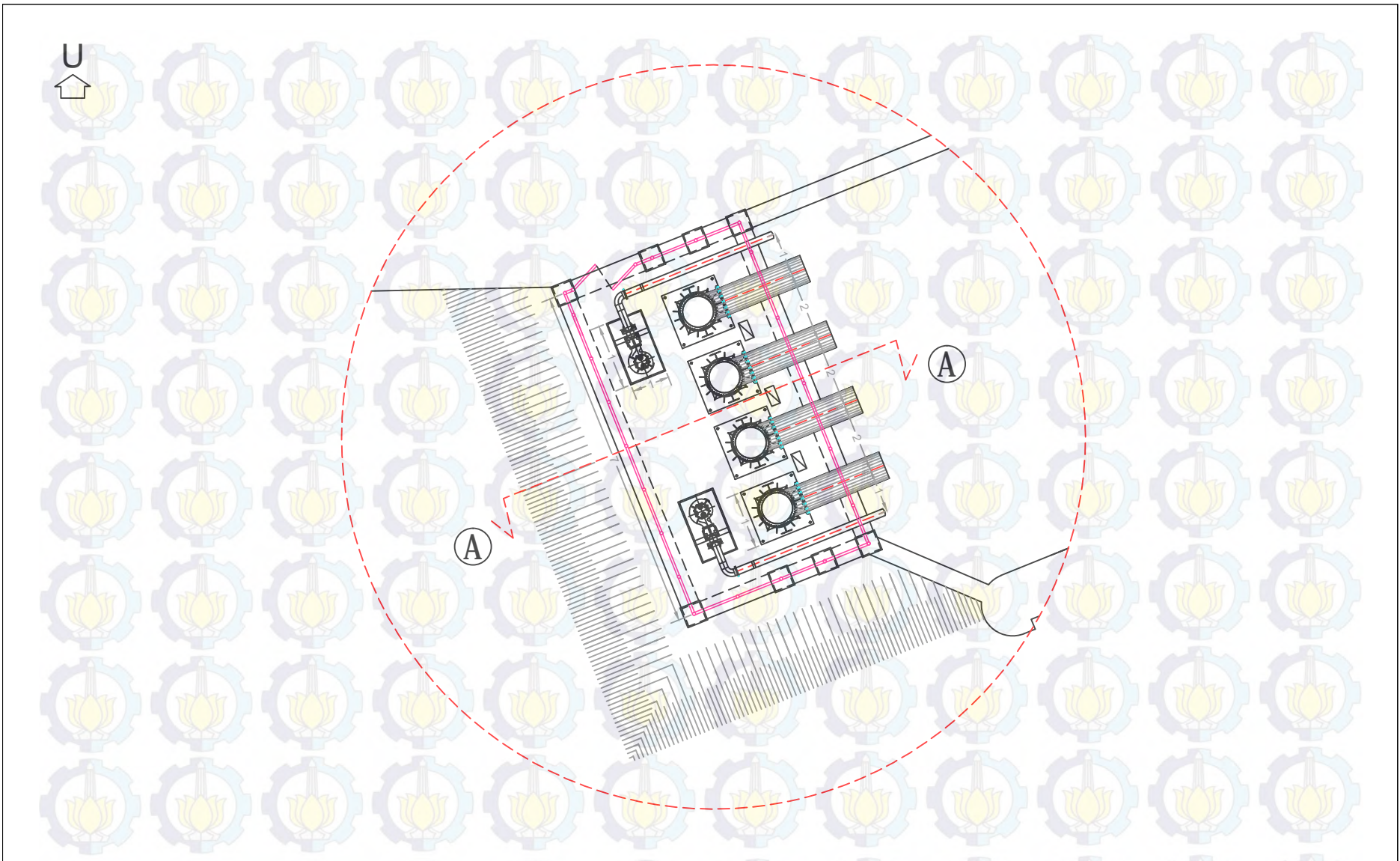
| INSTITUT TEKNOLOGI SEPULUH NOPEMBER | JUDUL TUGAS AKHIR | DOSEN PEMBIMBING | MAHASISWA | JUDUL GAMBAR | SKALA | HALAMAN |
|--|---|--|-------------------------------|------------------------------------|-------|---------|
| FAKULTAS TEKNIK SIPIL DAN PERENCANAAN JURUSAN TEKNIK SIPIL | PERENCANAAN JARINGAN DRAINASE SUB SISTEM KALI KEPITING DAN KALI KENJERAN SURABAYA | Dr. techn. Umboro Lasminto S.T., M.Sc. | Ridwan Sauqi 31 11 100 104 | Skema DAS Kali Kepiting (Detail C) | | |



| INSTITUT TEKNOLOGI SEPULUH NOPEMBER FAKULTAS TEKNIK SIPIL DAN PERENCANAAN JURUSAN TEKNIK SIPIL | JUDUL TUGAS AKHIR | DOSEN PEMBIMBING | MAHASISWA | JUDUL GAMBAR | SKALA | HALAMAN |
|---|--|--|-------------------------------|--|-------|---------|
| | PERENCANAAN JARINGAN DRAINASE SUB SISTEM KALI KEPITING DAN KALI KENJERAN SURABAYA | Dr. techn. Umboro Lasminto S.T., M.Sc. | Ridwan Sauqi 31 11 100 104 | Skema DAS Kali Kepiting (Detail D) | | |

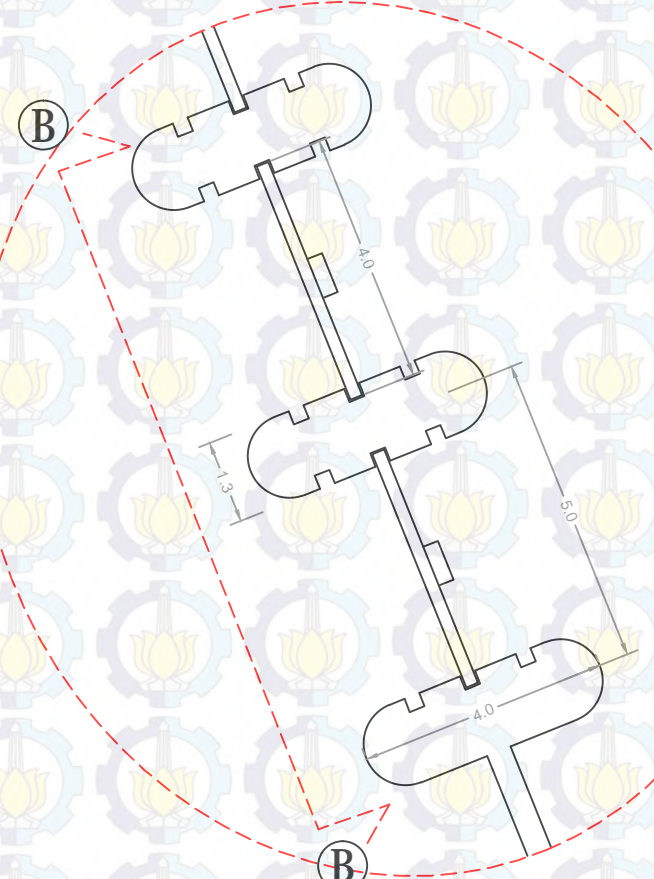


| INSTITUT TEKNOLOGI SEPULUH NOPEMBER FAKULTAS TEKNIK SIPIL DAN PERENCANAAN JURUSAN TEKNIK SIPIL | JUDUL TUGAS AKHIR PERENCANAAN JARINGAN DRAINASE SUB SISTEM KALI KEPITING DAN KALI KENJERAN SURABAYA | DOSEN PEMBIMBING Dr. techn. Umboro Lasminto S.T., M.Sc. | MAHASISWA Ridwan Sauqi 31 11 100 104 | JUDUL GAMBAR Layout Pintu dan Pompa | SKALA 1 : 200 | HALAMAN |
|---|---|--|--|---|------------------|---------|
|---|---|--|--|---|------------------|---------|

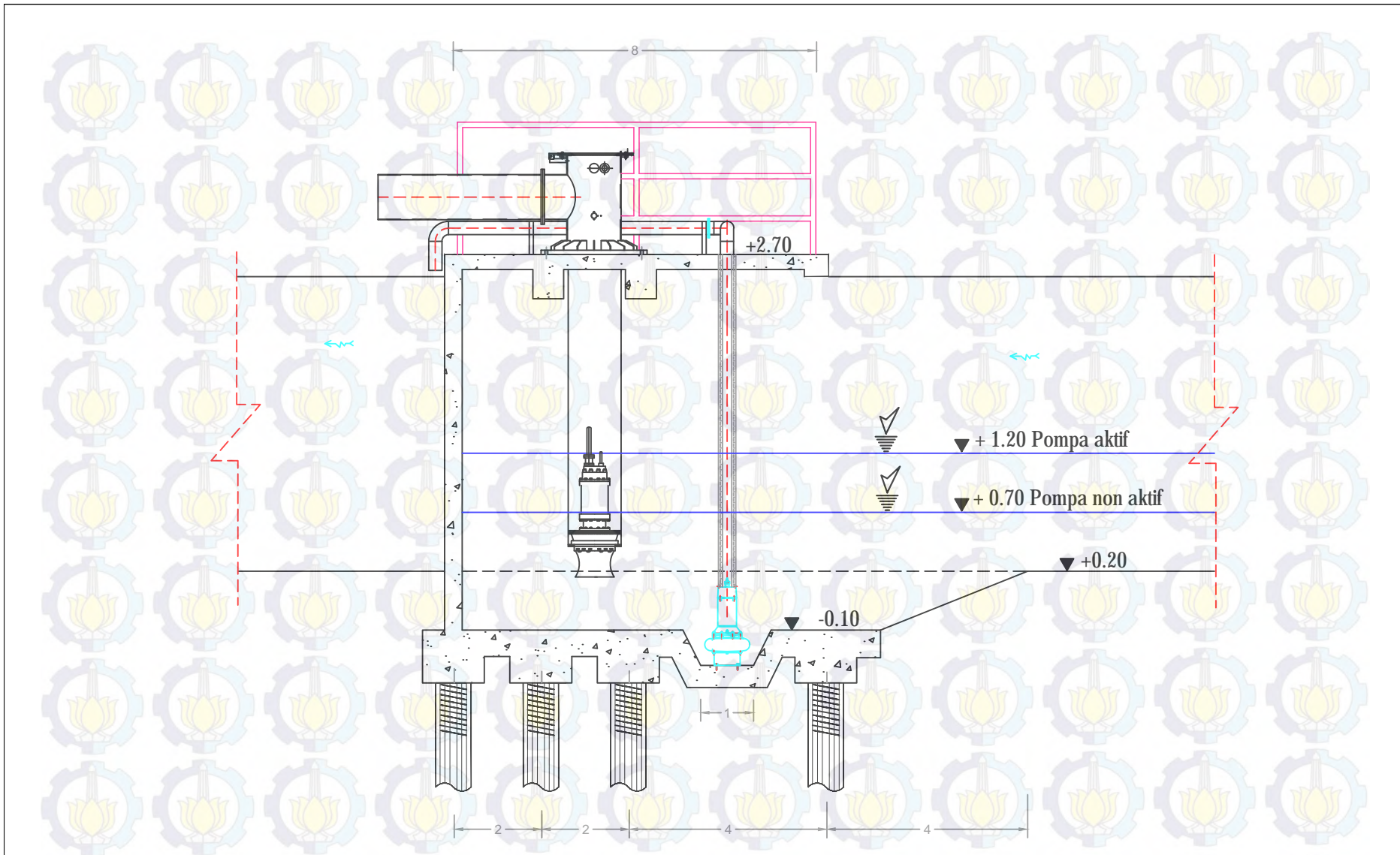


| INSTITUT TEKNOLOGI SEPULUH NOPEMBER FAKULTAS TEKNIK SIPIL DAN PERENCANAAN JURUSAN TEKNIK SIPIL | JUDUL TUGAS AKHIR PERENCANAAN JARINGAN DRAINASE SUB SISTEM KALI KEPITING DAN KALI KENJERAN SURABAYA | DOSEN PEMBIMBING Dr. techn. Umboro Lasminto S.T., M.Sc. | MAHASISWA Ridwan Sauqi 31 11 100 104 | JUDUL GAMBAR Layout Pintu dan Pompa (Detail A) | SKALA 1 : 75 | HALAMAN |
|---|---|--|--|---|-----------------|---------|
|---|---|--|--|---|-----------------|---------|

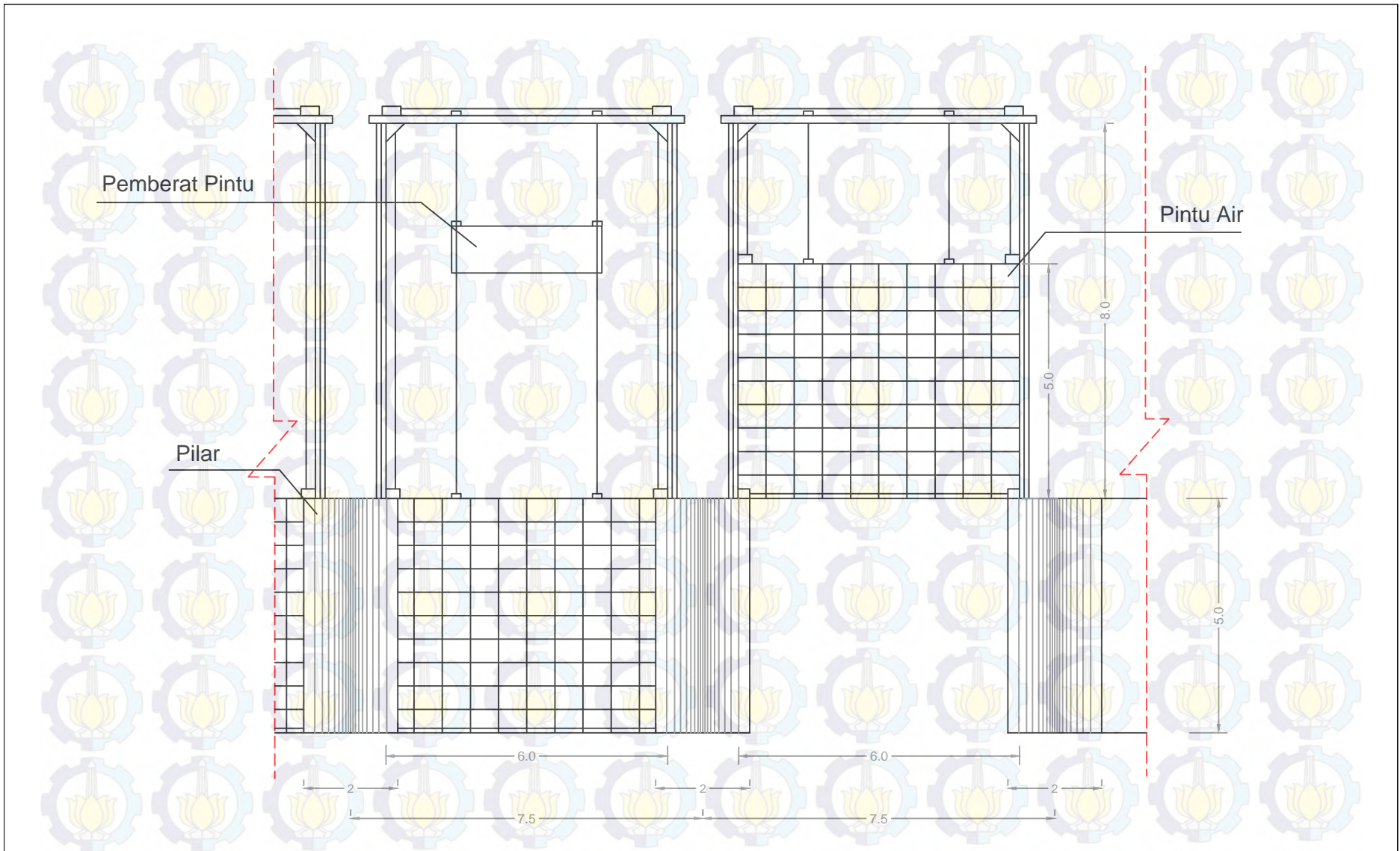
U



| INSTITUT TEKNOLOGI SEPULUH NOPEMBER FAKULTAS TEKNIK SIPIL DAN PERENCANAAN JURUSAN TEKNIK SIPIL | JUDUL TUGAS AKHIR PERENCANAAN JARINGAN DRAINASE SUB SISTEM KALI KEPITING DAN KALI KENJERAN SURABAYA | DOSEN PEMBIMBING Dr. techn. Umboro Lasminto S.T., M.Sc. | MAHASISWA Ridwan Sauqi 31 11 100 104 | JUDUL GAMBAR Layout Pintu dan Pompa (Detail B) | SKALA 1 : 75 | HALAMAN |
|---|---|--|--|---|-----------------|---------|
|---|---|--|--|---|-----------------|---------|



| INSTITUT TEKNOLOGI SEPULUH NOPEMBER FAKULTAS TEKNIK SIPIL DAN PERENCANAAN JURUSAN TEKNIK SIPIL | JUDUL TUGAS AKHIR PERENCANAAN JARINGAN DRAINASE SUB SISTEM KALI KEPITING DAN KALI KENJERAN SURABAYA | DOSEN PEMBIMBING Dr. techn. Umboro Lasminto S.T., M.Sc. | MAHASISWA Ridwan Sauqi 31 11 100 104 | JUDUL GAMBAR Pompa Potongan A - A | SKALA 1 : 50 | HALAMAN |
|---|---|--|--|---|-----------------|---------|
|---|---|--|--|---|-----------------|---------|



| INSTITUT TEKNOLOGI SEPULUH NOPEMBER FAKULTAS TEKNIK SIPIL DAN PERENCANAAN JURUSAN TEKNIK SIPIL | JUDUL TUGAS AKHIR PERENCANAAN JARINGAN DRAINASE SUB SISTEM KALI KEPITING DAN KALI KENJERAN SURABAYA | DOSEN PEMBIMBING Dr. techn. Umboro Lasminto S.T., M.Sc. | MAHASISWA Ridwan Sauqi 31 11 100 104 | JUDUL GAMBAR Pintu Potongan B - B | SKALA 1 : 50 | HALAMAN |
|---|---|--|--|---|-----------------|---------|
|---|---|--|--|---|-----------------|---------|



Ridwan Sauqi. dilahirkan di Jakarta pada tanggal 11 September 1993, merupakan anak ketiga dari 4 (empat) bersaudara. Penulis telah menempuh pendidikan formal yaitu di TK Baitul Muhibbin (Jakarta), SDN 03 Duren Sawit (Jakarta), SMP Negeri 255 Jakarta, dan SMA Negeri 12 Jakarta. Setelah lulus dari SMA Negeri 12 Jakarta pada tahun 2011, penulis mengikuti program kemandirian ITS (salah satu

jalur masuk program S1 ITS) dan diterima di Jurusan Teknik Sipil FTSP ITS, terdaftar dengan NRP 31 11 100 104. Di Jurusan Teknik Sipil penulis mengambil bidang studi Hidroteknik. Penulis aktif di beberapa kegiatan kerohanian Islam mahasiswa. Penulis pernah menjabat sebagai Staff Departemen Kaderisasi di JMMI ITS pada tahun 2012-2014. Kemudian menjabat sebagai Sekretaris Jendral di Lembaga Dakwah Jurusan Teknik Sipil Al Hadiid pada tahun 2014-2015.

e-mail : ridwan_sauqi@yahoo.co.id